

## I. ATOMOS HIDROGENOIDES

Estudiaremos aquí el espectro de los átomos hidrogenoides, cuyo análisis experimental fue de importancia crucial para guiar los primeros pasos de la Mecánica Cuántica y sus desarrollos posteriores. Empezaremos considerando un átomo con núcleo puntual de carga positiva  $Z$  e $l$  y un solo electrón sin spin, cuya ecuación radial reducida es

$$\frac{d^2 u_e(r)}{dr^2} + \left[ \frac{2\mu}{\hbar^2} E + \frac{2\mu Z e^2}{\hbar^2 r} - \frac{\ell(\ell+1)}{r^2} \right] u_e(r) = 0 \quad (1)$$

Como el potencial de Coulomb decrece más lentamente que  $1/r^2$ , los valores propios de la ecuación anterior, correspondientes a estados ligados, son negativos y su número es infinito. Definiendo las cantidades adimensionales

$$\beta = \frac{\sqrt{8\mu|E|}}{\hbar} r, \quad \lambda = \frac{Ze^2}{\hbar} \sqrt{\frac{\mu}{2|E|}} \quad (2)$$

la ecuación (1) se puede escribir

$$\frac{d^2 \tilde{u}_e(\beta)}{d\beta^2} + \left[ \frac{\lambda}{\beta} - \frac{1}{4} - \frac{\ell(\ell+1)}{\beta^2} \right] \tilde{u}_e(\beta) = 0 \quad (3)$$

donde  $\tilde{u}_e(\beta) \equiv u_e(r)$ . Dados los comportamientos asintóticos  $\tilde{u}_e(\beta) \sim \beta^{\ell+1}$  si  $\beta \rightarrow 0$  y  $\tilde{u}_e(\beta) \sim \exp(-\beta/2)$  (en su parte dominante) si  $\beta \rightarrow \infty$ , conviene introducir una nueva función  $v_e(\beta)$ , definida como

$$\tilde{u}_e(\beta) \equiv \beta^{\ell+1} e^{-\beta/2} v_e(\beta) \quad (4)$$

Esta función satisface

$$\beta v_e''(\beta) + [2\ell+2 - \beta] v_e'(\beta) - [\ell+1 - \lambda] v_e(\beta) = 0 \quad (5)$$

que es una función hipergeométrica confluyente. Teniendo en cuenta la condición de regularidad, la solución de esta ecuación es

$$v_e(\beta) = A M(\ell+1 - \lambda, 2\ell+2, \beta) \quad (6)$$

La función  $\tilde{u}_e(\beta)$  correspondiente es normalizable si y sólo si  $\Gamma(\ell+1 - \lambda) = \infty$  ya que

$$M(a, b, z) \sim \frac{\Gamma(b)}{\Gamma(b-a)} e^{(a-b)z} z^{-a} {}_1F_1(a, a-b+1, -z) + \frac{\Gamma(b)}{\Gamma(a)} e^z z^{a-b} {}_1F_1(1-a, b-a, z) \quad (7)$$

donde  $\epsilon = +1$  si  $-\pi/2 < \arg z < 3\pi/2$ ,  $\epsilon = -1$  si  $-3\pi/2 < \arg z \leq -\pi/2$  y

$$g(a, b, z) = \sum_{n=0}^{\infty} \frac{(a)_n (b)_n}{n! z^n} \quad (1)$$

donde  $(a)_n = a(a+1)\dots(a+n-1)$ ,  $(a)_0 = 1$ , esto es  $(a)_n = \Gamma(a+n)/\Gamma(a+1)$

Por tanto, las energías de los estados ligados vienen determinadas por la ecuación

$$l + l - \lambda = -m_r \quad , \quad m_r = 0, 1, 2, \dots \quad (2)$$

donde  $m_r$  es el número cuántico radial, y es igual al número de nodos finitos de la función de onda radial, excluyendo el origen.

Siguiendo la nomenclatura usual de la teoría cuántica de Bohr, introduciremos el número cuántico principal  $n$  que se define como  $n = m_r + l + k$ , y los valores propios de la energía resultan ser, usando (2)

$$E_{me} = -\frac{1}{2} \mu (Z\alpha c)^2 \frac{1}{m^2} \quad , \quad m = 1, 2, 3, \dots \quad (3)$$

fórmula que coincide con la obtenida en el modelo de Bohr. Notese que para un valor dado de  $m$  los valores posibles de  $l$  son  $l=0, 1, \dots, m-1$  y, por tanto, la degeneración del nivel  $m$  es  $m^2$ . Se ve que aquí aparece una degeneración accidental, debida a la forma particular del potencial coulombiano, es decir, de origen cuántico.

Si se compara la ecuación (I.1.5) con la satisfactoria por los polinomios de Legendre, se encuentra que las funciones de onda normalizadas son, salvo fase,

$$\Psi_{nem}(\vec{r}) = R_{me}(r) Y_e^m(\hat{r}) \quad (4)$$

con

$$Y_e^m(\theta, \phi) = \left[ \frac{2l+1}{4\pi} \frac{(l-m)!}{(l+m)!} \right]^{1/2} P_e^m(\cos \theta) e^{im\phi}, \quad 0 \leq \theta \leq \pi, \quad 0 \leq \phi < 2\pi \quad (5)$$

$$P_e^m(x) = (1-x^2)^{m/2} \frac{(-1)^m}{e! 2^e} \frac{d^{e+m}}{dx^{e+m}} (x^2-1)^e \quad (6)$$

$$R_{me}(r) = \frac{2}{a^{3/2} m^2} \left[ \frac{(m-l-1)!}{(m+l)!} \right]^{1/2} p^e e^{-p/2} L_{m-e-1}^{2e+1}(p) \quad (7)$$

donde  $p = 2r/la$ , y  $a$ , que es el llamado radio de Bohr, viene dado por

$$\alpha = \frac{\hbar}{\mu(Z\alpha c)} \quad (4)$$

Recordan que

$$L_m^k(x) = \sum_{r=0}^m \frac{(-1)^r (m+r)!}{(m-r)! (k+r)! r!} x^r \quad (2)$$

Introduciendo  $\tilde{r} = r/\alpha$  y  $\tilde{R}_{me} = \alpha^{3/2} R_{me}$  las funciones radiales para los primeros estados ligados son

$$m=1 \quad \tilde{R}_{10}(r) = 2e^{-\tilde{r}}$$

$$m=2 \quad \tilde{R}_{20}(r) = \frac{1}{\sqrt{2}} \left(1 - \frac{1}{2}\tilde{r}\right) e^{-\tilde{r}/2}, \quad \tilde{R}_{21}(r) = \frac{1}{2\sqrt{6}} \tilde{r} e^{-\tilde{r}/2} \quad (3)$$

$$m=3 \quad \tilde{R}_{30}(r) = \frac{2}{3\sqrt{3}} \left(1 - \frac{2}{3}\tilde{r} + \frac{2}{27}\tilde{r}^2\right) e^{-\tilde{r}/3}, \quad \tilde{R}_{31}(r) = \frac{8}{27\sqrt{6}} \tilde{r} \left(1 - \frac{1}{6}\tilde{r}\right) e^{-\tilde{r}/3}, \quad \tilde{R}_{32}(r) = \frac{4}{81\sqrt{30}} \tilde{r}^2 e^{-\tilde{r}/2}$$

Las funciones  $ar^2 R_{me}^2(r)$  se hallan representadas en la figura I.1 en algunos casos.

Integrales que aparecen frecuentemente en aplicaciones de la Mecánica cuántica son del tipo

$$I_s(mk; m' k') \equiv \int_0^\infty ax e^{-x} x^s L_m^k(x) L_{m'}^{k'}(x) \quad (4)$$

que fueron calculadas por E. SCHRÖDINGER [Ann. Phys. (Leipzig) 79, 361 (1926)] y valem

$$I_s(mk; m' k') = s! \sum_{r=0}^b (-1)^{m+m'+r} \binom{s-k}{m-r} \binom{s-k'}{m'-r} \binom{-s-1}{r} \quad (5)$$

$$b = \min(m, m')$$

$$\binom{m}{k} \equiv \frac{m!}{m'! (m-k)!} \quad \text{si } m \geq k \geq 0$$

$$\binom{-m}{k} = (-1)^k \binom{m+k-1}{k} \quad ; \quad \binom{m}{k} = 0 \quad k > m > 0$$

Esto permite calcular las integrales

$$\int_0^{\infty} dx \times e^{-x} \times x^k L_m^{(k)}(x) L_m^{(k)}(x) = \frac{(m+k)!}{m!} \delta_{mm} \quad (1)$$

Aquí como

$$I_{me}^{(p)} \equiv \frac{m^{p+1}}{2^{p+1}} \frac{(m-l-1)!}{(m+l)!} \int_0^{\infty} dx x^{2l+2+p} e^{-x} [L_{m-l-1}^{(p+1)}(x)]^2 \quad (2)$$

que satisfacen la llamada relación de Kramers

$$\frac{1}{m^2} (p+1) I_{me}^{(p)} - (2p+1) I_{me}^{(p-1)} + \frac{1}{4} p [(2l+1)^2 - p^2] I_{me}^{(p-2)} = 0, \quad p > - (2l+1) \quad (3)$$

Además de (I-3.5) se obtiene

$$I_{me}^{(2)} = \frac{1}{2} m^2 [5m^2 + 1 - 3l(l+1)]$$

$$I_{me}^{(1)} = \frac{1}{2} [3m^2 - l(l+1)]$$

$$I_{me}^{(0)} = 1$$

$$I_{me}^{(-1)} = \frac{1}{m^2}$$

$$I_{me}^{(-2)} = \frac{2}{(2l+1)m^2}$$

Estas relaciones permiten calcular fácilmente  $\langle r^p \rangle_{me} = a^p I_{me}^{(p)}$ , y así, en particular

$$\langle r^{-3} \rangle_{me} = \frac{1}{l(l+1/2)(l+1)m^3} a^{-3}$$

$$\langle r^{-2} \rangle_{me} = \frac{1}{(l+1/2)m^3} a^{-2}$$

$$\langle r^{-1} \rangle_{me} = \frac{1}{m^2} a^{-1}$$

$$\langle r \rangle_{me} = \frac{1}{2} [3m^2 - l(l+1)] a$$

$$\langle r^2 \rangle_{me} = \frac{1}{2} [5m^2 + 1 - 3l(l+1)] m^2 a^2$$

De (I-2.5) se entiende que  $\psi_{nm}(\vec{r}) \neq \psi_{n'm'}^*(\vec{r})$  siempre que  $m \neq 0$ , debido al factor  $\exp(i m \phi)$  que contiene  $Y_e^m(\theta, \phi)$ . Por otra parte  $\psi_{nm}(\vec{r})$  y  $\psi_{n'm'}^*(\vec{r}) = (-1)^m \psi_{n,-m}(\vec{r})$  pertenecen al mismo nivel energético y esto nos permite tratarlas como funciones de orden reales. Fundamentalmente estas ya no tendrían bien definida la tercera componente del momento angular. Las más usuales utilizadas en estudios moleculares son ( $a = h/\mu_0 Z e c$ )

$$\psi_{1s}(\vec{r}) = \frac{1}{\pi^{1/2} a^{3/2}} e^{-r/a} \quad (1)$$

$$\psi_{2s}(\vec{r}) = \frac{1}{4(2\pi)^{1/2} a^{3/2}} \left( 2 - \frac{r}{a} \right) e^{-r/2a} \quad (2)$$

$$\psi_{2p_x}(\vec{r}) = \frac{1}{4(2\pi)^{1/2} a^{3/2}} \frac{r}{a} e^{-r/2a} \sin \theta \cos \phi \quad (3)$$

$$\psi_{2p_y}(\vec{r}) = \frac{1}{4(2\pi)^{1/2} a^{3/2}} \frac{r}{a} e^{-r/2a} \sin \theta \sin \phi \quad (4)$$

$$\psi_{2p_z}(\vec{r}) = \frac{1}{4(2\pi)^{1/2} a^{3/2}} \frac{r}{a} e^{-r/2a} \cos \theta \quad (5)$$

$$\psi_{3s}(\vec{r}) = \frac{1}{81(3\pi)^{1/2} a^{3/2}} \left( 27 - 18 \frac{r}{a} + 2 \frac{r^2}{a^2} \right) e^{-r/3a} \quad (6)$$

$$\psi_{3p_x}(\vec{r}) = \frac{2^{1/2}}{81(\pi)^{1/2} a^{3/2}} \left( 6 - \frac{r}{a} \right) \frac{r}{a} e^{-r/3a} \sin \theta \cos \phi \quad (7)$$

$$\psi_{3p_y}(\vec{r}) = \frac{2^{1/2}}{81(\pi)^{1/2} a^{3/2}} \left( 6 - \frac{r}{a} \right) \frac{r}{a} e^{-r/3a} \sin \theta \sin \phi \quad (8)$$

$$\psi_{3p_z}(\vec{r}) = \frac{2^{1/2}}{81(\pi)^{1/2} a^{3/2}} \left( 6 - \frac{r}{a} \right) \frac{r}{a} e^{-r/3a} \cos \theta \quad (9)$$

$$\psi_{3d_{xz}}(\vec{r}) = \frac{2^{1/2}}{81(\pi)^{1/2} a^{3/2}} \frac{r^2}{a^2} e^{-r/3a} \sin \theta \cos \theta \cos \phi \quad (10)$$

$$\psi_{3d_{yz}}(\vec{r}) = \frac{2^{1/2}}{81(\pi)^{1/2} a^{3/2}} \frac{r^2}{a^2} e^{-r/3a} \sin \theta \cos \theta \sin \phi \quad (11)$$

$$\psi_{3d_{xy}}(\vec{r}) = \frac{2^{1/2}}{81(\pi)^{1/2} a^{3/2}} \frac{r^2}{a^2} e^{-r/3a} \frac{1}{2} \sin^2 \theta \sin 2\phi \quad (12)$$

$$\psi_{3d_{x^2-y^2}}(\vec{r}) = \frac{2^{1/2}}{81(\pi)^{1/2} a^{3/2}} \frac{r^2}{a^2} e^{-r/3a} \frac{1}{2} \sin^2 \theta \cos 2\phi \quad (13)$$

$$\psi_{3d_{z^2}}(\vec{r}) = \frac{2^{1/2}}{81(\pi)^{1/2} a^{3/2}} \frac{r^2}{a^2} e^{-r/3a} \frac{1}{2\sqrt{3}} (3 \cos^2 \theta - 1) \quad (14)$$

## II. ATOMOS CON DOS ELECTRONES

Consideremos un átomo formado por un núcleo puntual de carga  $Ze$  y rodeado por  $N$  electrones; su hamiltoniano aproximado verá

$$H = -\frac{\hbar^2}{2M} \Delta_S - \frac{\hbar^2}{2m_e} \sum_{i=1}^N \Delta_{S_i} - \sum_{i=1}^N \frac{Ze^2}{|\vec{S}_i - \vec{S}|} + \sum_{1 \leq i < j}^N \frac{e^2}{|\vec{S}_i - \vec{S}_j|} \quad (1)$$

donde  $m_e$  y  $M$  denotan las masas del electrón y núcleo respectivamente, y  $\vec{S}, \vec{S}_1, \dots, \vec{S}_N$  las coordenadas posición del núcleo y de los  $N$  electrones. En lugar de las  $3(N+1)$  coordenadas posición introducidas pueden usarse las coordenadas C.M. y relativas definidas como

$$\vec{R} = \frac{M \vec{S} + \sum m_e \vec{S}_i}{M + Nm_e}, \quad \vec{r}_i = \vec{S}_i - \vec{S} \quad (2)$$

en términos de las cuales el hamiltoniano de partida se puede escribir en la forma

$$H = -\frac{\hbar^2}{2(M + Nm_e)} \Delta - \frac{\hbar^2}{2\mu} \sum_{i=1}^N \Delta_i - \frac{\hbar^2}{M} \sum_{1 \leq i < j}^N \vec{\nabla}_i \cdot \vec{\nabla}_j - \sum_{i=1}^N \frac{Ze^2}{r_i} + \sum_{1 \leq i < j}^N \frac{e^2}{r_{ij}} \quad (3)$$

donde  $\Delta \equiv \Delta_R$ ,  $\vec{\nabla}_i \equiv \vec{\nabla}_{r_i}$ ,  $r_i \equiv |\vec{r}_i|$ ,  $r_{ij} \equiv |\vec{r}_i - \vec{r}_j| \rightarrow \mu = m_e M / (M + m_e)$  es la masa reducida del electrón con relación al núcleo. Separando como es normal el movimiento del C.M., el hamiltoniano correspondiente al movimiento relativo ( $y$  que denotaremos con igual símbolo) es

$$H = -\frac{\hbar^2}{2\mu} \sum_{i=1}^N \Delta_i - \sum_{i=1}^N \frac{Ze^2}{r_i} + \sum_{1 \leq i < j}^N \frac{e^2}{r_{ij}} - \frac{\hbar^2}{M} \sum_{1 \leq i < j}^N \vec{\nabla}_i \cdot \vec{\nabla}_j \quad (4)$$

Puesto que  $M \gg \mu$ , el último término (llamado de Hughes - Eckart) puede ser tratado por teoría de perturbaciones, y se prueba que su efecto en sistemas de interés físico, es muy pequeño; de aquí que en general lo despreciamos.

En el caso  $N=2$  y despreciando el término de Hughes - Eckart el hamiltoniano es de la forma

$$H = H_0 + H_1$$

$$H_0 \equiv \sum_{i=1}^2 \left[ -\frac{\hbar^2}{2\mu} \Delta_i - \frac{Ze^2}{r_i} \right] \equiv \sum_{i=1}^2 H_{0i}, \quad H_1 \equiv \frac{e^2}{r_{12}} \quad (5)$$

### o) Estimación de la energía del estado fundamental

Vamos a estimar la energía del estado fundamental usando el principio de indeterminación. Si  $r_1$  y  $r_2$  son las distancias de los electrones al núcleo, sus posiciones se conocen con imprecisiones  $\Delta r_1$  y  $\Delta r_2$ , y por tanto la imprecisión en sus momentos sera  $\Delta \vec{p}_1/r_1$  y  $\Delta \vec{p}_2/r_2$ , respectivamente. La distancia máxima entre ambos electrones es  $\Delta(r_1 + r_2)$  y la mínima  $\Delta|r_1 - r_2|$ , por lo cual podemos estimar  $r_{12} \approx (r_1 + r_2 + |r_1 - r_2|)/2$ . En consecuencia

$$E \approx \frac{\hbar^2}{2\mu} \left( \frac{1}{r_1^2} + \frac{1}{r_2^2} \right) - Ze^2 \left( \frac{1}{r_1} + \frac{1}{r_2} \right) + \frac{2e^2}{r_1 + r_2 + |r_1 - r_2|} \equiv E(r_1, r_2) \quad (1)$$

El mínimo de  $E(r_1, r_2)$  se encuentra para

$$r_> = \frac{1}{Z-1} \frac{\hbar}{\mu ac}, \quad r_< = \frac{1}{Z} \frac{\hbar}{\mu ac} \quad (2)$$

de donde

$$E \approx -\mu(\alpha c)^2 (Z^2 - Z + \frac{1}{2}) \approx -m_e(\alpha c)^2 (Z^2 - Z + 1/2) \quad (3)$$

v.e.

$$E \approx -27.211 (Z^2 - Z + \frac{1}{2}) \text{ eV} \quad (4)$$

Resulta así

Z	-E eV.	Error %
2	68.0	14.
3	176.9	11.
4	340.1	8.5
5	557.8	7.0
6	829.9	5.9
7	1156.5	5.1
8	1537.4	4.5
9	1972.8	4.0

i) Estado fundamental : teoría de perturbaciones

En el estado fundamental de  $H_0$  los dos electrones están en un estado  $1s$  (con spinos antiparalelos para asegurar la antisimetría total del estado de ese par de fermiónicos idénticos) y, por tanto, el estado fundamental no perturbado es no degenerado y de energía

$$E_0^{(0)} = -\mu (Z\alpha c)^2 \quad (1)$$

Su función de onda normalizada es

$$\Psi_0^{(0)}(\vec{r}_1, \vec{r}_2) = (\pi a^3)^{-1} e^{-\frac{(r_1 + r_2)/a}{2}} \quad (2)$$

donde  $a \equiv \hbar / \mu (Z\alpha c)$ . La corrección de primer orden a la energía en teoría de perturbaciones es

$$E_0^{(1)} = \langle \Psi_0^{(0)} | H_1 | \Psi_0^{(0)} \rangle = \frac{e^2}{\pi^2 a^6} \int d^3 r_1 d^3 r_2 \frac{1}{r_{12}} e^{-2(r_1 + r_2)/a} \quad (3)$$

Teniendo en cuenta

$$\frac{1}{|\vec{r}_1 - \vec{r}_2|} = \sum_{L=0}^{\infty} \sum_{M=-L}^{+L} \frac{4\pi}{2L+1} \frac{r_C^L}{r_S^{L+1}} Y_L^M(\hat{r}_1) Y_L^M(\hat{r}_2) \quad (4)$$

donde  $r_C(r_S)$  indica el menor (mayor) de los módulos de  $\vec{r}_1$  y  $\vec{r}_2$ . Entonces

$$E_0^{(1)} = \frac{16e^2}{a^6} \int_0^\infty dr_1 r_1^2 \left\{ \int_0^{r_1} dr_2 \frac{r_2^2}{r_1} e^{-2(r_1 + r_2)/a} + \int_{r_1}^\infty dr_2 r_2 e^{-2(r_1 + r_2)/a} \right\} \quad (5)$$

y una integración elemental da  $E_0^{(1)} = 5\mu (Z\alpha c)^2 / 8Z$ ; por tanto, en primer orden de teoría de perturbaciones la energía del estado fundamental tiene duda por

$$E_{\text{pert}} = -\mu (Z\alpha c)^2 \left( 1 - \frac{5}{8Z} \right) \quad (6)$$

Es de esperar que a medida que  $Z$  aumente, la energía debida a la repulsión electrostática entre los dos electrones sea, relativamente, más pequeña que la energía debida a la interacción atractiva entre los electrones y el núcleo y que, por tanto, el término perturbativo sea menos importante y el acuerdo entre la teoría y la experiencia mejor, lo que realmente sucede.

v) Estado fundamental : método variacional

Utilizaremos como familia de funciones de prueba

$$\psi(\vec{r}_1, \vec{r}_2) = (\pi a^3)^{-1} e^{-\frac{(\vec{r}_1 + \vec{r}_2)/a}{2}} \quad (1)$$

dejando  $a$  como un parámetro arbitrario. Es trivial comprobar

$$\langle \psi | -\frac{1}{2\mu} \Delta_1 | \psi \rangle = \langle \psi | -\frac{1}{2\mu} \Delta_2 | \psi \rangle = \frac{1}{2\mu a^2}$$

$$\langle \psi | -\frac{Ze^2}{r_1} | \psi \rangle = \langle \psi | -\frac{Ze^2}{r_2} | \psi \rangle = -\frac{Ze^2}{a} \quad (2)$$

$$\langle \psi | \frac{e^2}{r_{12}} | \psi \rangle = \frac{5e^2}{8a}$$

con  $Z' \equiv Z/\mu a/c$  y teniendo en cuenta que  $\psi$  está normalizada, resulta como valor esperado de la energía

$$\langle \psi | H | \psi \rangle = \mu (\alpha c)^2 Z' \left[ Z' - 2Z + \frac{5}{8} \right] \quad (3)$$

cuyo mínimo se encuentra en  $Z' = Z - 5/16$ , lo cual indica hasta qué punto un electrón se el núcleo apantallado por el otro electrón. Así pues para la energía del estado fundamental

$$E_0 \leq E_{\text{var}} = -\mu (Z\alpha c)^2 \left( 1 - \frac{5}{16Z} \right)^2 \quad (4)$$

y comparando este resultado con (II. 2.6)

$$E_{\text{pert}} = E_{\text{var}} + \frac{25}{256} \mu (\alpha c)^2 \quad (5)$$

Es claro pues, en este caso, que el cálculo variacional da una mejor aproximación a la energía que el cálculo perturbativo en primer orden.

Notese que la corrección perturbativa en segundo orden  $E_0^{(2)}$  es negativa y, por tanto, actúa en el sentido deseado.

En la tabla de la pag II-4.3 se dan los valores de  $E_0^{(0)}$ ,  $E_0^{(1)}$ ,  $E_0$ ,  $E_0^{(2)}$ ,  $E_{\text{var}}$ , y el experimental sacado de H. G. KUHN "Atomic Spectra" Longmans - Londres 1962. Se ha usado

$$\frac{1}{2} m_e (\alpha c)^2 = 13.605 698 1 \text{ (41) eV}$$

$$\mu = m_e \left\{ 1 + \frac{m_e}{16\pi m_A} \right\}^{-1}$$

Atomo	$-E_0^{(0)} \text{ eV}$	$-E_0^{(1)} \text{ eV}$	$-E_{\text{pert}} \text{ eV}$	$-E_{\text{var.}} \text{ eV}$	$-E_{0,\text{exp}} \text{ eV}$
He	108.830.659 (33)	34.010	74.82	77.48	79.00349 (58)
Li II	244.883.375 (74)	51.017	193.87	196.52	198.0838 (31)
Be III	435.355.80 (13)	68.024	367.33	369.99	371.574 (12)
B IV	680.250.98 (21)	85.031	595.22	597.88	599.502 (25)
C V	979.565.48 (20)	102.038	877.53	880.18	881.885 (37)
N VI	1333.306.17 (41)	119.045	1214.26	1216.92	1218.741 (62)
O VII	1741.469.65 (52)	136.052	1605.42	1608.07	1610.068 (74)
F VIII	2204.059.46 (66)	153.060	2051.00	2053.66	2055.909 (99)

Para mejorar el acuerdo de la teoría con los resultados experimentales basta en principio seguir el cálculo perturbativo hasta ordenes superiores (supuesta la convergencia para el  $Z$  deseado) o elegir una familia más amplia de funciones de prueba que incluya la anterior como un caso particular. Antes de elegir la nueva familia conviene recordar que la función de onda exacta debe ser simétrica en las coordenadas de los dos electrones, pues el estado de spin es singlete y por tanto antisimétrico, y que debido a su repulsión electrostática ambos electrones están correlacionados en sus posiciones, hecho que no ha sido tenido en cuenta en (II-3.1). Se han usado frecuentemente funciones del tipo

$$\psi(\vec{r}_1, \vec{r}_2) = (\pi a^3)^{-1} e^{-\frac{(r_1 + r_2)}{a}} \left\{ 1 + A f(r_1, r_2, r_{12}) \right\} \quad (1)$$

que pueden incorporar dicha simetría y correlación. [Véase p.ej H.A. Bethe y R. Jackiw. "Intermediate Quantum Mechanics" Benjamin N.Y. 1968].

Incluso sin tener en cuenta correlaciones una mejor familia es la biparamétrica

$$\psi_{a,b}(\vec{r}_1, \vec{r}_2) = e^{-\frac{(1+b)a r_1}{a}} e^{-\frac{(1-b)a r_2}{a}} + e^{-\frac{(1-b)a r_1}{a}} e^{-\frac{(1+b)a r_2}{a}} \quad 0 \leq b < 1, \quad a > 0 \quad (2)$$

Un cálculo directo da

$$\|\psi_{a,b}\|^2 = \frac{2\pi^2}{a^6} \left\{ 1 + (1-b^2)^{-3} \right\} \quad (3)$$

y también

$$\langle \psi_{a,b} | -\Delta_j | \psi_{a,b} \rangle = \frac{2\pi^2}{a^4} \left\{ 1 - b^2 + (1-b^2)^{-3} (1+b^2) \right\}$$

$$\langle \psi_{a,b} | \frac{1}{r_j} | \psi_{a,b} \rangle = \frac{2\pi^2}{a^5} \left\{ 1 + (1-b^2)^{-3} \right\} \quad (1)$$

$$\langle \psi_{a,b} | \frac{1}{r_{12}} | \psi_{a,b} \rangle = \frac{\pi^2}{4a^5} \left\{ 5 + (1-b^2)^{-3} [b^4 - 6b^2 + 5] \right\}$$

Introduciendo  $Z' \equiv (\hbar/\mu\alpha c) a$  se obtiene

$$\begin{aligned} \langle H \rangle_{a,b} &\equiv \mu(\alpha c)^2 \left\{ \frac{(1-b^2)^4 + 1 + b^2}{(1-b^2)^3 + 1} Z'^2 - 2ZZ' + \right. \\ &+ \left. \frac{1}{8} \frac{5(1-b^2)^3 + b^4 - 6b^2 + 5}{(1-b^2)^3 + 1} Z' \right\} \equiv E(Z', b) \end{aligned} \quad (2)$$

Minimizando con respecto a  $Z'$  resulta

$$Z' = \frac{1}{(1-b^2)^4 + 1 + b^2} \left\{ [ (1-b^2)^3 + 1 ] Z - \frac{1}{16} [ 5(1-b^2)^3 + b^4 - 6b^2 + 5 ] \right\} \quad (3)$$

$$E(b) \equiv \inf_{Z'} E(Z', b) = -\mu(\alpha c)^2 \frac{(1-b^2)^3 + 1}{(1-b^2)^4 + 1 + b^2} \left\{ Z - \frac{5(1-b^2)^3 + b^4 - 6b^2 + 5}{(1-b^2)^3 + 1} \right\} \quad (4)$$

que minimizada a su vez en  $b$  arroja los valores  $b_{min}$ ,  $E_{min} = E(b_{min}) \equiv \inf_b E(b)$  de la tabla

$Z$	$b_{min}$	$-E_{min}$ eV.
2	0.2950	78.23
3	0.2263	197.21
4	0.1905	370.66
5	0.1677	598.53
6	0.1515	880.82
7	0.1393	1217.54
8	0.1296	1608.69
9	0.1216	2054.27

66) Estado fundamental: cota inferior

Veamos una forma simple para obtener una cota inferior a la energía del estado fundamental. Sea  $V \geq 0$ , entonces para todo  $\psi \in D(V^{1/2})$ ,  $\psi \in D(V^{-1/2})$  y con  $\|\psi\| = \|\varphi\| = 1$  se tiene, aplicando la desigualdad de Schwarz, que

$$|\langle \psi | \varphi \rangle| = |\langle V^{1/2} \psi | V^{-1/2} \varphi \rangle| \leq \|V^{1/2} \psi\| \|V^{-1/2} \varphi\| = \langle V \rangle_{\psi}^{1/2} \langle V^{-1} \rangle_{\varphi}^{1/2} \quad (1)$$

esto es

$$\langle V^{-1} \rangle_{\varphi}^{1/2} \langle V \rangle_{\psi}^{1/2} \geq |\langle \psi | \varphi \rangle|^2 \quad (2)$$

y por tanto

$$V \geq |\langle \psi | \varphi \rangle| \langle V^{-1} \rangle_{\varphi}^{-1} \langle \varphi | \psi \rangle, \quad \forall |\varphi\rangle \in D(V^{-1/2}), \|\varphi\|=1 \quad (3)$$

Consideremos ahora el Hamiltoniano  $H = H_0 + V$  y sean  $|0\rangle, |1\rangle, \dots$  los estados propios normalizados de  $H_0$  correspondientes a los valores propios  $E_0 < E_1 < \dots$ . Indiquemos  $E \equiv \inf \sigma(H_0 + V)$ . Si  $V$  cumple la condición anterior impuesta y  $|0\rangle \in D(V^{-1/2})$ , entonces

$$H_0 + V \geq H_0 + |0\rangle \langle V^{-1} \rangle_{\varphi}^{-1} \langle \varphi | \psi \rangle \equiv H_0 + V_0 \quad (4)$$

El principio de min-max asegura por tanto que  $E \geq \inf \sigma(H_0 + V_0)$  y como  $\inf \sigma(H_0 + V_0) = \min \{E_0 + \langle V^{-1} \rangle_{\varphi}^{-1}, E_1\}$ , se obtiene

$$E_0 + \langle V^{-1} \rangle_{\varphi}^{-1} \leq E \leq E_0 + \langle V \rangle_{\varphi}, \quad E \equiv \inf \sigma(H_0 + V) \quad (5)$$

siempre que  $E_0 + \langle V^{-1} \rangle_{\varphi}^{-1} \leq \inf [\sigma(H_0) \setminus \{E_0\}] \equiv E_1$ . (La hipótesis  $|0\rangle \in D(V^{-1/2})$  no es necesaria pues de modo similar (5) es trivialmente satisfecha).

Aplicaremos este resultado a (II-1.5) con  $V = H_1 = e^2/r_1$ . Se tiene

que

$$E_0 = -\mu (Z\alpha c)^2 \quad E_1 = -\frac{5}{8} \mu (Z\alpha c)^2 \quad (6)$$

$$\langle V \rangle_{\varphi} = \frac{5}{8} \mu (Z\alpha c)^2 \frac{1}{Z} \quad \langle V^{-1} \rangle_{\varphi}^{-1} = \frac{16}{35} \mu (Z\alpha c)^2 \frac{1}{Z}$$

y por consiguiente

$$\min \left\{ -\frac{5}{8} \mu (Z\alpha c)^2, -\mu (Z\alpha c)^2 \left[ 1 - \frac{16}{35} \frac{1}{Z} \right] \right\} \leq E \leq -\mu (Z\alpha c)^2 \left[ 1 - \frac{5}{8} \frac{1}{Z} \right]$$

esto es

$$\min \left\{ -\frac{5}{8} z^2, -z^2 \left(1 - \frac{16}{35} \frac{1}{z}\right) \right\} \leq \frac{E}{\mu(\alpha)c^2} \leq -z^2 \left(1 - \frac{5}{8} \frac{1}{z}\right) \quad (1)$$

De donde

$z$	$-\bar{E}_{\min} / \mu(\alpha)c^2$	$-\bar{E}_{\max} / \mu(\alpha)c^2$
2	3.085715	2.75
3	7.628572	7.125
4	14.171429	13.6
5	22.714286	21.875
6	33.257143	32.25
7	45.8	44.625
8	60.342858	59.
9	76.885714	75.375

Para más información sobre cotas inferiores ver, por ejemplo, H. GROSSE, P. HERTEL y W. THIRRING [Acta Phys. Aust. 49, 89 (1978)]

### iv) Atomo de Helio : estados $2^1P$ y $2^3P$

Ej instructivo estudiamos las energías de los niveles  $2^1P$  y  $2^3P$  en el átomo de Helio ( $Z=2$ ), caso éste en que el método variacional es particularmente útil, ya que nos proporcionará automáticamente cotas superiores a los niveles más bajos con  $L=1$  y  $S=0$  y 1. En esta discusión indicaremos por  $\psi_{nem}^{(L)}(R)$  la función de onda espacial normalizada de un electrón en un átomo hidrogenoide con carga  $Z_1 e$  y con números cuánticos  $(n, l, m)$  y por  $\chi_s^\sigma$  la función de onda normalizada de spin para un sistema de dos electrones con spin  $s$  y tercera componente  $\sigma$ . Esta función  $\chi_s^\sigma(m_1, m_2)$  depende de las terceras componentes de los spins individuales de tal modo que  $\sum_{m_1, m_2} \chi_s^\sigma(m_1, m_2) |m_1, m_2\rangle$  es el estado de spin total  $s$ , con tercera componente  $\sigma$ . Su construcción se realiza mediante coeficientes de Clebsch-Gordan. Para una lógica ensayan con funciones de prueba

$$2^3P : \psi(\vec{r}_1, \vec{r}_2) = \psi_{100}^{(1)}(\vec{r}_1) \psi_{21m}^{(2)}(\vec{r}_2) \chi_s^\sigma$$

$$2^1P : \psi(\vec{r}_1, \vec{r}_2) = \psi_{100}^{(1)}(\vec{r}_1) \psi_{21m}^{(2)}(\vec{r}_2) \chi_s^\sigma$$

donde  $\xi_i$  son las coordenadas de espacio y spin del electron  $i$ , formando  $Z_1$  y  $Z_2$  como parámetros respecto a los cuales efectuar la varación. Sin embargo, estas funciones pruebas son totalmente inadecuadas, pues obtendremos en ellas que la función de onda total para un sistema de dos electrones debe ser antisimétrica al intercambio  $\xi_1$  y  $\xi_2$ . Teniendo esto en cuenta, las funciones de prueba adecuadas, normalizadas, son

$$2^3 P : \psi_{-}(\xi_1, \xi_2) = \frac{1}{\sqrt{2}} [\psi_{100}^{(1)}(\bar{r}_1) \psi_{210}^{(2)}(\bar{r}_2) - \psi_{100}^{(1)}(\bar{r}_2) \psi_{210}^{(2)}(\bar{r}_1)] \chi_{-}^0 \quad (1)$$

$$2^1 P : \psi_{+}(\xi_1, \xi_2) = \frac{1}{\sqrt{2}} [\psi_{100}^{(1)}(\bar{r}_1) \psi_{210}^{(2)}(\bar{r}_2) + \psi_{100}^{(1)}(\bar{r}_2) \psi_{210}^{(2)}(\bar{r}_1)] \chi_{+}^0$$

donde se ha elegido  $m=0=0$ , pues el valor de  $H$ , por su simetría rotacional, es independiente de esta elección. Se obtiene inmediatamente que

$$\langle \psi_t | H | \psi_{\pm} \rangle = \langle \psi_{100}^{(1)}(\bar{r}_1) | H_{01} | \psi_{100}^{(1)}(\bar{r}_1) \rangle + \langle \psi_{210}^{(2)}(\bar{r}_1) | H_{01} | \psi_{210}^{(2)}(\bar{r}_1) \rangle + \\ + I(z_1, z_2) \pm J(z_1, z_2)$$

$$I(z_1, z_2) = e^2 \langle \psi_{100}^{(1)}(\bar{r}_1) \psi_{210}^{(2)}(\bar{r}_2) | \frac{1}{r_{12}} | \psi_{100}^{(1)}(\bar{r}_1) \psi_{210}^{(2)}(\bar{r}_2) \rangle \quad (2)$$

$$J(z_1, z_2) = e^2 \langle \psi_{100}^{(1)}(\bar{r}_1) \psi_{210}^{(2)}(\bar{r}_2) | \frac{1}{r_{12}} | \psi_{100}^{(1)}(\bar{r}_2) \psi_{210}^{(2)}(\bar{r}_1) \rangle$$

La cantidad  $I(z_1, z_2)$  se llama integral directa y la  $J(z_1, z_2)$  integral de intercambio. La integral de intercambio es una consecuencia directa de la antisimetría de la función de onda, y no hubiera aparecido de usar como funciones prueba las (II-7.1), con lo que en tal caso resultaría  $E(2^1P) = E(2^3P)$ , en contra de la evidencia experimental. De aquí:

$$\langle \psi_{100}^{(1)}(\bar{r}_1) | H_{01} | \psi_{100}^{(1)}(\bar{r}_1) \rangle = \mu(\alpha c)^2 \left( \frac{1}{2} Z_1^2 - ZZ_1 \right)$$

$$\langle \psi_{210}^{(2)}(\bar{r}_1) | H_{01} | \psi_{210}^{(2)}(\bar{r}_1) \rangle = \mu(\alpha c)^2 \left( \frac{1}{8} Z_2^2 - \frac{1}{4} ZZ_2 \right)$$

Para el cálculo de las integrales  $I$  y  $J$  basta usar (II-2.4)

$$I(z_1, z_2) = \frac{e^2}{6 a_1^3 a_2^5} \int_0^\infty dr_1 \int_0^\infty dr_2 \frac{r_1^2 r_2^4}{r^5} e^{-2r_1/a_1} e^{-8r_2/a_2}$$

$$J(z_1, z_2) = \frac{e^2}{18 a_1^3 a_2^5} \int_0^\infty dr_1 \int_0^\infty dr_2 \frac{r_1 r_2^3 r_2^3}{r^5} \exp \left[ -\left( \frac{1}{a_1} + \frac{1}{2a_2} \right) (r_1 + r_2) \right]$$

donde  $a_i \equiv \hbar/\mu(Z_i \alpha)$ . Una integración directa permite probar que

$$I(Z_1, Z_2) = \mu(\alpha c)^2 \left\{ \frac{Z_2}{4} - \frac{Z_1 Z_2^5}{(2Z_1 + Z_2)^5} - \frac{Z_2^5}{4(2Z_1 + Z_2)^4} \right\} \quad (1)$$

$$J(Z_1, Z_2) = \mu(\alpha c)^2 \frac{112 Z_1^3 Z_2^5}{3(2Z_1 + Z_2)^7}$$

Falta ahora minimizar el valor del hamiltoniano respecto a los parámetros  $Z_1$  y  $Z_2$ . Un cálculo numérico conduce a los resultados de la tabla. En la última

Estado	$Z_1$	$Z_2$	$\langle 41H14 \rangle$ eV	$-\langle 41H14 \rangle - 2\mu(\alpha c)^2$ eV	Energía romocional eV
$2^3P$	1.9912	1.0892	-57.971678	3.555838	3.624094
$2^1P$	2.0030	0.9647	-57.745820	3.329980	3.370172

columna se da un valor muy preciso a  $-\langle 41H14 \rangle - 2\mu(\alpha c)^2$ . Nótese en primer lugar, que los resultados exactos se reproducen con un error del orden del 2%. La energía de separación de los niveles  $2^3P$  y  $2^1P$  es 0.253922 eV, a comparar con el valor faltado 0.225858 eV y que se debe enteramente a la integral de intercambio. Por otra parte, los valores de  $Z_1$  y  $Z_2$  son lógicos, pues el electrón  $1s$  se sitúa cerca  $\approx 21el$  en el núcleo, mientras que el electrón  $2p$  se sitúa un "núcleo" de carga  $\approx 1el$  debido al espantallamiento que produce el electrón  $1s$ . Conviene mencionar también que el hecho de que el estado  $2^3P$  sea el más ligero era previsible físicamente, pues en él la función de onda espacial es antisimétrica y, por tanto, pequeña la probabilidad de que los dos electrones estén próximos, lo que hace que las fuerzas de Coulomb repulsivas que actúan entre ambos queden disminuidas. Como se puede ver este efecto es general y se conoce con el nombre de regla de Hund.

#### v) Calculos de alta precisión

En la literatura se encuentran múltiples cálculos de alta precisión. Ver por ejemplo F. C. SANDERS y C. W. SCHERR [Phys. Rev. 181, 84 (1969)]. Así por ejemplo en el trabajo mencionado y para el estado fundamental se encuentra

$$E_0 = -\mu(\alpha c)^2 \sum_{m=0}^{\infty} E_m \frac{1}{Z^m} \quad (1)$$

donde

$m$	$\epsilon_m$				
0	+ 1.	0 0 0	0 0 0	0 0	
1	- 0.	6 2 5	0 0 0	0 0	
2	+ 0.	1 5 7	6 6 6	3 8	
3	- 0	0 0 8	6 9 8	9 7	
4	+ 0.	0 0 0	8 8 8	5 0	
5	+ 0	0 0 1	0 3 6	3 5	
6	+ 0.	0 0 0	6 1 2	7 3	
7	+ 0	0 0 0	3 7 2	0 4	
8	+ 0.	0 0 0	2 4 2	7 5	
9	+ 0.	0 0 0	1 6 5	5 8	
10	+ 0.	0 0 0	1 1 6	1 2	
11	+ 0.	0 0 0	0 8 3	2 6	
12	+ 0.	0 0 0	0 6 0	8 5	
13	+ 0.	0 0 0	0 4 5	2 1	
14	+ 0.	0 0 0	0 3 4	0 6	
15	+ 0.	0 0 0	0 2 5	9 8	
16	+ 0.	0 0 0	0 2 0	0 2	
17	+ 0.	0 0 0	0 1 5	5 8	
18	+ 0.	0 0 0	0 1 2	2 2	
19	+ 0.	0 0 0	0 0 9	6 6	
20	+ 0.	0 0 0	0 0 7	6 8	
21	+ 0.	0 0 0	0 0 6	1 5	
22	+ 0	0 0 0	0 0 4	9 5	
23	+ 0.	0 0 0	0 0 4	0 0	
24	+ 0	0 0 0	0 0 3	2 5	
25	+ 0	0 0 0	0 0 2	6 5	

que da origen a los siguientes valores

$Z$	$-E_0 / \mu(\text{dc})^2$	$-E_{\text{per}} / \mu(\text{dc})^2$ ( $B=2.6$ )	$-E_{\text{var}} / \mu(\text{dc})^2$ ( $B=3.4$ )
2	2. 903 724 3	2. 750	2. 848
3	7. 279 913 4	7. 125	7. 223
4	13. 655 566 2	13. 500	13. 598
5	22. 030 971 5	21. 875	21. 973
6	32. 406 246 6	32. 250	32. 348
7	44. 781 445 2	44. 625	44. 723
8	59. 156 595 1	59. 000	59. 098
9	75. 531 712 3	75. 375	75. 473

### III.- APROXIMACION DE BORN - OPPENHEIMER

M. BORN Ann. d. Phys. 84, 457 (1927)

J. R. OPPENHEIMER Proc. Roy. Soc. A 237, 383 (1956)

Comenzaremos ahora el estudio mecánico- cuántico de las moléculas. Sea una molécula formada por  $N$  núcleos que supondremos puntuales. Indiquemos por  $\vec{x}_\alpha$ ,  $M_\alpha$ ,  $Z_\alpha$  ( $\alpha = 1, 2, \dots, N$ ) sus coordenadas posición, masa y carga, respectivamente. Supondremos que además hay  $n$  electrones puntuales con coordenadas  $\vec{r}_i$  ( $i = 1, 2, \dots, n$ ). Si despejamos los posibles términos de acoplamiento spin-óbita y otras correcciones relativistas, los niveles energéticos del sistema y las correspondientes funciones de onda se obtienen resolviendo la ecuación de Schrödinger

$$H \Psi(\vec{x}_c, \vec{\bar{x}}_\alpha) = E \Psi(\vec{x}_c, \vec{\bar{x}}_\alpha) \quad (1)$$

donde

$$H = - \sum_{\alpha=1}^N \frac{\hbar^2}{2M_\alpha} \vec{\nabla}_\alpha^2 - \sum_{i=1}^n \frac{\hbar^2}{2m_e} \vec{\nabla}_i^2 + V(\vec{x}_c, \vec{\bar{x}}_\alpha)$$

$$V(\vec{x}_c, \vec{\bar{x}}_\alpha) = \sum_{i < j=1}^n \frac{e^2}{r_{ij}} + \sum_{\alpha < \beta=1}^N \frac{Z_\alpha Z_\beta e^2}{R_{\alpha\beta}} - \sum_{i=1}^n \sum_{\alpha=1}^N \frac{Z_\alpha e^2}{r_{i\alpha}} \quad (2)$$

$$r_{ij} \equiv |\vec{x}_i - \vec{x}_j|, \quad R_{\alpha\beta} \equiv |\vec{\bar{x}}_\alpha - \vec{\bar{x}}_\beta|, \quad r_{i\alpha} \equiv |\vec{x}_i - \vec{\bar{x}}_\alpha|$$

Este Hamiltoniano es un problema de muchos cuerpos prácticamente im- tratable. Para proceder a su estudio tendremos en cuenta que siempre  $m_e/M_\alpha < 0.0006$  para poder separar el rápido movimiento de los electrones del lento movimiento de los núcleos. Básicamente la aproximación de Born- Oppenheimer es que los núcleos pueden considerarse estáticos para estudiar el movimiento de los electrones.

Una cruda justificación de esta aproximación es la siguiente: consideremos la ecuación de Schrödinger

$$\left\{ - \sum_{i=1}^n \frac{\hbar^2}{2m_e} \vec{\nabla}_i^2 + V(\vec{x}_c, \vec{\bar{x}}_\alpha) \right\} \Psi_{ee}(\vec{x}_c, \vec{\bar{x}}_\alpha) = E(\vec{x}_c) \Psi_{ee}(\vec{x}_c, \vec{\bar{x}}_\alpha) \quad (3)$$

que coincide con la de partida en el límite  $M_\alpha \rightarrow \infty$ , ( $\alpha = 1, 2, \dots, N$ ). Los valores propios dependen, evidentemente, de las posiciones relativas fijas de los núcleos.

Indiquemos por  $E_m(\vec{x}_\alpha)$  los valores propios de esta ecuación y por  $\psi_{el,m}(\vec{x}_c, \vec{x}_\alpha)$  las correspondientes funciones propias, siendo  $m$  el conjunto de números cuánticos que caracterizan el estado electrónico. Consideraremos a continuación las ecuaciones de Schrödinger

$$\left\{ -\sum_{\alpha=1}^N \frac{\hbar^2}{2M_\alpha} \vec{\nabla}_\alpha^2 + E_m(\vec{x}_\alpha) \right\} \psi_{nuc}(\vec{x}_\alpha) = E' \psi_{nuc}(\vec{x}_\alpha) \quad (1)$$

Indicaremos por  $E'_{nj}$  las autoenergías de estas ecuaciones, donde  $j$  clasifica los valores propios para un  $n$  dado. El teorema de Born-Oppenheimer afirma que la función de onda molecular viene adecuadamente aproximada por

$$\psi(\vec{x}_c, \vec{x}_\alpha) \approx \psi_{el}(\vec{x}_c, \vec{x}_\alpha) \psi_{nuc}(\vec{x}_\alpha) \quad (2)$$

y que los  $E'_{nj}$  son buenas aproximaciones a los valores propios del problema individual. En efecto

$$H \psi_{el}(\vec{x}_c, \vec{x}_\alpha) \psi_{nuc}(\vec{x}_\alpha) =$$

$$\begin{aligned} &= \left\{ -\sum_{\alpha=1}^N \frac{\hbar^2}{2M_\alpha} \vec{\nabla}_\alpha^2 - \sum_{i=1}^m \frac{\hbar^2}{2m_i} \vec{\nabla}_i^2 + V(\vec{x}_c, \vec{x}_\alpha) \right\} \psi_{el}(\vec{x}_c, \vec{x}_\alpha) \psi_{nuc}(\vec{x}_\alpha) \\ &= \left\{ -\sum_{\alpha=1}^N \frac{\hbar^2}{2M_\alpha} \vec{\nabla}_\alpha^2 + E(\vec{x}_\alpha) \right\} \psi_{el}(\vec{x}_c, \vec{x}_\alpha) \psi_{nuc}(\vec{x}_\alpha) = \\ &= -\sum_{\alpha=1}^N \frac{\hbar^2}{2M_\alpha} \left\{ \psi_{el}(\vec{x}_c, \vec{x}_\alpha) \vec{\nabla}_\alpha^2 \psi_{nuc}(\vec{x}_\alpha) + \psi_{el}(\vec{x}_\alpha) \vec{\nabla}_\alpha^2 \psi_{el}(\vec{x}_c, \vec{x}_\alpha) \right. \\ &\quad \left. + 2[\vec{\nabla}_\alpha \psi_{nuc}(\vec{x}_\alpha)] [\vec{\nabla}_\alpha \psi_{el}(\vec{x}_c, \vec{x}_\alpha)] \right\} + E(\vec{x}_\alpha) \psi_{el}(\vec{x}_c, \vec{x}_\alpha) \psi_{nuc}(\vec{x}_\alpha) \quad (3) \end{aligned}$$

Si podemos justificar que el segundo y tercer término son despreciables frente al primero (en realidad frente a la suma del primero y cuarto) entonces obtenemos

$$\begin{aligned} H \psi_{el}(\vec{x}_c, \vec{x}_\alpha) \psi_{nuc}(\vec{x}_\alpha) &= -\sum_{\alpha=1}^N \frac{\hbar^2}{2M_\alpha} \psi_{el}(\vec{x}_c, \vec{x}_\alpha) \vec{\nabla}_\alpha^2 \psi_{nuc}(\vec{x}_\alpha) + E(\vec{x}_\alpha) \psi_{el}(\vec{x}_c, \vec{x}_\alpha) \psi_{nuc}(\vec{x}_\alpha) = \\ &= E' \psi_{el}(\vec{x}_c, \vec{x}_\alpha) \psi_{nuc}(\vec{x}_\alpha) \quad (4) \end{aligned}$$

que es lo que se quería probar.

Veamos como podemos justificar que los términos despreciados de (3) son en efecto pequeños frente a los restantes. Las coordenadas nucleares entran en la ecuación (III-1.3) a través de las dependencias en  $r_{ca} \equiv |\vec{x}_c - \vec{x}_\alpha|$  de las coordenadas nucleares (El término que da cuenta de la repulsión

nuclear se puede englobar en  $E(\vec{x}_\alpha)$ ). Por tanto es de esperar que las coordenadas nucleares entrem en  $\Psi_{el}(\vec{x}_c, \vec{s}_\alpha)$  como las combinaciones  $\vec{x}_c - \vec{s}_\alpha$ , es decir  $\Psi_{el}(\vec{x}_c - \vec{s}_\alpha)$ . Entonces se tiene que en orden de magnitud

$$-i\hbar \vec{\nabla}_\alpha \Psi_{el}(\vec{x}_c - \vec{s}_\alpha) \approx -(-i\hbar \vec{\nabla}_c) \Psi_{el}(\vec{x}_c - \vec{s}_\alpha) \quad (1)$$

y por tanto los tres términos que figuran en (II-2.3) son respectivamente de orden  $\vec{p}_\alpha^2$ ,  $\vec{p}_c^2$ ,  $\vec{p}_\alpha \cdot \vec{p}_c$ , donde  $\vec{p}_\alpha$  ( $\vec{p}_c$ ) es el momento nuclear (electrónico) típico. Para que los dos últimos términos sean despreciables se debe cumplir que  $p_c / p_\alpha \ll 1$ .

Para estimar estas cantidades podemos proceder de la forma siguiente:

Muchas moléculas atómicas presentan un espectro vibracional  $\hbar\omega(n+1/2)$  con  $\hbar\omega \approx 1 \text{ eV}$ . Sabemos que para un oscilador armónico el teorema del virial nos dice que en el estado fundamental  $\vec{p}_\alpha^2 / 2M_\alpha \approx \hbar\omega/2$ , i.e.  $p_\alpha \approx (0.25 \text{ eV})^{1/2} M_\alpha^{1/2}$ . Podemos obtener la energía del electrón considerando las típicas energías de ionización de esta molécula que son del orden de 10 eV. Utilizando el teorema del virial para potenciales coulombianos  $\vec{p}_e^2 / 2m_e \approx 10 \text{ eV}$  i.e.  $p_e \approx (20 \text{ eV})^{1/2} m_e^{1/2}$ . De estas dos crudas estimaciones

$$p_c / p_\alpha \approx \left( \frac{80 m_e}{M_\alpha} \right)^{1/2} \quad (2)$$

que es en general mucho menor que la unidad pues  $M_\alpha \gg m_e$ .

Empecemos considerando el efecto de la masa nuclear finita en los átomos.

Consideremos un átomo con un núcleo puntual de masa  $M$ , carga  $Zet$  y coordinada posición  $\vec{s}$ . Los electrones, también considerados puntuales, tienen carga  $-et$  y están situados en los puntos de coordenadas  $\vec{x}_i$  ( $i = 1, 2, \dots, Z$ ). Denotaremos su masa por  $m_e$ . La energía cinética del sistema es

$$T = \frac{1}{2} M \vec{s}^2 + \frac{1}{2} m_e \sum_{i=1}^Z \frac{v_i^2}{x_i^2} \quad (3)$$

Introduzcamos las coordenadas centrales de masa

$$\begin{aligned} \vec{R} &= \frac{1}{M + Zm_e} (M\vec{s} + m_e \sum_{i=1}^Z \vec{x}_i) \\ \vec{r}_i &= \vec{x}_i - \vec{s} \end{aligned} \quad \left\{ \text{GO} \right. \quad \begin{aligned} \vec{s} &= \vec{R} - \frac{m_e}{M + Zm_e} \sum_{i=1}^Z \vec{r}_i \\ \vec{x}_i &= \vec{R} + \vec{r}_i + \frac{m_e}{M + Zm_e} \sum_{j=1}^Z \vec{r}_j \end{aligned} \quad \left\{ \text{GO} \right. \quad (4)$$

Por lo tanto

$$T = \frac{1}{2} (M + Zm_e) \dot{\vec{R}}^2 + m_e \sum_{i=1}^Z \dot{\vec{r}_i}^2 - \frac{m_e^2}{M + Zm_e} \left( \sum_{i=1}^Z \frac{\dot{\vec{r}_i}}{r_i} \right)^2 \quad (1)$$

y los momentos conjugados son

$$\vec{P} = \frac{\partial T}{\partial \dot{\vec{R}}} = (M + Zm_e) \dot{\vec{R}}, \quad \vec{p}_i = \frac{\partial T}{\partial \dot{\vec{r}_i}} = m_e \left( \dot{\vec{r}_i} - \frac{m_e}{M + Zm_e} \sum_{j=1}^Z \frac{\dot{\vec{r}_j}}{r_j} \right) \quad (2)$$

de donde

$$\sum_{i=1}^Z \vec{p}_i = \frac{m_e M}{M + Zm_e} \sum_{i=1}^Z \dot{\vec{r}_i}, \quad \dot{\vec{R}} = \frac{1}{M + Zm_e} \vec{P}, \quad \dot{\vec{r}_i} = \frac{1}{m_e} \vec{p}_i + \frac{1}{M} \sum_{j=1}^Z \vec{p}_j \quad (3)$$

De donde

$$T = \frac{1}{2(M + Zm_e)} \vec{P}^2 + \frac{1}{2M} \left( \sum_{i=1}^Z \vec{p}_i \right)^2 + \frac{1}{2m_e} \sum_{i=1}^Z \vec{p}_i^2 \quad (4)$$

o equivalentemente

$$T = \frac{1}{2(M + Zm_e)} \vec{P}^2 + \frac{M + m_e}{2Mm_e} \sum_{i=1}^Z \vec{p}_i^2 + \frac{1}{M} \sum_{i < j} \vec{p}_i \cdot \vec{p}_j \quad (5)$$

Los tres términos corresponden respectivamente a : la energía cinética del centro de masas con la masa total, la energía cinética de los electrones con sus masas individuales y finalmente una corrección de orden  $1/M$  que se conoce como término de Hughes - Eckart. Como

$$\left| \sum_{i=1}^Z \vec{p}_i \right|^2 \leq Z \sum_{i=1}^Z |\vec{p}_i|^2 \quad (6)$$

El término de Hughes - Eckart es proporcional con relación al segundo término de (5) y por tanto se puede tratar por teoría de perturbaciones

Como podemos separar el movimiento del centro de masas basta considerar la energía relativa que puede escribirse

$$H = \sum_{i=1}^Z \frac{\vec{p}_i^2}{2m_e} + \frac{\left( \sum_{i=1}^Z \vec{p}_i \right)^2}{2M} + V \quad (7)$$

Por argumentos dimensionales la energía del estado fundamental es de la forma

$$E = m_e (\alpha c)^2 f \left( \frac{m_e}{M} \right) < 0 \quad (8)$$

Teniendo en cuenta que  $E = \langle 0 | H | 0 \rangle$  donde  $|0\rangle$  es el estado fundamental normalizado

$$\frac{\partial E}{\partial (1/M)} = \left< 0 \right| \frac{1}{2} \left( \sum_{i=1}^{\infty} \bar{p}_i \right)^2 \left| 0 \right> \geq 0 , \quad \frac{\partial E}{\partial (1/m)} = \left< 0 \right| \frac{1}{2} \sum_{i=1}^{\infty} p_i^2 \left| 0 \right> \geq 0 \quad (1)$$

Entonces puesto que  $E$  es concava en  $1/m$  y  $1/M$  se debe cumplir que

$$\frac{\partial^2 E}{\partial (1/m)^2} - \frac{\partial^2 E}{\partial (1/M)^2} - \left( \frac{\partial^2 E}{\partial (1/m) \partial (1/M)} \right)^2 \geq 0 \quad (2)$$

lo cual implica, teniendo en cuenta (II-3.2) que

$$f''(m/M) \leq 2 f'^2(m/M) / f(m/M) \quad (2a)$$

donde  $f'(x) = df(x)/dx$ . Teniendo en cuenta que

$$-\frac{1}{f(x)} = -\frac{1}{f(x_0)} + \frac{f'(x_0)}{f^2(x_0)} (x-x_0) + \frac{1}{2f^2(x_0)} [f''(x_0) - 2f'^2(x_0)/f(x_0)] (x-x_0)^2 + \dots \quad (3)$$

obtenemos que

$$-\frac{1}{f(m/M)} \leq -\frac{1}{f(0)} + \frac{f'(0)}{f^2(0)} \frac{m}{M} \Rightarrow$$

$$f(m/M) \leq \frac{f(0)}{1 - \frac{f'(0)}{f(0)} \frac{m}{M}} \quad (4)$$

Además

$$\frac{\partial E}{\partial (1/M)} = m \bar{p}_e^2 (\alpha c)^2 f'(\frac{m_e}{M}) = \left< 0 \right| \frac{1}{2} \left( \sum_{i=1}^{\infty} \bar{p}_i \right)^2 \left| 0 \right> \geq \geq \left< 0 \right| \frac{1}{2} \sum_{i=1}^{\infty} \bar{p}_i^2 \left| 0 \right> = \frac{\partial E}{\partial (1/m)} =$$

$$= -Z m_e^2 (\alpha c)^2 f(\frac{m_e}{M}) - Z (\alpha c)^2 m^3 \frac{1}{M} f'(\frac{m}{M}) \Rightarrow$$

$$f'(\frac{m}{M}) \geq -Z f(\frac{m}{M}) - Z \frac{m}{M} f'(\frac{m}{M}) \Rightarrow f'(0) \geq -Z f(0) \quad (5)$$

y por tanto

$$f(0) \leq f(m/M) \leq \frac{f(0)}{1 + \frac{Z m_e}{M}} \quad (2)$$

que es lo que queríamos. Que  $f(0) \leq f(m/M)$  es consecuencia inmediata de que en (II-3.2) el segundo término se define positivo.

Para otros momentos esta consecución es siempre muy pequeña

Veamos la situación para una molécula cuyo Hamiltoniano es (III-1.2)

$$H = \sum_{i=1}^m \frac{1}{2m_e} \vec{p}_i^2 + \sum_{\alpha=1}^N \frac{1}{2M_\alpha} \vec{p}_\alpha^2 - \sum_{i=1}^m \sum_{\alpha=1}^N \frac{Z_\alpha e^2}{|\vec{x}_i - \vec{x}_\alpha|} + \\ + \sum_{i < j=1}^m \frac{e^2}{|\vec{x}_i - \vec{x}_j|} + \sum_{\alpha < \beta=1}^N \frac{e^2 Z_\alpha Z_\beta}{|\vec{x}_\alpha - \vec{x}_\beta|} = H_0 + \sum_{\alpha=1}^N \frac{1}{2M_\alpha} \vec{p}_\alpha^2 \quad (1)$$

Como ya hemos dicho este problema es intratable y para poderlo estudiar más basaremos en el hecho de que  $m_e/M_\alpha < 0.001$ , lo cual nos permite separar el movimiento rápido de los electrones, del lento de los nucleos. El primer paso es hallar los valores propios  $E_m(\vec{x})$   $\vec{x} = (\vec{x}_1, \vec{x}_2, \dots, \vec{x}_N)$  de  $H_0$ . Estos son los potenciales para el movimiento de los nucleos y por tanto el siguiente paso, en la aproximación de Bohr-Oppenheimer, es encontrar los valores propios  $E_{mj}$  de

$$H_m \equiv \sum_{\alpha=1}^N \frac{1}{2M_\alpha} \vec{p}_\alpha^2 + E_m(\vec{x}) \quad (2)$$

Veamos en primer lugar que si  $E_1$  es el valor propio menor de  $H$ ,  $\Psi_1(\vec{x})$  el estado fundamental de  $H_0$  y  $\Phi(\vec{x})$  el de  $H_m$ , entonces, si se define  $x = (\vec{x}_1, \dots, \vec{x}_m)$  se tiene

$$E_{11} \leq E_1 \leq E_{11} + \sum_{\alpha=1}^N \frac{\hbar^2}{2M_\alpha} \int d^{3N}\vec{x} d^{3m}\vec{x} |\Phi(\vec{x}) \vec{\nabla}_{\vec{x}_R} \Psi_1(\vec{x})|^2 \quad (3)$$

La cota inferior se deduce de las desigualdades entre operadores

$$H \geq E_1(\vec{x}) + \sum_{\alpha=1}^N \frac{1}{2M_\alpha} \vec{p}_\alpha^2 \geq E_{11}$$

En efecto sea  $\Psi(\vec{x}, \vec{x})$  una función cualquiera y  $\{\psi_i(\vec{x})\}$  las funciones propias de  $H_0$ , entonces

$$\Psi(\vec{x}, \vec{x}) = \sum_i \phi_i(\vec{x}) \psi_i(\vec{x})$$

$$\langle \Psi(\vec{x}, \vec{x}) | H | \Psi(\vec{x}, \vec{x}) \rangle = \sum_{i,j} \langle \phi_i(\vec{x}) \psi_i(\vec{x}) | H_0 + \sum_{\alpha=1}^N \frac{1}{2M_\alpha} \vec{p}_\alpha^2 | \phi_j(\vec{x}) \psi_j(\vec{x}) \rangle = \\ = \sum_i \sum_j E_i(\vec{x}) \langle \phi_i(\vec{x}) \psi_i(\vec{x}) | \phi_j(\vec{x}) \psi_j(\vec{x}) \rangle + \sum_{\alpha=1}^N \langle \Psi(\vec{x}, \vec{x}) | \sum_{\alpha=1}^N \frac{1}{2M_\alpha} \vec{p}_\alpha^2 | \Psi(\vec{x}, \vec{x}) \rangle \geq \\ \geq E_{11}(\vec{x}) + \langle \Psi(\vec{x}, \vec{x}) | \sum_{\alpha=1}^N \frac{1}{2M_\alpha} \vec{p}_\alpha^2 | \Psi(\vec{x}, \vec{x}) \rangle = \langle \Psi(\vec{x}, \vec{x}) | E_1(\vec{x}) + \sum_{\alpha=1}^N \frac{1}{2M_\alpha} \vec{p}_\alpha^2 | \Psi(\vec{x}, \vec{x}) \rangle$$

y por el mismo tipo de razonamiento se prueba lo segundo.

Veamos como obtener la cota superior. Haremos como fumación de producto  $\Psi_{\vec{x}}(x) \Phi(\vec{x})$

$$E_1 \leq \langle \Psi_{\vec{x}}(x) \Phi(\vec{x}) | H | \Psi_{\vec{x}}(x) \Phi(\vec{x}) \rangle =$$

$$= \langle \Psi_{\vec{x}}(x) \Phi(\vec{x}) | H_{\infty} | \Psi_{\vec{x}}(x) \Phi(\vec{x}) \rangle + \langle \Psi_{\vec{x}}(x) \Phi(\vec{x}) | \sum_{\alpha=1}^N \frac{1}{2M_{\alpha}} \bar{P}_{\alpha}^2 | \Psi_{\vec{x}}(x) \Phi(\vec{x}) \rangle$$

$$= \langle \Phi(\vec{x}) | E_1(\vec{x}) | \Phi(\vec{x}) \rangle + \langle \Psi_{\vec{x}}(x) \Phi(\vec{x}) | \sum_{\alpha=1}^N \frac{1}{2M_{\alpha}} \bar{P}_{\alpha}^2 | \Psi_{\vec{x}}(x) \Phi(\vec{x}) \rangle =$$

$$= \langle \Phi(\vec{x}) | E_1(\vec{x}) | \Phi(\vec{x}) \rangle + \sum_{\alpha} \frac{\hbar^2}{2M_{\alpha}} \int d^3m_x d^3N_{\vec{x}} \left\{ \Psi_{\vec{x}}^*(x) \Psi_{\vec{x}}(x) \frac{\partial \Phi^*(\vec{x})}{\partial x_{\alpha L}} \frac{\partial \Phi(\vec{x})}{\partial x_{\alpha R}} + \right. \\ \left. + \Psi_{\vec{x}}^*(x) \Phi(\vec{x}) \frac{\partial \Phi^*(\vec{x})}{\partial x_{\alpha L}} \frac{\partial \Psi_{\vec{x}}(x)}{\partial x_{\alpha R}} + \Phi^*(\vec{x}) \Psi_{\vec{x}}(x) \frac{\partial \Psi_{\vec{x}}^*(x)}{\partial x_{\alpha L}} \frac{\partial \Phi(\vec{x})}{\partial x_{\alpha R}} + \Phi^*(\vec{x}) \Phi(\vec{x}) \frac{\partial \Psi_{\vec{x}}^*(x)}{\partial x_{\alpha L}} \frac{\partial \Psi_{\vec{x}}(x)}{\partial x_{\alpha R}} \right\}$$

$$= \langle \Phi(\vec{x}) | E_1(\vec{x}) + \sum_{\alpha} \frac{1}{2M_{\alpha}} \bar{P}_{\alpha}^2 | \Phi(\vec{x}) \rangle + \sum_{\alpha} \frac{\hbar^2}{2M_{\alpha}} \left\{ \int d^3m_x d^3N_{\vec{x}} | \Phi(\vec{x}) \nabla_{\vec{x}_{\alpha}} \Psi_{\vec{x}}(x) |^2 + \right. \\ \left. + \int d^3\vec{x} \Phi(\vec{x}) \frac{\partial \Phi^*(\vec{x})}{\partial x_{\alpha L}} \int d^3m_x \Psi_{\vec{x}}^*(x) \frac{\partial \Psi_{\vec{x}}(x)}{\partial x_{\alpha R}} - \dots \right\}$$

$$+ \int d^3\vec{x} \Phi^*(\vec{x}) \frac{\partial \Phi(\vec{x})}{\partial x_{\alpha L}} \int d^3m_x \Psi_{\vec{x}}(x) \frac{\partial \Psi_{\vec{x}}^*(x)}{\partial x_{\alpha R}} \}$$

Teniendo en cuenta que  $\Phi(\vec{x})$  y  $\Psi_{\vec{x}}(x)$  pueden tomarse reales, los dos últimos términos son nulos para ver  $\Psi_{\vec{x}}(x)$  normalizada.

$$\int d^3m_x \left( \Psi_{\vec{x}}^*(x) \frac{\partial \Psi_{\vec{x}}(x)}{\partial x_{\alpha L}} + \Psi_{\vec{x}}(x) \frac{\partial \Psi_{\vec{x}}^*(x)}{\partial x_{\alpha R}} \right) = \frac{\partial}{\partial x_{\alpha L}} \int d^3m_x | \Psi_{\vec{x}}(x) |^2 = 0$$

Y se obtiene así la cota superior (III-6.3)

Veamos algunas consecuencias

i) La única dependencia de  $M_{\alpha}$  en la integral (III-6.3) es en  $\Phi(\vec{x})$ . Si esta cantidad permanece finita cuando  $M_{\alpha} \rightarrow \infty$ , la diferencia de las dos cotas es  $O(\max_{\alpha} \frac{1}{M_{\alpha}})$ .

ii) La energía vibracional del núcleo es del orden de  $(E''(\vec{x}) / M_{\alpha})^{1/2} = O(M_{\alpha}^{-1/2})$ . La aproximación de Born-Oppenheimer es suficientemente buena para que tenga sentido calcular esta energía.

iii) La energía rotacional es inversamente proporcional al momento de inercia, y por tanto para los nucleos es  $O(M_{\alpha}^{-1})$ , que es proporcional al cuadrado de la aproximación y no es posible tener afirmaciones sobre la energía rotacional.

Veamos algunas propiedades de  $E(X)$

- 1) Sin tener en cuenta la repulsión nuclear,  $E(X)$  tiene su infimo cuando  $\bar{x}_\alpha = \bar{x}_\beta$  para todos los  $\alpha$  y  $\beta$ .

En efecto

$$H_{00} = \sum_{\alpha>\beta=1}^N \frac{Z_\alpha Z_\beta e^2}{|\bar{x}_\alpha - \bar{x}_\beta|} = \sum_{i=1}^m \frac{\bar{p}_i^2}{2m_e} - \sum_{\alpha=1}^N \sum_{i=1}^m \frac{e^2 Z_\alpha}{|\bar{x}_i - \bar{x}_\alpha|} + \sum_{1 \leq i < j \leq m} \frac{e^2}{|\bar{x}_i - \bar{x}_j|} = \\ = \sum_{\alpha=1}^N \frac{Z_\alpha}{Z} \left\{ \sum_{i=1}^m \left( \frac{\bar{p}_i^2}{2m_e} - \frac{e^2 Z_\alpha}{|\bar{x}_i - \bar{x}_\alpha|} \right) + \sum_{1 \leq i < j} \frac{e^2}{|\bar{x}_i - \bar{x}_j|} \right\} \text{ si } Z \equiv \sum_{\alpha=1}^N Z_\alpha$$

La expresión  $\{ \}$  es precisamente el Hamiltoniano de un átomo de  $m$  electrones con carga  $Z_\alpha$ . Denotemos por  $E(m, Z)$  su valor propio más bajo, entonces

$$E(X) \geq \sum_{\alpha>\beta=1}^N \frac{e^2 Z_\alpha Z_\beta}{|\bar{x}_\alpha - \bar{x}_\beta|} + E(m, Z) \quad (1)$$

Esto significa que los electrones prefieren que todos los núcleos se junten, para entender como se forman las moléculas se debe determinar si esta situación compensa la repulsión de Coulomb entre los núcleos.

2) Sea  $\bar{x}_\alpha = R \bar{x}'_\alpha$  y  $\bar{x}_i = R \bar{x}'_i$ . Consideren las coordenadas  $\bar{x}'_\alpha$  y  $\bar{x}'_i$  como fijas, de forma que la molécula conserve su forma cuando se expanda o contrae cuando  $R$  varía (efecto del grupo de rotación). Sea  $H_{00} = T + V$  donde  $T = \sum_i l \bar{p}_i^2 / 2m_e$ , entonces los valores esperados respecto a la función de onda electrónica  $|>$  tal que  $H_{00} |> = E(R) |>$  son

$$\langle T \rangle = -E(R) - R \frac{dE(R)}{dR} \quad E(R) = \langle 0 | \frac{1}{R^2} T' | 0 \rangle + \langle 0 | \frac{1}{R} V' | 0 \rangle \\ R \frac{dE(R)}{dR} = -2 \langle 0 | \frac{1}{R^2} T' | 0 \rangle - \langle 0 | \frac{1}{R} V' | 0 \rangle \quad (2)$$

$$\langle V \rangle = 2E(R) + R \frac{dE(R)}{dR}$$

En efecto

El operador  $H_{00}$  se puede escribir usando las dilataciones como

$$H_m = \frac{1}{R^2} \sum_{i=1}^m \frac{\bar{p}'_i^2}{2m_e} + \frac{1}{R} \left\{ V(\bar{x}', \bar{x}') \right\} = \frac{1}{m_e R^2} \left\{ \frac{1}{2} \sum_{i=1}^m \bar{p}'_i^2 + m_e R e^2 \tilde{V} \right\} \\ \tilde{V} = \sum_{\alpha>\beta=1}^N \frac{Z_\alpha Z_\beta}{|\bar{x}'_\alpha - \bar{x}'_\beta|} + \sum_{i>j=1}^m \frac{1}{|\bar{x}'_i - \bar{x}'_j|} - \sum_{\alpha=1}^N \sum_{i=1}^m \frac{Z_\alpha}{|\bar{x}'_i - \bar{x}'_\alpha|} \quad (3)$$

Entonces  $E(R)$  es de la forma

$$E(R) = \frac{1}{m_e R^2} f(e^2 m_e R) \quad (4)$$

El teorema de Feynman-Hellmann dice que si  $H(\beta)$  entonces

$$\frac{\partial E(\beta)}{\partial \beta} = \langle \psi(\beta) | \frac{\partial H(\beta)}{\partial \beta} | \psi(\beta) \rangle \quad \text{si} \quad \frac{\partial H(\beta)}{\partial \beta} | \psi(\beta) \rangle = E(\beta) | \psi(\beta) \rangle \quad (1)$$

y se tiene como

$$H_{\text{tot}} = \frac{1}{m_e R^2} \left\{ \frac{1}{2} \sum_{i=1}^m \tilde{p}_i^{(2)} + m_e R e^2 \tilde{V} \right\} \quad (2)$$

entonces

$$e^2 \langle \frac{\partial H_{\text{tot}}}{\partial e^2} \rangle = e^2 \frac{1}{R} \langle \tilde{V} \rangle = \langle V \rangle = e^2 \frac{\partial E(R)}{\partial e^2} \quad (3)$$

pero

$$e^2 \frac{\partial E(R)}{\partial e^2} = \frac{e^2}{m_e R^2} f'(e^2 m_e R) m_e R = \frac{e^2}{R} f'(e^2 m_e R) \quad (4)$$

$$\frac{\partial E(R)}{\partial R} = - \frac{2}{m_e R^3} f(e^2 m_e R) + \frac{e^2}{R^2} f'(e^2 m_e R) = \quad (5)$$

De donde

$$\langle V \rangle = \frac{e^2}{R} f'(e^2 m_e R) = R \frac{\partial E(R)}{\partial R} + \frac{2}{m_e R^2} f(e^2 m_e R) =$$

$$\langle V \rangle = R \frac{\partial E(R)}{\partial R} + 2E(R) \quad (6)$$

Si multiplicamos

$$\frac{1}{m_e} \langle \frac{\partial H_{\text{tot}}}{\partial (1/m_e)} \rangle = \langle T \rangle = \frac{1}{m_e} \frac{\partial E(R)}{\partial (1/m_e)}$$

pero

$$\frac{1}{m_e} \frac{\partial E(R)}{\partial (1/m_e)} = \frac{1}{m_e R^2} f(e^2 m_e R) + \frac{e^2}{R} f'(e^2 m_e R) = E(R) + R \frac{\partial E(R)}{\partial R} + 2E(R) =$$

$$\langle T \rangle = -E(R) - R \frac{\partial E(R)}{\partial R} \quad (7)$$

En la posición de equilibrio, donde  $\partial E(R)/\partial R = 0$ , el teorema del mínimo para los electrones dice, como es usual, que

$$\langle V \rangle + 2E = -2\langle T \rangle \quad (8)$$

Si  $\partial E/\partial R \neq 0$ , entonces la energía cinética es menor que  $|E|$  cuando  $\partial E/\partial R > 0$  y viceversa. Esto está de acuerdo con la intuición física, de acuerdo con lo cual si  $R$  es demasiado pequeño la energía cinética de los electrones es demasiado grande.

Un argumento falso para explicar la formación de moléculas se da algunos veces, diciendo que su mayor volumen permite una menor energía cinética para los electrones. Es verdad que  $\langle T \rangle < 1\langle v \rangle / 2$  mientras  $R$  disminuye desde infinito hasta la posición en que  $\partial E_1 / \partial R > 0$ . Sin embargo  $\langle T \rangle = |E|$  en la posición de equilibrio, y por tanto es mayor que en un átomo si  $|E|$  debe ser mayor que para átomos aislados.

Por supuesto el lección del níquel es válido para H como un todo. Si  $\langle \langle T \rangle \rangle$  indica el valor esperado en el estado fundamental  $E_1$  de H y  $T_m$  indica la energía cinética de los nucleos, entonces

Juan de Vineda

$$|E_1| = \langle \langle T \rangle \rangle + \langle \langle T_m \rangle \rangle \quad \langle |E_{11}| = \langle T \rangle \rangle \Rightarrow$$

$$\langle T \rangle - \langle \langle T \rangle \rangle > \langle \langle T_m \rangle \rangle \quad (1)$$

Lo cual prueba que el valor esperado calculado usando la aproximación de Born-Oppenheimer difiere de la correcta en  $O(M_\alpha^{-1})$

Sea  $R_0$  la posición de equilibrio, es decir  $\partial E_1 / \partial R \Big|_{R=R_0} = 0$ , entonces para todo  $R > 0$

$$E_1(R) \leq E_1(R_0) \frac{R_0^2}{R^2} \left( 1 + 2 \frac{R-R_0}{R_0} \right) \quad (2)$$

Demonstración. Hemos visto que  $E_1 = (1/m_e R^2) f(\text{le}^2 m_e R)$  - de puede probar que  $f(\text{le}^2 m_e R)$  es una función concava. Por tanto  $R^2 E_1(R)$  es concava en  $R$  y es siempre menor que su tangente

$$R^2 E_1(R) \leq R_1^2 E(R_1) + (R-R_1) \left( 2R_1 E(R_1) + R_1^2 E'(R_1) \right) \quad \forall R > R_1 \quad (3)$$

Si toman  $R_1 = R_0$  entonces (2) es cierto.

Consideremos el caso de un molécula atómica con la  $R$  para identificarse con  $|X_1 - X_2|$ .

Entonces una otra suposición para el Hamiltoniano nuclear es

$$H_m \leq \frac{|\vec{p}_{CH}|^2}{2M_{CH}} + \frac{|\vec{p}|^2}{2M} + E_1(R_0) \frac{R_0^2}{R^2} \left( 1 + 2 \frac{R-R_0}{R_0} \right)$$

$$M_{CH} = M_1 + M_2 \quad \frac{1}{M} = \frac{1}{M_1} + \frac{1}{M_2} \quad \vec{p} \text{ momento conjugado a } (X_1 - X_2)$$

Como el potencial es una superposición de  $1/R$  y  $1/R^2$  la ecuación se puede resolver analíticamente y así se obtiene

$$E(R_0) \leq E_{11} \leq E(R_0) \left( \sqrt{1+x} + \Gamma x \right)^{-2} \quad x = \frac{\hbar^2}{4MR_0^2 |E(R_0)|}$$

Como  $|E(R_0)| \sim m$  y  $R_0 \sim m^{-1}$  tenemos que  $E_{11} - E(R_0) \approx O((m/\hbar)^{1/2})$ .

## IV - MOLECULA DE HIDROGENO IONIZADA

Iniciaremos el estudio de las energías electrónicas de las moléculas, usando la aproximación de Born-Oppenheimer manteniendo los núcleos fijos y considerando como se pude la ecuación del movimiento de los electrones. Consideraremos la molécula aislada, ignorando interacciones intermoleculares y por tanto los resultados que obtengamos serán aplicables, principalmente, a la fase gaseosa a bajas presiones.

La más simple de las moléculas es  $H_2^+$

que está representada en la figura. El Hamiltoniano electrónico para este problema es

$$H = -\frac{\hbar^2}{2m_e} \nabla^2 - \frac{e^2}{r_a} - \frac{e^2}{r_b} \quad (1)$$

El término  $+e^2/R$  lo hemos omitido de momento.

i) Solución exacta

Introduzcamos las coordenadas clípticas céticas  $\xi, \eta, \phi$ . La coordenada  $\phi$  es el ángulo de rotación alrededor del eje que une los dos núcleos y

$$\xi = \frac{1}{R} (r_a + r_b) \quad , \quad \eta = \frac{1}{R} (r_a - r_b) \quad (2)$$

Entonces

$$0 \leq \eta \leq 2\pi \quad , \quad 1 \leq \xi \leq \infty \quad , \quad -1 \leq \eta \leq +1 \quad (3)$$

Intentaremos escribir (1) en estas coordenadas

$$r_a = \frac{R}{2} (\xi + \eta) \quad , \quad r_b = \frac{R}{2} (\xi - \eta) \quad (4)$$

Sean  $(x, y, z)$  las coordenadas del electrón; las de los núcleos son  $(0, 0, R/2)$ ,  $(0, 0, -R/2)$ . Entonces

$$x = r \sin \theta \cos \phi \quad , \quad y = r \sin \theta \sin \phi \quad , \quad z = r \cos \theta \quad (5)$$

Debiendo además

$$\xi \eta = \frac{1}{R^2} (r_a^2 - r_b^2) \quad , \quad \xi^2 + \eta^2 = \frac{2}{R^2} (r_a^2 + r_b^2) \quad (6)$$

Notar que

$$r_a^2 = x^2 + y^2 + (z + \frac{1}{2} R)^2 = r^2 + \frac{1}{4} R^2 + Rr \cos \theta$$

(1)

$$r_b^2 = x^2 + y^2 + (z - \frac{1}{2} R)^2 = r^2 + \frac{1}{4} R^2 - Rr \cos \theta$$

De donde sumando y restando

$$r = \frac{R}{2} (\xi^2 + \eta^2 - 1)^{\frac{1}{2}}, \quad r \cos \theta = \frac{R}{2} \xi \eta$$

(2)

$$r \sin \theta = \frac{R}{2} \sqrt{(\xi^2 - 1)(1 - \eta^2)}$$

De donde

$$x = \frac{R}{2} \sqrt{(\xi^2 - 1)(1 - \eta^2)} \cos \phi \quad y = \frac{R}{2} \sqrt{(\xi^2 - 1)(1 - \eta^2)} \sin \phi$$

(3)

$$z = \frac{R}{2} \xi \eta$$

Por lo tanto

$$ds^2 = dx^2 + dy^2 + dz^2 = \frac{R^2}{4} \frac{\xi^2 - \eta^2}{\xi^2 - 1} d\xi^2 + \frac{R^2}{4} \frac{\xi^2 - \eta^2}{1 - \eta^2} d\eta^2$$

(4)

$$+ \frac{R^2}{4} (\xi^2 - 1)(1 - \eta^2) d\phi^2$$

$$\Rightarrow a^3 x = dx dy dz = \frac{R^3}{8} (\xi^2 - \eta^2) d\xi d\eta d\phi$$

(5)

$$\Delta = \frac{4}{R^2} \frac{1}{\xi^2 - \eta^2} \left\{ \frac{\partial}{\partial \xi} \left[ (\xi^2 - 1) \frac{\partial}{\partial \xi} \right] + \frac{\partial}{\partial \eta} \left[ (1 - \eta^2) \frac{\partial}{\partial \eta} \right] \right. \\ \left. + \frac{\partial}{\partial \phi} \left[ \left( \frac{1}{\xi^2 - 1} + \frac{1}{1 - \eta^2} \right) \frac{\partial}{\partial \phi} \right] \right\}$$

(6)

Para lo mal

$$H = - \frac{2 \hbar^2}{m_e R^2 (\xi^2 - \eta^2)} \left\{ (\xi^2 - 1) \frac{\partial^2}{\partial \xi^2} + 2 \xi \frac{\partial}{\partial \xi} + (1 - \eta^2) \frac{\partial^2}{\partial \eta^2} \right.$$

(7)

$$- 2\eta \frac{\partial}{\partial \eta} + \left( \frac{1}{\xi^2 - 1} + \frac{1}{1 - \eta^2} \right) \frac{\partial^2}{\partial \phi^2} \left. \right\} - \frac{2e^2}{R(\xi + \eta)} - \frac{2e^2}{R(\xi - \eta)}$$

El problema es invariante bajo las rotaciones alrededor de Oz, i.e. [Lz, H] = 0  
y por tanto podemos escribir

$$\Psi_{ee}(\xi, \eta, \phi) = L(\xi) M(\eta) \frac{1}{(2n)^{1/2}} e^{+im\phi}$$

(1)

$$m = 0, \pm 1, \pm 2, \pm 3, -$$

donde  $L(\xi)$  y  $M(\eta)$  son funciones

$$-\frac{2\hbar^2}{m_e R^2 (\xi^2 - \eta^2)} \left\{ (\xi^2 - 1) \frac{1}{L} \frac{d^2 L}{d\xi^2} + 2\xi \frac{1}{L} \frac{dL}{d\xi} + (1 - \eta^2) \frac{M}{M} \frac{d^2 M}{d\eta^2} - 2\eta \frac{1}{M} \frac{dM}{d\eta} \right\}$$

$$-\frac{m^2}{\xi^2 - 1} - \frac{m^2}{1 - \eta^2} \left\{ -\frac{2e^2}{R(\xi + \eta)} - \frac{2e^2}{R(\xi - \eta)} \right\} = E \Rightarrow$$

$$(\xi^2 - 1) \frac{1}{L} \frac{d^2 L}{d\xi^2} + 2\xi \frac{1}{L} \frac{dL}{d\xi} + (1 - \eta^2) \frac{1}{M} \frac{d^2 M}{d\eta^2} - 2\eta \frac{1}{M} \frac{dM}{d\eta}$$

$$-\frac{m^2}{\xi^2 - 1} - \frac{m^2}{1 - \eta^2} + \frac{2m_e R e^2}{\hbar^2} \xi = -\frac{m_e R^2 E}{2\hbar^2} (\xi^2 - \eta^2) \Rightarrow$$

$$(\xi^2 - 1) \frac{d^2 L}{d\xi^2} + 2\xi \frac{dL}{d\xi} + \left[ A + \frac{2R m_e e^2}{\hbar^2} \xi + \frac{R^2 m_e E}{2\hbar^2} \xi^2 - \frac{m^2}{\xi^2 - 1} \right] L = 0 \quad (2)$$

$$(1 - \eta^2) \frac{d^2 M}{d\eta^2} - 2\eta \frac{dM}{d\eta} - \left[ A + \frac{R^2 m_e E}{2\hbar^2} \eta^2 + \frac{m^2}{\eta^2 - 1} \right] M = 0 \quad (3)$$

donde  $A$  es la constante de separación. Estas ecuaciones son suficientemente complicadas para que los valores propios y funciones propias no se puedan dar en forma finita. Ver

D. R. BATES, K. LEDSHAM y A. L. STEWARD. Phil. Trans. Roy. Soc. Lond. A 246, 215 (1953)

E. M. ROBERTS, M. R. FOSTER y F. F. SELIG. J. Chem. Phys. 37, 485 (1962)

H. WIND. J. Chem. Phys. 42, 2371 (1965)

En el estado fundamental electrónico  $m = 0$  y las ecuaciones anteriores se reducen a

$$\frac{d}{d\eta} \left\{ (1 - \eta^2) \frac{dM}{d\eta} \right\} + \left\{ -A + p^2 \eta^2 \right\} M = 0 \quad (4)$$

$$\frac{d}{d\xi} \left\{ (\xi^2 - 1) \frac{dL}{d\xi} \right\} + \left\{ A + 2\hat{R}\xi - p^2 \xi^2 \right\} L = 0 \quad (5)$$

$$p^2 \equiv -\frac{m_e R^2 E}{2\hbar^2}, \quad 2\hat{R} \equiv 2R \frac{m_e e^2}{\hbar^2} \quad (6)$$

Para resolver (IV-3.4) seguiremos el método de E.A. HYLLERAAS [Z. Physik 71, 739 (1931)]

$$M(\eta) = \sum_{L=0}^{\infty} c_L P_L(\eta) \quad (4)$$

donde los  $P_L(\eta)$  son los polinomios de Legendre. Entonces

$$\sum_{L=0}^{\infty} c_L \left\{ (1-\eta^2) \frac{d^2 P_L(\eta)}{d\eta^2} - 2\eta \frac{d P_L(\eta)}{d\eta} \right\} - A \sum_{L=0}^{\infty} c_L P_L(\eta) + p^2 \sum_{L=0}^{\infty} c_L^2 P_L(\eta) = 0 \quad (12)$$

Usando

$$(1-\eta^2) \frac{d^2 P_L(\eta)}{d\eta^2} - 2\eta \frac{d P_L(\eta)}{d\eta} + L(L+1) P_L(\eta) = 0 \quad (3)$$

$$(2L+1) \eta P_L(\eta) = (L+1) P_{L+1}(\eta) + L P_{L-1}(\eta) \quad (4)$$

se obtiene

$$\begin{aligned} & - \sum_{L=0}^{\infty} c_L L(L+1) P_L(\eta) - A \sum_{L=0}^{\infty} c_L P_L(\eta) + p^2 \sum_{L=0}^{\infty} c_L \left\{ \frac{(L+1)(L+2)}{(2L+1)(2L+3)} P_{L+2}(\eta) \right. \\ & \left. + \frac{(L+1)^2}{(2L+1)(2L+3)} P_L(\eta) + \frac{L^2}{(2L+1)(2L-1)} P_L(\eta) + \frac{L(L-1)}{(2L+1)(2L-1)} P_{L-2}(\eta) \right\} = 0 \Rightarrow \\ & \frac{(L-1)L}{(2L-3)(2L-1)} p^2 c_{L-2} + \left\{ -A - L(L+1) + \left[ \frac{(L+1)^2}{(2L+1)(2L+3)} + \frac{L^2}{(2L-1)(2L+1)} \right] p^2 \right\} c_L \\ & + \frac{(L+1)(L+2)}{(2L+3)(2L+5)} p^2 c_{L+2} = 0, \quad L=0, 1, 2, \dots \end{aligned} \quad (5)$$

Esta relación de recurrencia se puede considerar como un conjunto infinito de ecuaciones lineales homogéneas, en el que el determinante de la matriz de los coeficientes debe ser nulo. Este determinante contiene  $p^2$  y  $A$  y permite calcular  $A$  como función de  $p^2$ . En el estado fundamental basta tomar  $L=0, 2, 4, \dots$ . Como el determinante tiene un número infinito de términos lo limitaremos a las  $D$  primeras filas y columnas. Con  $D=10$  obtenemos la función  $A(p)$  con una precisión de nueve cifras. Hecho esto sustituimos  $A(p)$  en (IV-3.5) lo cual nos permitirá calcular  $R=R(R)$ . Para ello seguiremos el método de G. JAFFE [Z. Physik 87, 535 (1935)]. Sustituimos

$$L(\xi) = (\xi+i)^{\sigma} \gamma(v) e^{-p\xi}$$

(6)

$$\sigma = \frac{R}{p} - 1 \quad v = \frac{\xi-1}{\xi+1}$$

Entonces

$$\frac{dL(\xi)}{d\xi} = \sigma (\xi+1)^{\sigma-1} y(v) e^{-p\xi} + 2 (\xi+1)^{\sigma-2} \frac{dy(v)}{dv} e^{-p\xi} - p (\xi+1)^\sigma y(v) e^{-p\xi}$$

$$\begin{aligned} \frac{d^2 L(\xi)}{d\xi^2} &= \sigma(\sigma-1) (\xi+1)^{\sigma-2} y(v) e^{-p\xi} + 4(\sigma-1) (\xi+1)^{\sigma-3} \frac{dy(v)}{dv} e^{-p\xi} - 2p\sigma (\xi+1)^{\sigma-1} y e^{-p\xi} \\ &\quad + 4 (\xi+1)^{\sigma-4} \frac{d^2 y(v)}{dv^2} e^{-p\xi} - 4p (\xi+1)^{\sigma-2} \frac{dy(v)}{dv} e^{-p\xi} + p^2 (\xi+1)^\sigma y(v) e^{-p\xi} \end{aligned}$$

$$\sigma(\sigma-1) (\xi-1) (\xi+1)^{\sigma-1} y' + 4(\sigma-1) (\xi-1) (\xi+1)^{\sigma-2} y'' - 2p\sigma (\xi-1) (\xi+1)^\sigma y$$

$$+ 4 (\xi-1) (\xi+1)^{\sigma-3} y''' - 4p (\xi-1) (\xi+1)^{\sigma-1} y'' + p^2 (\xi-1) (\xi+1)^{\sigma+1} y$$

$$+ 2\sigma \xi (\xi+1)^{\sigma-1} y + 4\xi (\xi+1)^{\sigma-2} y' - 2p\xi (\xi+1)^\sigma y + A (\xi+1)^\sigma y$$

$$+ 2\hat{R} \xi (\xi+1)^\sigma y - p^2 \xi^2 (\xi+1)^\sigma y = 0$$

$$\begin{aligned} 4 \frac{\xi-1}{\xi+1} y'' + \left\{ 4(\sigma-1)(\xi-1) - 4p(\xi-1)(\xi+1) + 4\xi \right\} y' + \left\{ -2p\sigma(\xi-1)(\xi+1)^2 \right. \\ \left. + \sigma(\sigma-1)(\xi-1)(\xi+1) + p^2(\xi-1)(\xi+1)^3 + 2\sigma\xi(\xi+1) - 2p\xi(\xi+1)^2 + A(\xi+1)^2 \right. \\ \left. + 2\hat{R}\xi(\xi+1)^2 - p^2\xi^2(\xi+1)^2 \right\} y = 0 \end{aligned}$$

$$4v y'' + \frac{1}{(1-v)^2} [8\sigma v(1-v) - 16pv + 4(v^2 - 2v + 1)] y' + \frac{1}{(1-v)^4} [-4p^2(1-v)^2]$$

$$+ 4A(1-v)^2 + 8p\sigma(1-v)^2 + 4\sigma(\sigma-1)v(1-v)^2 + 4\sigma(1+v)(1-v)^2] y = 0$$

$$v(1-v)^2 y'' + [2\sigma v(1-v) - 4pv + (1-v)^2] y' + [-p^2 + A + 2p\sigma$$

$$+ \sigma(\sigma-1)v + \sigma(1+v)] y = 0$$

61

Tomenmos ahora

$$y = \sum_{m=0}^{\infty} g_m v^m$$

(2)

entonces

$$\begin{aligned} \sum_{m=0}^{\infty} g_m m(m-1)v^{m-2} [v^3 - 2v^2 + v] + \sum_{m=0}^{\infty} g_m m v^{m-1} [(1-2\sigma)v^2 + (2\sigma - 4p - 2)v + 1] \\ + \sum_{m=0}^{\infty} g_m v^m [-p^2 + A + 2p\sigma + \sigma + \sigma^2 v] = 0 \end{aligned}$$

para los coef.

$$[m-1-\sigma]^2 g_{m-1} - [2m^2 + (4p-2\sigma)m - A + p^2 - (2p+1)\sigma] g_m + (m+1)^2 g_{m+1} = 0$$

Ahora igualaremos a cero el determinante de los análogos de los coeficientes, contando como antos el número de ecuaciones a D. Con D=10 se obtienen resultados hasta nueve cifras significativas.

Para  $R \rightarrow 0$  el sistema se puede considerar como un ion  $\text{He}^+$  perturbado;

H. BETHE (Handbuch der Physik 24, §27 (1933)) ha calculado que  $a \equiv \hbar/m(c)$

$$E \underset{R \rightarrow 0}{\sim} -m_e(\alpha c)^2 \left\{ 2 - \frac{8}{3} \left( \frac{R}{a} \right)^2 + \dots \right\} \quad (11)$$

Para  $R \rightarrow \infty$  el problema y se obtiene

$$E \underset{R \rightarrow \infty}{\sim} -m_e(\alpha c)^2 \left\{ \frac{1}{2} + \left( \frac{a}{R} \right) + \frac{9}{4} \left( \frac{a}{R} \right)^4 + \dots \right\} \quad (12)$$

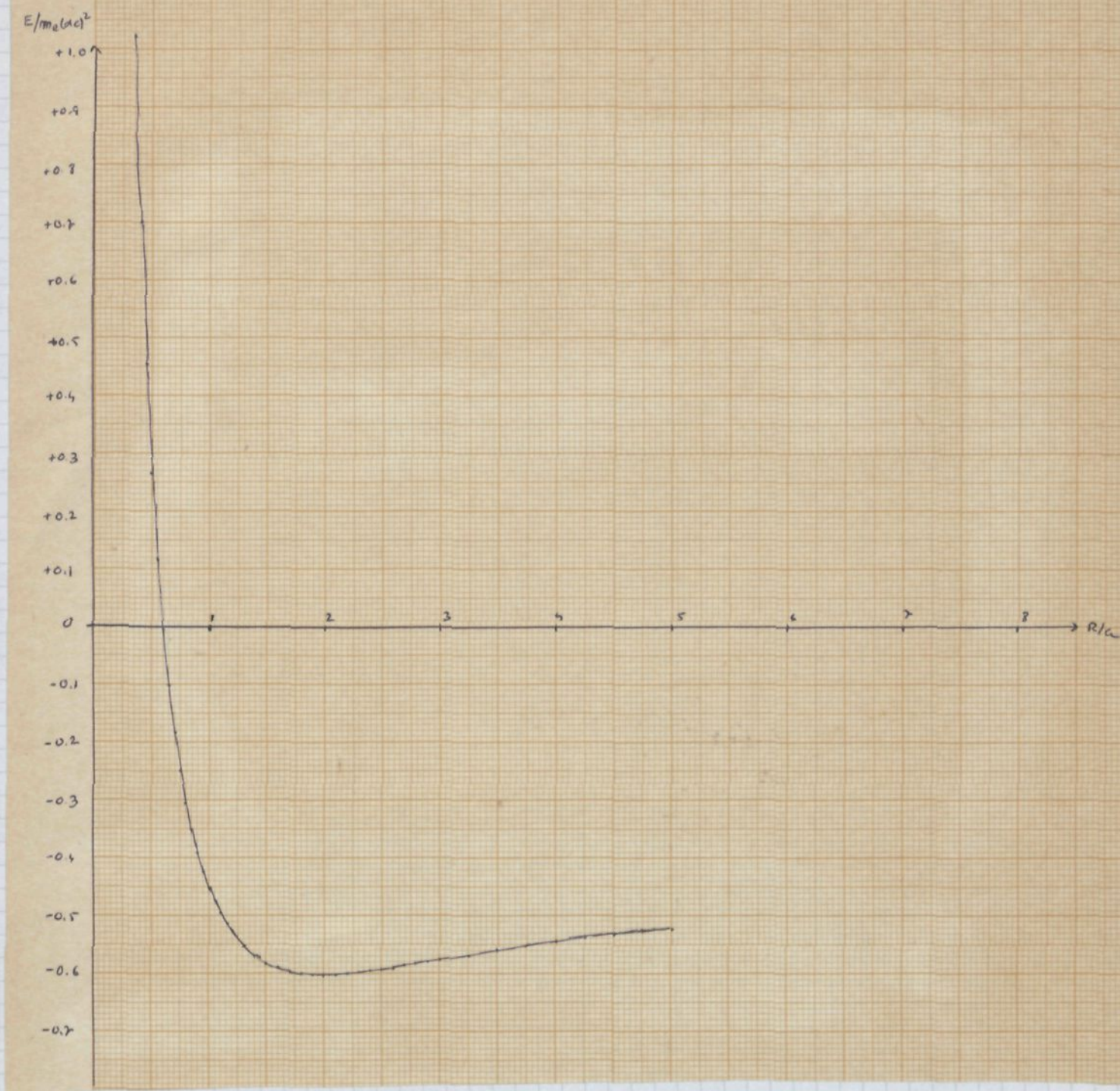
Al considerando la repulsión nuclear se obtiene

$$E \underset{R \rightarrow 0}{\sim} -m_e(\alpha c)^2 \left\{ -\frac{a}{R} + 2 - \frac{8}{3} \left( \frac{R}{a} \right)^2 + \dots \right\}$$

$$E \underset{R \rightarrow \infty}{\sim} -m_e(\alpha c)^2 \left\{ \frac{1}{2} + \frac{9}{4} \left( \frac{a}{R} \right)^4 + \dots \right\}$$

Numericamente se obtienen los resultados dados en la figura adjunta cerca del mínimo. En la zona del máximo

$R/a$	$E / m_e(\alpha c)^2$
1.75	-0.598 716 0
1.80	-0.600 253 6
1.85	-0.601 366 7
1.90	-0.602 105 8
1.95	-0.602 515 3
2.00	-0.602 634 2
2.05	-0.602 497 2
2.10	-0.602 134 9
2.15	-0.601 574 6
2.20	-0.600 839 6
2.25	-0.599 952 1



En la zona del minimo

$$\begin{aligned} E/m_e(c)^2 &= -0.6021058 - 0.0004095 \mu + \frac{1}{2!} 0.0002906 \mu(\mu-1) \\ &\quad - \frac{1}{3!} 0.0000347 \mu(\mu-1)(\mu-2) + \frac{1}{4!} 0.0000051 \mu(\mu-1)(\mu-2)(\mu-3) \end{aligned}$$

$$\mu = \frac{R/a - 1.90}{0.05}$$

$$\begin{aligned} \frac{1}{d(\mu)} E/m_e(c)^2 &= -0.0098100 + 0.002906(2\mu-1) - 0.000115667(3\mu^2 - 6\mu + 2) \\ &\quad + 0.00000347(4\mu^3 - 18\mu^2 + 22\mu - 6) = \\ &= 0.000013668 \mu^3 - 0.000408502 \mu^2 + 0.004581176 \mu - 0.012967836 \end{aligned}$$

El mínimo se encuentra en

$$\frac{R}{a} = 2.013234$$

$$E/\text{mold}^2 = -0.6026216$$

Las curvas  $E(R)$  para los distintos niveles electrónicos se calculan de forma similar. Cada estado del  $H_2^+$  tiene un valor bien definido de  $m$ . Por supuesto, como este es un problema tridimensional, la especificación de  $m$  no determina el estado; debemos especificar dos números cuánticos adicionales asociados con las soluciones de (IV-2.2) y (IV-2.3). Estos números cuánticos dan el número de nodos en  $L(5)$  y  $M(7)$ .

Notemos que en las ecuaciones (IV-2.2) y (IV-2.3)  $m$  aparece en la forma  $m^2$ ; por tanto los niveles energéticos electrónicos dependen solo de  $|m|$ . Cada nivel electrónico con  $m \neq 0$  es doblemente degenerado, correspondiendo a los valores  $+|m|$  y  $-|m|$ . La notación standard para moléculas atómicas se llama  $\lambda$  al valor absoluto de  $m$ :

$$\lambda = |m|$$

(2)

De forma análoga a la notación  $s, p, d, f \dots$  para especificar los niveles del átomo de hidrógeno con  $l=0, 1, 2, 3, \dots$  aquí se usa

$$\lambda = 0 \quad 1 \quad 2 \quad 3 \quad 4$$

(3)

$$\text{simbolo} \quad \sigma \quad \pi \quad \delta \quad \psi \quad \gamma$$

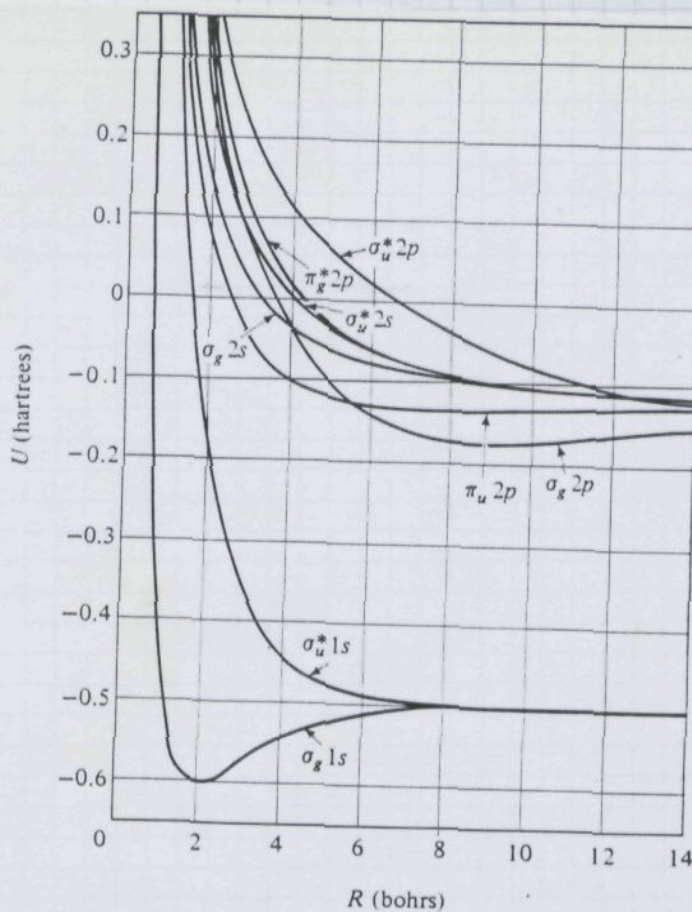
y por tanto el estado fundamental es un estado  $\sigma$ .

Además de clasificar los estados del  $H_2^+$  mediante su valor de  $\lambda$ , podemos también clasificarse usando su paridad. La paridad cambia  $\tau_a \rightarrow \tau_b \quad \phi \rightarrow \phi + \pi$  y por tanto  $[H, P] = 0$ , donde  $P$  es el operador paridad. Se suele utilizar la notación  $g$  ( $\equiv$  gerade) y  $u$  ( $\equiv$  ungerade) para las funciones de ondas pares e impares, respectivamente.

También clasificamos los niveles electrónicos del  $H_2^+$  de acuerdo con el estado del átomo de hidrógeno que se obtiene por dissociación, y se escribe el simbolo del estado a continuación de la  $\lambda$ . Los dos niveles más bajos se dissocian el átomo de hidrógeno  $1s$ .

Obviamente la inclusión del spin del electron dobla la degeneración de cada uno de los niveles.

En la figura adjunta se da  $E(R)$  para los niveles más bajos.



**Figure 13.4** Potential-energy curves for several  $\text{H}_2^+$  electronic states. [Curves taken from J. C. Slater, Quantum Theory of Molecules and Solids, vol. I, McGraw-Hill, New York, 1963. Used by permission.]

### (ii) Método de los Orbitales Molculares

Consideremos como será la función de onda del  $\text{H}_2^+$  para grandes valores de la distancia internuclear  $R$ . Cuando el electrón está cerca del núcleo  $a$ , el núcleo  $b$  se encuentra tan lejos que la función de onda esencialmente la de un atomo de hidrógeno con el núcleo situado en  $a$ . Similarmente podemos considerar intercambiando  $a$  por  $b$ . Estas consideraciones sugieren que intentaremos describir el sistema  $\text{H}_2^+$  en el estado fundamental mediante una familia de funciones de prueba:

$$\psi = c_1 \frac{1}{\pi^{1/2} a^{3/2}} e^{-r_1/a} + c_2 \frac{1}{\pi^{1/2} a^{3/2}} e^{-r_2/a} \quad (1)$$

donde  $c_1$  y  $c_2$  son los parámetros variacionales. Antes de estudiar el procedimiento variacional pasemos a modificar (1). Para  $R \rightarrow \infty$  el  $\text{H}_2^+$  se convierte en  $\text{He}^+$  y su función de onda es

$$\psi' = \frac{2^{3/2}}{\pi^{1/2} a^{3/2}} e^{-2r/a} \quad (2)$$

Como para  $R \rightarrow 0$  se tiene que  $r_1 \rightarrow r_2 = r$ , tenemos que (1) no tiene el límite correcto. Entonces

tomanmos

$$\psi(\vec{r}_a, \vec{r}_b) = C_1 \psi(\vec{r}_a) + C_2 \psi(\vec{r}_b)$$

$$\psi(\vec{r}) = \frac{k^{3/2}}{\pi^{1/2} a^{3/2}} e^{-k r/a}$$

(6)

donde  $R = k(R)$  juega el papel de una carga efectiva tal que, en el sentido fundamental,  $k(0) = 2$  y  $k(\infty) = 1$ .

La ecuación secular a resolver es

$$\begin{vmatrix} H_{aa} - WS_{aa} & H_{ba} - WS_{ba} \\ H_{ab} - WS_{ab} & H_{bb} - WS_{bb} \end{vmatrix} = 0 \quad (7)$$

donde

$$H_{ij} = \int d\tau \psi^*(\vec{r}_i) H \psi(\vec{r}_j), \quad S_{ij} = \int d\tau \psi^*(\vec{r}_i) \psi(\vec{r}_j) \quad (8)$$

Entendemos

$$H_{ii} = H_{jj}, \quad S_{ii} = S_{jj}, \quad S_{ii} = 1, \quad i=1,2 \quad (9)$$

La  $H_{ii}$  se llama integral de Coulomb y la  $H_{ij}$  ( $i \neq j$ ) integral de repulsión o de enlace. Procedemos al cálculo de dichas integrales.

$$\begin{aligned} S_{ab} &= \int d\tau \psi^*(\vec{r}_a) \psi(\vec{r}_b) = \int_0^{2\pi} d\phi \int_1^\infty d\tilde{r} \int_{-1}^{+1} dy \frac{1}{8} R^3 (\tilde{r}^2 - y^2) \frac{k^3}{\pi a^3} e^{-kR\tilde{r}/a} \\ &= 2\pi \frac{1}{8} R^3 \frac{k^3}{\pi a^3} \int_{-1}^{+1} dy \int_1^\infty d\tilde{r} (\tilde{r}^2 - y^2) e^{-kR\tilde{r}/a} \\ &\approx \frac{R^3 k^3}{4 a^3} \int_{-1}^{+1} dy \left\{ e^{-kR\tilde{r}/a} \left( -\frac{a}{kR} \tilde{r}^2 - 2 \frac{a^2}{k^2 R^2} \tilde{r} - 2 \frac{a^3}{k^3 R^3} \right) + y^2 \frac{a}{kR} e^{-kR\tilde{r}/a} \right\}_{-1}^{+1} \\ &= \frac{R^3 k^3}{4 a^3} e^{-kR/a} \int_{-1}^{+1} \left\{ \frac{a^3}{k^3 R^3} \left( 2 + 2 \frac{kR}{a} + \frac{k^2 R^2}{a^2} \right) + y^2 \frac{a}{kR} \right\} \\ S_{ab} &= e^{-kR/a} \left\{ 1 + \frac{kR}{a} + \frac{1}{3} \frac{k^2 R^2}{a^2} \right\} \quad (10) \end{aligned}$$

Procedemos con la siguiente integral. Sumando y restando  $ke^2/r_a$  al Hamiltoniano (IV.1-1)

$$H_{aa} = \int d\tau \psi^*(\vec{r}_a) H \psi(\vec{r}_a) = \int d\tau \psi^*(\vec{r}_a) \left\{ -\frac{\hbar^2}{2m_e} \Delta - \frac{ke^2}{r_a} + \frac{(k-1)e^2}{r_a} - \frac{e^2}{r_b} \right\} \psi(\vec{r}_a)$$

$$= -\frac{1}{2} m_e (\kappa^2 c)^2 + (k-1) e^2 \int dr \frac{1}{r_a} \psi^*(r_a) \psi(r_a) - e^2 \int dr \frac{1}{r_b} \psi^*(r_b) \psi(r_b)$$

Entonces

$$\int dr \frac{1}{r_a} \psi^*(r_a) \psi(r_a) = \frac{\hbar^3}{m a^3} \int_0^{2\pi} d\phi \int_{-1}^1 dy \int_0^\infty d\zeta \frac{-2\kappa r/a}{e^{-2\kappa r/a}} =$$

$$= \frac{\hbar^3}{m a^3} 2\pi 2 \left(\frac{a}{2\hbar}\right)^2 = \frac{\hbar}{a}$$

$$\int dr \frac{1}{r_b} \psi^*(r_b) \psi(r_b) = \int_0^{2\pi} d\phi \int_{-1}^1 dy \int_{-\infty}^\infty d\zeta \frac{1}{8} \hbar^3 (\zeta^2 - y^2) \frac{\hbar^3}{m a^3} e^{-\hbar R \zeta/a} \frac{2}{R} \frac{1}{\zeta - y} e^{-\hbar R y/a}$$

$$= \frac{\hbar^2 \hbar^3}{2 a^3} \int_{-1}^1 dy \int_{-\infty}^\infty d\zeta (\zeta + y) e^{-\hbar R \zeta/a} e^{-\hbar R y/a}$$

$$= \frac{\hbar^2 \hbar^3}{2 a^3} \int_{-1}^1 dy \left( e^{-\hbar R \zeta/a} \right) \left( -\frac{a}{\hbar R} \zeta - \frac{a^2}{\hbar^2 R^2} - y \frac{a}{\hbar R} \right)_\phi^\infty e^{-\hbar R y/a}$$

$$= \frac{\hbar^2 \hbar^3}{2 a^3} e^{-\hbar R/a} \int_{-1}^1 dy \left( \frac{a}{\hbar R} + \frac{a^2}{\hbar^2 R^2} + \frac{a}{\hbar R} y \right) e^{-\hbar R y/a}$$

$$= \frac{1}{R} - \left( \frac{1}{R} + \frac{\hbar}{a} \right) e^{-2\hbar R/a}$$

y de igual

$$H_{aa} = m_e (\kappa c)^2 \left\{ \frac{1}{2} \hbar^2 - \hbar - \frac{a}{R} + \left( \hbar + \frac{a}{R} \right) e^{-2\hbar R/a} \right\} \quad (1)$$

y de forma análoga

$$H_{bb} = m_e (\kappa c)^2 \left\{ -\frac{1}{2} \hbar^2 S_{ab} + \hbar (\hbar - 2) \left( 1 + \hbar \frac{R}{a} \right) e^{-\hbar R/a} \right\} \quad (2)$$

Entonces la ecuación se reduce a

$$\begin{vmatrix} H_{aa} - W & H_{ab} - S_{ab} W \\ H_{ab} - S_{ab} W & H_{bb} - W \end{vmatrix} = 0 \Rightarrow H_{aa} - W = \pm (H_{ab} - S_{ab} W)$$

$$W_1 = \frac{H_{aa} + H_{bb}}{1 + S_{ab}}$$

$$\psi = c_1 (\psi(r_a) + \psi(r_b))$$

(2)

$$W_2 = \frac{H_{aa} - H_{bb}}{1 - S_{ab}}$$

$$\psi = c'_2 (\psi(r_a) - \psi(r_b))$$

y normalizando

$$W_1 = \frac{H_{aa} + H_{ab}}{1 + S_{ab}}$$

$$\Psi_1 = \frac{1}{[2(1 + S_{ab})]^{1/2}} [ \Psi(r_a) + \Psi(r_b) ]$$

(1)

$$W_2 = \frac{H_{aa} - H_{ab}}{1 - S_{ab}}$$

$$\Psi_2 = \frac{1}{[2(1 - S_{ab})]^{1/2}} [ \Psi(r_a) - \Psi(r_b) ]$$

Teniendo en cuenta las integrales anteriores obtenemos

$$W_{1,2} = m_e (\alpha c)^2 \left\{ -\frac{1}{2} k^2 + \right. \\ \left. + \frac{k^2 - k - (a/R) + (a/R)(1 + kR/a)e^{-2kR/a} \pm k(k-2)(1 + kR/a)e^{-kR/a}}{1 \pm (1 + kR/a + \frac{1}{3}(kR/a)^2)} e^{-kR/a} \right\}$$

(2)

que son cotas superiores para las energías del estado fundamental y primer excitado.

Introduzcamos

$$t \equiv \frac{kR}{a}$$

(3)

entonces

$$W_{1,2} = m_e (\alpha c)^2 \left\{ k^2 F_{1,2}(t) + k G_{1,2}(t) \right\}$$

$$F_{1,2}(t) = -\frac{1}{2} + \frac{1}{1 \pm (1+t + t^2/3)e^{-t}} [ 1 \pm (1+t)e^{-t} ]$$

$$G_{1,2}(t) = \frac{1}{1 \pm (1+t + t^2/3)e^{-t}} [ 1 - \frac{1}{t} + \frac{1}{t}(1+t)e^{-2t} \mp 2(1+t)e^{-t} ]$$

Ahora se trata de determinar

$$\frac{\partial W_1}{\partial k} = 0, \quad \frac{\partial W_2}{\partial k} = 0$$

(4)

lo cual nos permite encontrar  $k = k(R)$  en cada caso, entonces

$$k = -\frac{G(t) + t G'(t)}{2F(t) + t F'(t)}$$

(6)

Esta ecuación nos da un valor de  $k$  para un  $t$  dado y entonces

$R/a = t/k$  nos da el valor de  $R/a$  correspondiente al  $k$  dado.

El estudio de estas ecuaciones se puede hallar en C. A. COULSON [Trans.

Faraday Soc. 33, 1479 (1937)]. Los resultados son que para el estado

$\psi(\vec{r}_a) + \psi(\vec{r}_b)$ , el parámetro  $R$  varía monotonamente de 1 hasta 2 cuando  $R$  decrece de  $\infty$  a 0; para  $\psi(\vec{r}_a) - \psi(\vec{r}_b)$ ,  $R$  decrece casi monotonamente de 1.0 hasta 0.4 cuando  $R$  decrece de  $\infty$  a 0. Como siempre  $0 < R \leq 2$ , entonces

$$S_{ab} > 0, \quad H_{ab} < 0 \quad (1)$$

De (IV-12.1) concluimos que  $W_1$  corresponde al estado fundamental  $^1S$  del  $H_2^+$ .

Podemos preguntarnos: ¿por qué el parámetro variacional  $k$  para el estado  $^1S_u^* 1s$  es ahora 0.4 cuando  $R=0$ ? La contestación es que este estado del  $H_2^+$  no va al estado fundamental  $1s$  del  $H_2^+$  cuando  $R \neq 0$ . El estado  $^1S_u^* 1s$  tiene paridad negativa y  $m=0$  y carece completamente con el más bajo del  $H_2^+$  de estos números cuánticos que es el  $(2p_z)$ .

Haciendo encontrado  $dE = k(R)$  para cada  $n, l, m$ , podemos calcular las energías usando (IV-12.2) y de aquí  $E(R)$  satisface  $e^2/R = m(\alpha c)^2 \frac{a}{R}$ . Lo obtenemos para el estado fundamental,

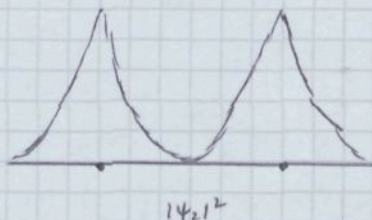
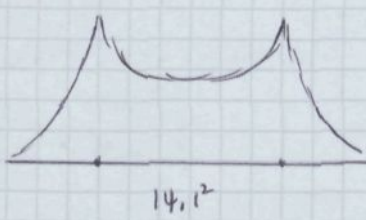
$$R = 2.02 \text{ a}, \quad k = 1.24, \quad E = -m(\alpha c)^2 0.5861 \quad (2)$$

Si tuviéramos tomado  $k=1$  tendríramos  $R=2.50 \text{ a}$  y  $E=-m(\alpha c)^2 0.5647$ .

La probabilidad de hallar el electrón es

$$|\psi_1|^2 = \frac{1}{2(1-S_{ab})} \left\{ 1 + (\vec{r}_a)^2 + 1 + (\vec{r}_b)^2 \pm 2\psi(\vec{r}_a)\psi(\vec{r}_b) \right\} \quad (3)$$

y se tiene



(b)

En el caso  $^1S_u$  tenemos una mayor probabilidad de encontrar el electrón entre los dos nucleos comparado con

$$|\psi|^2 = \frac{1}{2} \left\{ |\psi(\vec{r}_a)|^2 + |\psi(\vec{r}_b)|^2 \right\} \quad (5)$$

y se dice que el orbital es enlazante. En el caso  $^1S_u^*$  sucede lo contrario, se dice que el orbital es anti-enlazante. Esta discusión parece atribuir al enlace del  $H_2^+$  principalmente a la disminución de la energía potencial electrónica que resulta de que el electrón esté compartido entre los dos nucleos y que no se enlace a uno

solo de ellos, calculos de M. J. FEINBERG y R. RUEDENBERG [J. Chem. Phys. 53, 1485 (1971)] muestran que la magnitud de la disminución de la energía potencial electrónica como consecuencia de que este sea compartido entre los dos núcleos es del mismo orden de magnitud que la energía de repulsión nuclear  $e^2/R$ , y por tanto es insuficiente para explicar que exista enlace. Parece que hay otros dos efectos que también contribuyen a la existencia del enlace. El aumento de  $k$  desde 1 en  $R=0$  hasta 1.24 en el  $R$  de equilibrio hace que la carga tienda a aumentarse cerca de los núcleos (así como también en la región internuclear) y esto hace disminuir también la energía electrónica. Mas aun, la acumulación de carga en la región internuclear hace que  $\langle \Psi | \hat{r} | \Psi \rangle$  sea nula en el punto medio entre los dos núcleos y pequeña alrededor de este punto, esto implica que  $\langle T_2 \rangle$  es menor en la molécula que en el átomo C. W. WILSON y W. A. GODDARD [Chem. Phys. Letters 5, 45 (1970); Theor. Chém. Acta 26, 195 (1972)], W. A. GODDARD y C. W. WILSON [Theor. Chém. Acta 26, 211 (1972)]. Se deben hacer nuevos cálculos antes de poder afirmar cuál es exactamente el origen del enlace covalente.

La reflexión de las coordenadas electrónicas en el plano de simetría  $O_h$  perpendicular al eje molecular y equidistante de  $a$  y  $b$  convierte  $r_a \leftrightarrow r_b$  y  $\psi_a$ . El operador rotativo  $O_{0h}$  commuta con  $H$  y por tanto los estados propios se pueden tomar como estados propios de  $O_{0h}$ . Como  $O_{0h}^2 = I$  sus valores propios son  $\pm 1$ . Los estados  $+1$  ( $\psi_a$ ) se indican sin (con) asterilla, como los orbitales con valor propio  $-1$  tienen un plano nodal entre los núcleos son antienlazantes.

En lugar de los dibujos de la página anterior se pueden ver los diagramas de contorno de la figura siguiente.

¿Cómo mejoran (IV-10.0)? Teniendo en cuenta que  $m=0$  es de esperar que una mejora sea usar

$$\Psi = [\psi_{1s}(\bar{r}_a) + c \psi_{2p_z}(\bar{r}_a)] + [\psi_{1s}(\bar{r}_b) + c \psi_{2p_z}(\bar{r}_b)] \quad (1)$$

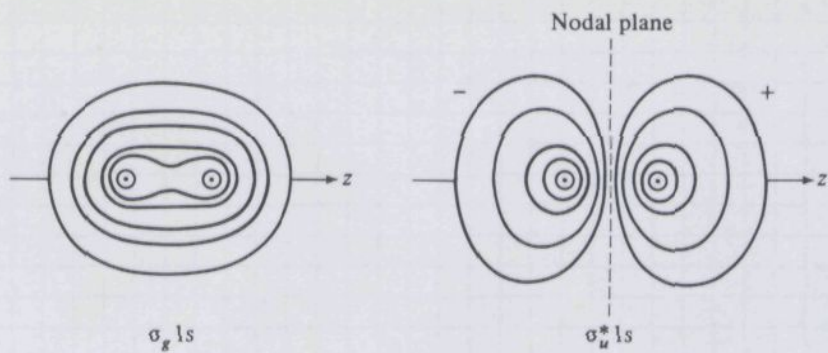
$$\psi_{1s}(\bar{r}) = \frac{\alpha^{3/2}}{\pi^{1/2} a^{3/2}} e^{-\alpha r/a} \quad \psi_{2p_z}(\bar{r}) = \frac{5^{5/2}}{4(2\pi)^{1/2} a^{3/2}} \frac{r}{a} e^{-3r/2a} \cos \theta$$

y tratando  $\alpha$  y  $\beta$  como parámetros variacionales. Así se obtiene J. WEINHOLD [J. Chém. Phys. 55, 530 (1971)]

$$\alpha = 1.246, \beta = 2.965, c = 0.138, R = 2.01 \text{ \AA}$$

(2)

$$E = -mc^2/\beta^2 = 0.6003$$



**Figure 13.8** Contours of constant  $|\psi|$  for the  $\sigma_g$  1s and  $\sigma_u^*$  1s MO's. The three-dimensional contour surfaces are generated by rotating these figures about the z axis. Note the resemblance of the anti-bonding MO contours to those of a  $2p_z$  AO.

### iii) Método de los orbitales moleculares: estados excitados

Antes hemos usado las funciones aproximadas (IV-12.1) para describir los dos estados electrónicos más bajos del  $H_2^+$ . Procederemos ahora a estudiar los estados excitados; las funciones de onda así obtenida nos servirán para discutir muchas moléculas atómicas. Para obtener orbitales moleculares (MO) para estados excitados utilizaremos orbitales atómicos (AO) en la combinación lineal. Para obtener las funciones de onda aproximadas para los veis estados más bajos del tipo  $\sigma$  para el  $H_2^+$  usaremos

$$\Psi = c_1 \psi_{1s}(\bar{r}_a) + c_2 \psi_{2s}(\bar{r}_a) + c_3 \psi_{2p_0}(\bar{r}_a) + c_4 \psi_{1s}(\bar{r}_b) + c_5 \psi_{2s}(\bar{r}_b) + c_6 \psi_{2p_0}(\bar{r}_b) \quad (1)$$

Como hemos discutido antes los coeficientes  $c_{i+3} = \pm c_i$  y por tanto

$$\Psi = \{ c_1 \psi_{1s}(\bar{r}_a) + c_2 \psi_{2s}(\bar{r}_a) + c_3 \psi_{2p_0}(\bar{r}_a) \} \pm \{ c_1 \psi_{1s}(\bar{r}_b) + c_2 \psi_{2s}(\bar{r}_b) + c_3 \psi_{2p_0}(\bar{r}_b) \} \quad (2)$$

donde el signo superior (ímpar) es para los estados  $g$  ( $u$ ).

Para los estados electrónicos que se encuentran en un círculo de hidrógeno 1s, esperamos que  $c_1$  sea mucho mayor que  $c_2$  y  $c_3$ , ya que  $c_2$  y  $c_3$  cubren una parte en el límite  $R \rightarrow \infty$ . En (IV-14.1) vemos que esto es así pues  $c \approx 1/7$ . Por tanto en primera aproximación podemos escribir para estos estados

$$\Psi = c_1 [ \psi_{1s}(\bar{r}_a) \pm \psi_{1s}(\bar{r}_b) ] \quad (3)$$

Usando el mismo argumento para los dos estados que se encuentran a un círculo de hidrógeno en el estado 2s tenemos como función de onda aproximada

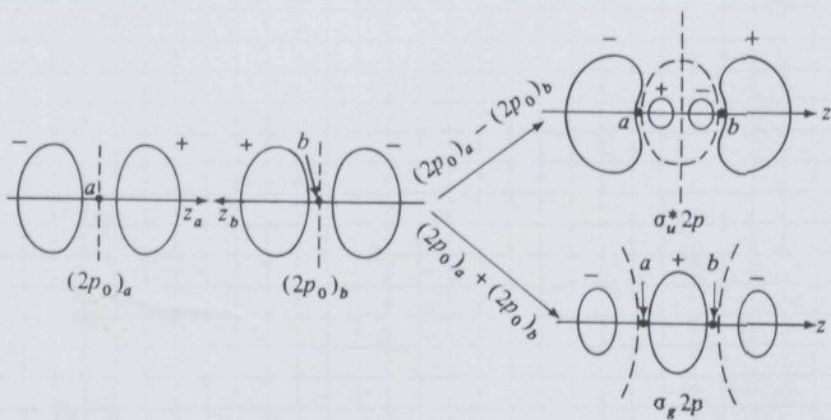
$$\Psi = c_2 [ \psi_{2s}(\bar{r}_a) \pm \psi_{2s}(\bar{r}_b) ] \quad (4)$$

Esta función es solo una aproximación a la que se obtendría usando cuantocromáticamente (IV-15.2). Desde el punto de vista de teoría de perturbaciones (BV-15.3) y (IV-15.4) son las funciones correctas de orden cero.

En general tenemos dos estados  $H_2^+$  correlacionados con cada estado  $f$  de los átomos separados, y una gruesa aproximación a las funciones de onda de estos dos estados serían  $\Psi_f(\vec{r}_a) \pm \Psi_f(\vec{r}_b)$  donde  $\Psi_f(r)$  es la función hidrogenoide correspondiente. Las funciones (IV-15.3) dan los estados  $\sigma_g 1s$  y  $\sigma_u^* 1s$ . Similmente los (IV-15.4) dan los MO  $\sigma_g 2s$  y  $\sigma_u^* 2s$ . A continuación tenemos

$$\Psi = c_3 \{ \Psi_{2p_0}(\vec{r}_a) \pm \Psi_{2p_0}(\vec{r}_b) \} = c_3 \{ \Psi_{2p_z}(\vec{r}_a) \pm \Psi_{2p_z}(\vec{r}_b) \} \quad (1)$$

que dan origen a  $\sigma_g 2p$  y  $\sigma_u^* 2p$ , cuyos orbitales están dados en la figura siguiente



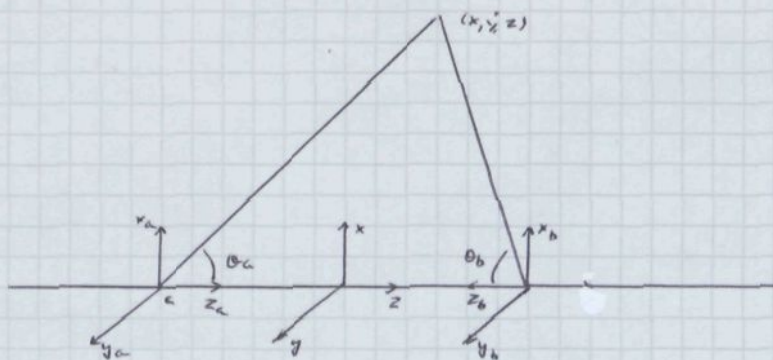
**Figure 13.10** Formation of  $\sigma_g 2p$  and  $\sigma_u^* 2p$  MO's from  $2p_z$  AO's. The dashed lines indicate nodal surfaces. The signs on the contours give the sign of the wave function. The contours are symmetric about the  $z$  axis. (Because of substantial  $2s-2p$  hybridization, these contours are not accurate representations of true MO shapes; for accurate contours see the reference to Fig. 13.19.)

(La discusión anterior es supersimplificada. Para el átomo de hidrógeno, los AO  $2s$  y  $2p$  son degenerados, y por tanto se puede esperar que los MO correspondientes a orden zero para el  $H_2^+$  sea los estados  $\sigma_g 2s$ ,  $\sigma_u^* 2s$ ,  $\sigma_g 2p$  y  $\sigma_u^* 2p$  sean mezclas de los AO  $2s$  y  $2p$  y que no sean solo  $2s$  o  $2p$ . Para moléculas que se discuten en átomos con muchos electrones los AO de los átomos separados  $2s$  y  $2p$  están degenerados en energías, pero si están próximos y por tanto es de esperar una mezcla considerable  $2s$  en los  $\sigma 2p$  y  $2p$  en los  $\sigma 2s$ ).

Para los otros dos orbitales atómicos  $2p$  podemos o bien usar las funciones complejas  $\Psi_{2p_z}$ , o las reales  $\Psi_{2p_x}$  y  $\Psi_{2p_y}$ . Si queremos que los MO sean funciones propias de  $L_z$  entonces elegiremos  $\Psi_{2p_{\pm}}$ . Tenemos entonces los cuatro MO

$$\Psi_{2p_m}(r_a) \pm \Psi_{2p_m}(r_b) \quad m = \pm 1 \quad (2)$$

El sistema de coordenadas para la molécula homonuclear diatómica es



y por tanto como  $\theta_a = \theta_b \equiv \phi$

$$\psi_{2p_{z1}}(r_a) + \psi_{2p_{z1}}(r_b) = \frac{1}{8\pi^{1/2}a^{3/2}} \left\{ \frac{r_a}{a} e^{-r_a/2a} \sin \theta_a + \frac{r_b}{2} e^{-r_b/2a} \sin \theta_b \right\} e^{i\phi} \quad (1)$$

Como  $\lambda = lml = 1$  este es un orbital  $\pi$ . La operación de paridad implica

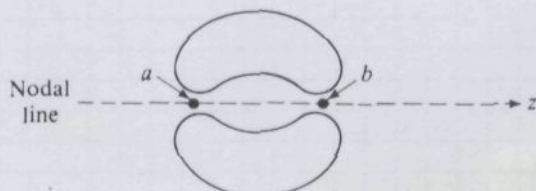
$$r_a \rightarrow r_b \quad r_b \rightarrow r_a \quad \phi \rightarrow \phi + \pi \quad \theta_a \rightarrow \theta_b \quad \theta_b \rightarrow \theta_a \quad (2)$$

y como  $e^{i(\phi+\pi)} = -e^{i\phi}$ , la sumación de ondas (1) cambia de signo y por tanto es un orbital  $\pi$ . Por otra parte la inversión en el plano perpendicular al eje da

$$r_a \rightarrow r_b, \quad r_b \rightarrow r_a, \quad \phi \rightarrow \phi, \quad \theta_a \rightarrow \theta_b, \quad \theta_b \rightarrow \theta_a \quad (3)$$

que deja (1) invariante y por tanto es un estado entazante y no debe llenar  $\pi$ .

Este es (1) corresponde al  $\pi_u 2p_{z1}$ .

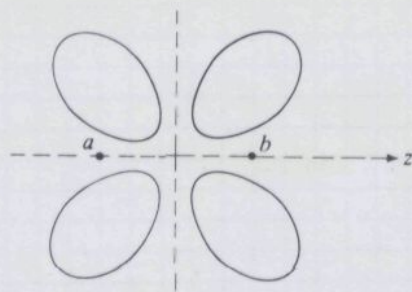


**Figure 13.12** Cross section of the  $\pi_u 2p_{z1}$  (or  $\pi_u 2p_{-1}$ ) molecular orbital. To obtain the three-dimensional contour surface, rotate the figure about the z axis. The z axis is a nodal line for this MO (as it is for the  $2p_{z1}$  AO).

Las fórmulas

$$\psi_{2p_{z1}}(r_a) - \psi_{2p_{z1}}(r_b) \quad (4)$$

corresponden a  $\pi_g^* 2p_{z1}$  y dan unas curvas de contorno representadas en la figura adjunta



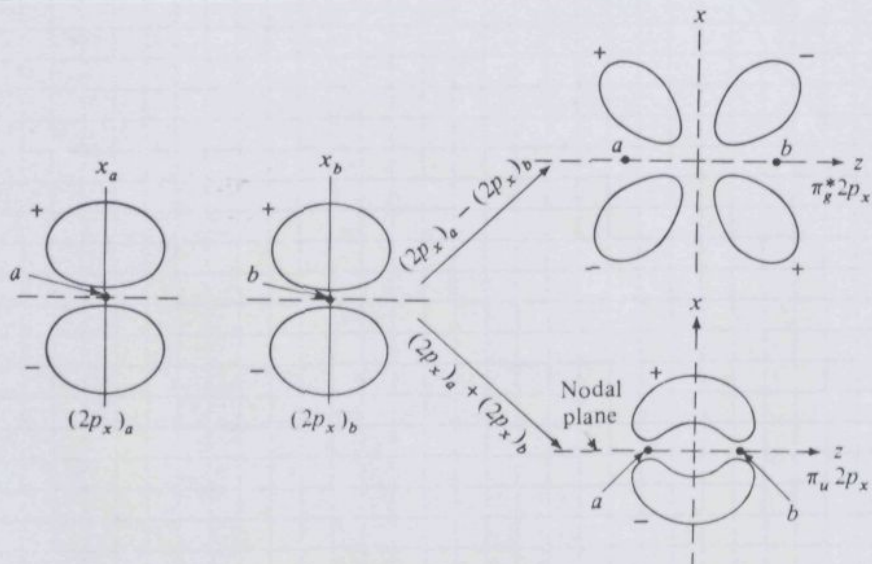
**Figure 13.13** Cross section of the  $\pi_g^* 2p_{+1}$  (or  $\pi_g^* 2p_{-1}$ ) MO. To obtain the three-dimensional contour surface, rotate about the z axis. The z axis and the xy plane are nodes.

Consideremos ahora la posibilidad de usar los orbitales atómicos  $2p_x$  y  $2p_y$  para

construir los orbitales moleculares. La combinación

$$\psi_{2p_x}(r_a) + \psi_{2p_x}(r_b) \quad (1)$$

da el orbital molecular  $\pi_u 2p_x$ . Este MO no es simétrico alrededor del eje



**Figure 13.14** Formation of the  $\pi_u 2p_x$  and  $\pi_g^* 2p_x$  MO's. Since the coordinate  $\varphi$  has the value zero in the  $xz$  plane, the cross sections of these MO's in the  $xz$  plane are the same as for the corresponding  $\pi_u 2p_{+1}$  and  $\pi_g^* 2p_{+1}$  MO's. However, the  $\pi 2p_x$  MO's are not symmetrical about the z axis; rather, they consist of blobs of probability density above and below the nodal  $yz$  plane.

internuclear y la carga nuclear se separa en dos lóbulos, uno por encima y otro por debajo del plano  $yz$ , que es un plano nodal de esta función. La función de onda tiene signos opuestos a cada lado de este plano. La combinación

$$\psi_{2p_x}(r_a) - \psi_{2p_x}(r_b) \quad (2)$$

da el MO  $\pi_g^* 2p_x$ . Como las funciones  $\psi_{2p_y}$  difieren de las  $\psi_{2p_x}$  solo por una rotación de ángulo  $\pi/2$  alrededor del eje internuclear, dan origen a MO que

diferen de los de la figura anterior por una rotación alrededor del eje OZ.

#### (v) Configuraciones de orbitales moleculares en moléculas diatómicas homonucleares

Ahora usaremos los MO que acabamos de construir para el  $H_2^+$  para discutir moléculas diatómicas homonucleares de muchos electrones. Si ignoramos la repulsión internuclear, la función en orden zero es un determinante de Slater de orbitales de spin de un electrón del tipo  $H_2^+$ . Aproximaremos la parte espacial de los orbitales de spin de  $H_2^+$  mediante los LCAO-MO del último parágrafo. Más adelante discutiremos mejoras de este método.

Los tamaños y las energías de los MO varían al variar la distancia internuclear para cada molécula y también cambian al ir de una molécula a la otra. Vimos como el parámetro  $R$  en (IV-10.0) cambia con  $R$ , cuando se consideran moléculas de carga nuclear más lejana, el parámetro  $R$  para el O<sub>2</sub> es menor, dando lugar a un MO más compacto. Descansos considerar el orden de las energías de los MO. Como estas energías cambian con  $R$  y con el tipo de moléculas no podemos dar un orden previo. Sin embargo, el orden siguiente es el de llenado de los MO a lo largo de la tabla periódica

$$\sigma_g^1 1s < \sigma_u^* 1s < \sigma_g^* 2s < \sigma_u^* 2s < \pi_u 2p_{+1} = \pi_u 2p_{-1} < \sigma_g^* 2p < \pi_g^* 2p_{+1} = \pi_g^* 2p_{-1} < \sigma_u^* 2p_{+-} \quad (1)$$

esta tabular enlazante se llena antes que el correspondiente antiendolante. Los orbitales  $\pi_u 2p$  están próximos en energía a los  $\sigma_g^* 2p$ .

Además de la notación usada hasta aquí, que se denomina descripción de átomos separados, hoy otras formas de referirse a los MO. La segunda columna de la tabla siguiente da la llamada descripción de átomo unido, que usa la descripción cuando  $R \rightarrow 0$ . Los dos estados electrónicos más bajos para el  $H_2^+$  en el límite  $R \rightarrow 0$  son el  $1s$  y el  $2p_0$  del  $He^+$ . La descripción de átomo unido se pone a la izquierda del símbolo  $\alpha$ . Por tanto  $\sigma_g^* 1s$  es lo mismo que el  $1s\sigma_g^+$ . El estado  $\sigma_u^* 1s$  corresponde al  $2p\sigma_u^*$ . En esta descripción los símbolos  $g$  y  $u$  son redundantes puesto que los estados  $s, p, g, -$  son  $g$  y los  $p, f, h, -$  son  $u$ . La nomenclatura de la tercera columna usa  $1g$  para el MO más bajo  $\sigma_g^+$ ,  $2g$  para el siguiente de tipo  $\sigma_g^-, \dots$

Desarrollo de Atomas  
Separados

 $\sigma_g 1s$  $\sigma_u^* 1s$  $\sigma_g 2s$  $\sigma_u^* 2s$  $\pi_{uu} 2p$  $\sigma_g 2p$  $\pi_g^* 2p$  $\sigma_u^* 2p$ 

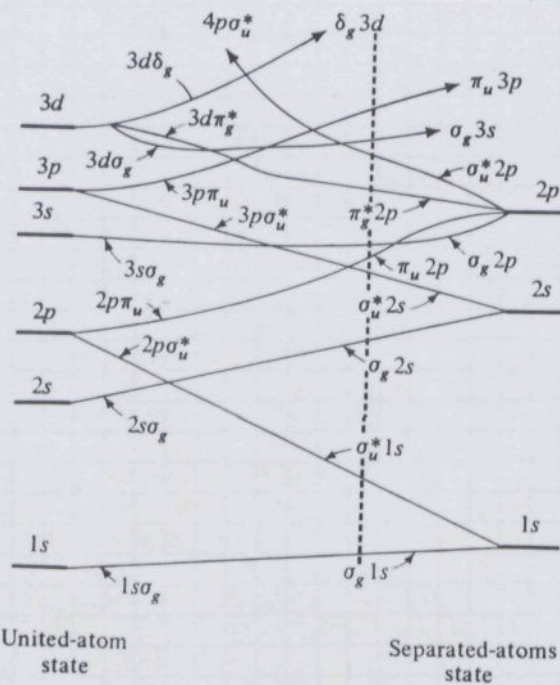
Desarrollo de Atomas  
Unidos

 $1s \sigma_g$  $2p \sigma_u^*$  $2s \sigma_g$  $3p \sigma_u^*$  $2p \pi_{uu}$  $3s \sigma_g$  $3d \pi_g^*$  $4p \sigma_u^*$ 

Nomenclación para  
diatómica

 $1s_g$  $1s_u$  $2s_g$  $2s_u$  $1\pi_u$  $3s_g$  $2\pi_g$  $3\sigma_u$ 

Un diagrama similar es



**Figure 13.15** Correlation diagram for homonuclear diatomic MO's.  
(This diagram doesn't hold for  $H_2^+$ .) The dashed vertical line corresponds to the order in which the MO's fill.

Un principio útil para trazar diagramas de correlación de orbitales es la regla de no cruce, que establece que los diagramas de correlación de moléculas atómicas con muchos electrones, los energéticos de los MO con la misma simetría no pueden cruzarse. Para moléculas atómicas la palabra simetría se refiere a si el MO es g o u y si es σ, π, δ, ... . Por ejemplo  $\sigma_g$  MO σg no pueden cruzarse en un diagrama de correlación. De esta regla se concluye que el MO más bajo de una dada simetría debe combinaránse con el MO del átomo unido más bajo de dicha simetría e igualmente para niveles más altos.

De la misma forma en que se suelen discutir los átomos llenando las distintas AO, aquí discutiremos las moléculas atómicas atomucleares mediante el llenado sucesivo de los MO.

c)  $H_2^+$ . La configuración del estado fundamental es  $(\sigma_g 1s)^2$ , que da un enlace electrónico. Su energía de disociación es

$$D = m_e (c_e)^2 / [0.6026 - 4/2] = m_e (c_e)^2 \cdot 0.1026 = 2.792 \text{ eV} \quad (1)$$

Los estados excitados del electrón corresponden a los siguientes MO.

c)  $H_2$ . Ponemos dos electrones en el MO  $(\sigma_g 1s)^2$  con dos spin opuestos dando la configuración  $(\sigma_g 1s)^2$  para el estado fundamental. Los dos electrones enlazantes dan un solo enlace. La energía de disociación es, en esta aproximación,  $D_e = 2 \times 2.792 \text{ eV} = 5.584 \text{ eV}$ , mientras que la real es  $D_e = 4.75 \text{ eV}$ , siendo la diferencia debida a la repulsión internoelectrónica.

cii)  $H_2^2$ . La configuración del estado fundamental es  $(\sigma_g 1s)^2 (\sigma_u^* 1s)^2$ . Con dos electrones enlazantes y dos antienlazantes, no esperamos que haya enlace, ello acuerdo con el hecho de que el estado fundamental electrónico del  $H_2^2$  es inestable, no muestra ningún mínimo en la curva de energía potencial. Sin embargo, si un electrón se excita del estado anti(en)lazante  $\sigma_u^* 1s$  a un MO más alto enlazante, tendremos tres electrones enlazantes y uno antienlazante, de forma que debe haber estados excitados enlazantes, con un mínimo significativo en  $U(R)$ . En efecto, se han observado alrededor de dos docenas de tales estados excitados enlazados del  $H_2^2$ . Por supuesto estos estados excitados decaen al fundamental y a continuación se disocian.

ciii)  $H_2^+$ . La configuración del estado fundamental es  $(\sigma_g 1s)^2 (\sigma_u^* 1s)$ ; tenemos en total un solo electrón enlazante y las propiedades de esta molécula deben ser parecidas a las del  $H_2^+$ , como así sucede. (Ver tabla en la página siguiente)

v)  $Li_2$ . La configuración del estado fundamental es  $(\sigma_g 1s)^2 (\sigma_u^* 1s)^2 (\sigma_g 2s)^2$  con dos electrones más enlazantes, conduciendo a un fuerte enlace  $Li-Li$ . En  $Li_2$  el exponente orbital del AO  $1s$  es considerablemente mayor que en el  $H_2^+$ , pues la carga nuclear ha pasado de 1 a 3. Esto hace que los orbitales  $4_{1s}(\bar{\omega})$  y  $4_{1s}(\bar{\omega})$  se encuentren más en las cercanías de los núcleos correspondientes, y que las integrales  $S_{ab}$  y  $H_{ab}$  sean muy pequeñas. De aquí se deduce que las energías de los MO  $\sigma_g 1s$  y  $\sigma_u^* 1s$  para el litio son prácticamente iguales y también iguales a la energía del AO  $1s$  del  $Li$ . (Evidentemente esto deja de ser cierto cuando R disminuye)

Molécula	Término fundamental	Orden de enlace	$D_e / \text{eV}$	$R/\text{\AA}$
$\text{H}_2^+$	${}^2\Sigma_g^+$	1/2	2.79	1.06
$\text{H}_2$	${}^1\Sigma_g^+$	1	4.75	0.741
$\text{He}_2^+$	${}^2\Sigma_u^+$	1/2	2.5	1.08
$\text{He}_2$	${}^1\Sigma_g^+$	0	0.0009	3.0
$\text{Li}_2$	${}^1\Sigma_g^+$	1	1.07	2.67
$\text{Be}_2$	${}^1\Sigma_g^+$	0	0.1	2.5
$\text{B}_2$	${}^3\Sigma_g^-$	1	3.	1.59
$\text{C}_2$	${}^1\Sigma_g^+$	2	6.3	1.24
$\text{N}_2^+$	${}^2\Sigma_g^+$	2 1/2	8.85	1.12
$\text{N}_2$	${}^1\Sigma_g^+$	3	9.91	1.10
$\text{O}_2^+$	${}^2\Pi_g$	2 1/2	6.78	1.12
$\text{O}_2$	${}^3\Sigma_g^-$	2	5.21	1.21
$\text{F}_2$	${}^1\Sigma_g^+$	1	1.66	1.41
$\text{Ne}_2$	${}^1\Sigma_g^+$	0	0.0036	3.1

Frecuentemente este estado se escribe  $\text{KK} (\sigma_g 2s)^2$  para indicar la nomenclatura desproporcionada de las energías de los orbitales internos en la formación de la molécula, lo cual está de acuerdo con la idea usual que el enlace es debido solo a los electrones externos. El exponente orbital del  $2s$  en el  $\text{Li}_2$  no es mucho mayor que 1, pues estos electrones rien el núcleo apantallado por los  $1s$ .

vii)  $\text{Be}_2$  La configuración del estado fundamental es  $\text{KK} (\sigma_g 2s)^2 (\sigma_u^* 2s)^2$ , sin electrones de enlace natos.

viii)  $\text{B}_2$  La configuración del estado fundamental es  $\text{KK} (\sigma_g 2s)^2 (\sigma_u^* 2s)^2 (n_u 2p)^2$  con dos electrones natos enlazantes, lo cual indica un estado fundamental estable, como realmente sucede. Tenemos dos estados degenerados  $n_u 2p$ . Recuerda que cuando se tienen configuraciones atómicas tales como la  $1s^2 2s^2 2p^2$ , se obtienen distintos términos, que a causa de las repulsiones interelectrónicas tienen energías distintas. En este caso existía la regla de Hund que dice que el de mayor spin total era, en general, el de menor energía. En la configuración dada antes para el  $\text{B}_2$  también tenemos un cierto número de términos. Como los dos MO más bajos ( $\sigma$ ) están llenos, los electrones están apareados y no contribuyen al spin total. Si los electrones  $n_u 2p$  están en el mismo MO (por ejemplo  $n_u 2p_+$ ), sus spins deben estar apareados (antiparalelos), dando un spin electrónico molecular total de cero.

Si los dos electrones están el uno en el  $n_4 2p_+$  y el otro en el  $n_4 2p_-$  entonces su spin mutuo puede ser  $S=1$ . De acuerdo con la regla de Hund, este será el estado fundamental. La situación experimental no está clara, pero los cálculos teóricos componen que es así [H. DUPUIS y B. LIU. J. Chem. Phys. 68, 2902 (1978)].

viii)  $C_2$  La configuración del estado fundamental es  $KK (1g\ 2s)^2 (1g^* 2s)^2 (n_4 2p)^4$  con un total muto de 4 electrones enlazantes.

ix)  $N_2$  :  $KK (1g\ 2s)^2 (1g^* 2s)^2 (n_4 2p)^4 (1g\ 2p)^2$  y hay un total de 6 electrones enlazantes :  $N \equiv N$ :

x)  $O_2$  :  $KK (1g\ 2s)^2 (1g^* 2s)^2 (1g\ 2p)^2 (n_4 2p)^4 (n_g^* 2p)^2$ . Información espectroscópica prueba que el Mo  $1g\ 2p$  está más ligado que el  $n_4 2p$ . Hay cuatro electrones enlazantes dando origen a un enlace doble. De acuerdo con la regla de Hund el estado fundamental es un triplete.

xii)  $F_2$  :  $KK (1g\ 2s)^2 (1g^* 2s)^2 (1g\ 2p)^2 (n_4 2p)^4 (n_g^* 2p)^4$ . Los dos electrones enlazantes dan un simple enlace.

xiv)  $Ne_2$   $KK (1g\ 2s)^2 (1g^* 2s)^2 (1g\ 2p)^2 (n_4 2p)^4 (n_g^* 2p)^4 (1g^* 2p)^2$ . No hay enlace muto, de acuerdo con la evidencia experimental.

Mo enlazantes incrementan la carga entre los dos núcleos, mientras que Mo anti-enlazantes la disminuyen. De aquí, que sea normalmente cierto que el eliminar un electrón de un Mo enlazante haga decrecer  $D_e$ , mientras que la eliminación de un electrón de un Mo anti-enlazante haga crecer  $D_e$ . Lo contrario es cierto para  $R$ . Esto se ve claramente al comparar  $N_2$  y  $N_2^+$  o  $O_2$  y  $O_2^+$ . La designación de enlazante o anti-enlazante Mo es relevante respecto a la energía total de los electrones en la molécula. Siempre es necesario añadir energía a una molécula estable para ionizarla, independientemente de que tipo de electrón es removido. Por tanto, electrones enlazantes y anti-enlazantes en una molécula estable decrecen de ~~la~~ energía molecular electrónica total.

Si la interacción entre átomos de He en el estado fundamental fuera estrictamente repulsiva (lo acuerda con la teoría de los Mo), los átomos del gas He no se atraerían entre sí y el gas no se podría bajar. Experimentalmente, es posible bajarlo. Cálculos con interacción de configuración y evidencia experimental directa demuestran que la energía potencial presente un mínimo a  $R = 3.0 \text{ \AA}$  y  $D_e = 0.0009 \text{ eV}$ . A distancias

memoria que  $3.0 \text{ \AA}$  la fuerza se hace muy repulsiva, debido a la superposición de las densidades de probabilidad electromagnética. La atracción (llamada fuerza de London o de dispersión) se puede explicar como: En un instante dado, los dos electrones del átomo de He estaban colocados de forma que el núcleo tiene un momento dipolar no nulo; este momento dipolar induce otro momento dipolar en el otro átomo y la interacción instantánea de los dos dipolos produce una fuerza atracción. El pequeño mínimo en la curva de energía potencial a grandes distancias internucleares producido por la fuerza de dispersión permite la existencia de moléculas ligeras, llamadas moléculas de van der Waals.

#### v) Términos Moleculares Electrónicos

Vamos a considerar los términos que se originan a partir de una configuración electrónica. Para moléculas cada conjunto de MO degenerados forma una subcapa. Así, por ejemplo, los MO  $\pi_u 2p_{+1}$  y  $\pi_u 2p_{-1}$  forman la subcapa  $\pi_u 2p$ . Cada subcapa  $\sigma$  consiste de 1 MO, mientras que las subcapas  $\pi$ ,  $\delta$ ,  $\delta^+$ , ... consisten en 2 orbitales moleculares; las subcapas  $\sigma$  pueden albergar 2 electrones y las otras 4 electrones. Definimos una configuración dando el número de electrones en cada subcapa, p. ej.:

$$(s_g 1s)^2 (s_u^* 1s)^2 (s_g 2s)^2 (s_u^* 2s)^2 (\pi_u 2p)^3 \quad (1)$$

Para el  $H_2^+$  vemos que  $L^2$  no commuta con  $H$ , pero que  $[L_z, H] = 0$ . Lo mismo sucede para moléculas diatómicas de muchos electrones. La componente del momento angular electrónico segun el eje molecular tiene como valores posibles  $M_L$ , con  $M_L = 0, \pm 1, \pm 2, \dots$ . Para calcular  $M_L$  debemos hacer la suma algebraica de los  $m_s$  de los electrones. Se introduce  $\Lambda \equiv |M_L|$  y se usa el siguiente código:

$$\Lambda = 0, 1, 2, 3, 4 \quad (2)$$

$$\text{Letra } \Sigma, \Pi, \Delta, \Phi, \Gamma$$

Para  $\Lambda \neq 0$  hay dos valores posibles de  $M_L$ :  $M_L = \Lambda$  y  $M_L = -\Lambda$  como en el  $H_2^+$  la energía electrónica depende de  $M_L^2$  y por lo tanto los niveles  $M_L = \pm \Lambda$  son degenerados.

La suma de los spines electrónicos es  $S$  y  $S = 0, 1/2, 1, 3/2, \dots$  con  $M_S = -S, -S+1, \dots, S-1, S$ . Para estados electrónicos diatómicos aquello que tienen el mismo valor de  $\Lambda$  y el mismo valor de  $S$  se dice que pertenecen al mismo término electrónico.

Vamos a considerar como se obtienen los términos. El principio de Pauli exige que cuando dos electrones se colocan en un mismo MO entonces uno debe tener  $m_s = +1/2$  y el otro  $m_s = -1/2$  y además su spin debe ser nulo. Por esto subcapas llenadas dan  $S = 1 = 0$  y por tanto en la notación  $^{2S+1}A$  deben dar  $^1\Sigma$ . Una consecuencia de esto es que al derivar los términos moleculares, sólo debemos tener en cuenta los electrones que están en MO no totalmente llenos. Un único electrón en un MO de tipo  $\sigma$  da un término  $^2\Sigma$ , mientras que un único electrón en un MO de tipo  $\pi$  da un término  $^2\Pi$ .

Consideremos ahora el caso de más de un electrón. Dos electrones que están en MO distintos se llaman *no-equivalentes*. Por ejemplo consideremos 2 electrones ubicados en MO de tipo  $\sigma$  distintos. Entendemos, su contribución a  $M_L$  es  $M_L = 0$  y  $S = 0$ , y por tanto tenemos las posibilidades  $^1\Sigma$  y  $^3\Sigma$ . Similamente para dos electrones en MO  $\sigma$  y  $\pi$  se tiene  $^1\Pi$  y  $^3\Pi$ . Consideremos otra un electrón en un MO de tipo  $\sigma$  y otro en uno de tipo  $\delta$ . El primero puede tener  $m = +1$  o  $-1$  y el segundo  $m = +2$  o  $-2$  y por tanto  $M_L = 3, 1, -1, -3$  y esto da  $A = 1, 3$ , i.e.  $^1\Pi$ ,  $^3\Pi$ ,  $^1\Delta$ ,  $^3\Delta$ . Para dos electrones en MO no-equivalentes de tipo  $\pi$  tenemos  $M_L = 2, 0, 0, -2$  y por tanto tenemos  $^1\Sigma$ ,  $^3\Sigma$ ,  $^1\Delta$ ,  $^3\Delta$ ,  $^1\Pi$ ,  $^3\Pi$ . Consideremos las funciones de onda de los distintos términos llamaremos  $\Pi$  y  $\Pi'$  los dos orbitales moleculares. Denotaremos por  $\Pi_m$  las funciones de onda espaciales. Entonces, sin tener en cuenta factores de normalización,

$$^1\Delta \quad \Pi_{+1}(1) \Pi'_{+1}(2) + \Pi_{+1}(2) \Pi'_{+1}(1) \quad (1)$$

$$^3\Delta \quad \Pi_{+1}(1) \Pi'_{+1}(2) - \Pi_{+1}(2) \Pi'_{+1}(1) \quad (2)$$

y similmente cambiando  $+1 \rightarrow -1$ . Similamente

$$^1\Sigma^+ \quad \Pi_{+1}(1) \Pi'_{-1}(2) + \Pi_{+1}(2) \Pi'_{-1}(1) + \Pi_{-1}(1) \Pi'_{+1}(2) + \Pi_{-1}(2) \Pi'_{+1}(1) \quad (3)$$

$$^1\Sigma^- \quad \Pi_{+1}(1) \Pi'_{-1}(2) + \Pi_{+1}(2) \Pi'_{-1}(1) - \Pi_{-1}(1) \Pi'_{+1}(2) - \Pi_{-1}(2) \Pi'_{+1}(1) \quad (4)$$

$$^3\Sigma^+ \quad \Pi_{+1}(1) \Pi'_{-1}(2) - \Pi_{+1}(2) \Pi'_{-1}(1) + \Pi_{-1}(1) \Pi'_{+1}(2) - \Pi_{-1}(2) \Pi'_{+1}(1) \quad (5)$$

$$^3\Sigma^- \quad \Pi_{+1}(1) \Pi'_{-1}(2) - \Pi_{+1}(2) \Pi'_{-1}(1) - \Pi_{-1}(1) \Pi'_{+1}(2) - \Pi_{-1}(2) \Pi'_{+1}(1) \quad (6)$$

Los signos  $\pm$  se refieren a que las funciones de onda tienen valores propios  $\pm 1$  al tener la reflexión de las coordenadas electrónicas en el plano de simetría  $xz$ . (Simetría  $O_{xz}$ ). Esta simetría tiene como efecto en  $\vec{r}_1$  y  $\vec{r}_2$  el cambio  $\phi \rightarrow -\phi + \pi$ .

Es fácil ver que los términos dados en (IV-24, 1 y 2) no son funciones propias de  $\hat{O}_{\sigma_0}$ . Como hay una degeneración doble (sin tener en cuenta el spin) de estos términos no hay ninguna necesidad de exigir que sean estados propios de  $\hat{O}_{\sigma_0}$ . Sin embargo si se desean estados propios de este operador basta tomar

$$'D^{\pm} [n_{+1}(1) n'_{+1}(2) + n_{+1}(2) n'_{+1}(1)] \pm [n_{-1}(1) n'_{-1}(2) + n_{-1}(2) n'_{-1}(1)]$$

(1)

Notar que estos si bien son estados propios de  $\hat{O}_{\sigma_0}$  no lo son de  $L_z$ . Cuando se considera la interacción entre el momento angular rotacional molecular y el momento angular orbital electrónico hay un ligero splitting ( $A$ -type doubling) de los dos estados de un término ' $D$ '; resulta que la función de ondas correspondiente a orden cero son combinaciones lineales de ' $D$ ' que son estados propios de  $\hat{O}_{\sigma_0}$  y tiene un ordenero simétrico para ' $D^+$ ' y ' $D^-$ '.

En la tabla siguiente damos los términos moleculares electrónicos

Configuración	Términos
$\sigma\sigma$	$^1\Sigma^+, ^3\Sigma^+$
$\sigma\pi$	$^1M, ^3\Pi$
$\pi\pi$	$^1\Sigma^+, ^3\Sigma^+, ^1\Sigma^-, ^3\Sigma^-, ^1A, ^3A$
$\pi\delta$	$^1\Pi, ^3\Pi, ^1\Phi, ^3\Phi$
$\sigma$	$^2\Sigma^+$
$\sigma^2; \pi^4; \delta^4$	$^1\Sigma^+$
$\pi; \pi^3$	$^2\Pi$
$\pi^2$	$^1\Sigma^+, ^3\Sigma^-, ^1A$
$\delta; \delta^3$	$^2A$
$\delta^2$	$^1\Sigma^+, ^3\Sigma^-, ^1\Gamma$

## IV-A- MÉTODO DE VARIACIÓN DE CONSTANTES

Sea  $H$  el Hamiltoniano de nuestro problema. Tomaremos como familia de funciones de prueba

$$|\psi\rangle = \sum_{i=1}^N c_i |\varphi_i\rangle \quad (1)$$

donde las  $c_1, c_2, \dots, c_N$  son constantes a determinar variacionalmente. Notemos que si

$$S_{ij} \equiv \langle \varphi_i | \varphi_j \rangle \quad H_{ij} \equiv \langle \varphi_i | H | \varphi_j \rangle \quad (2)$$

entonces

$$\langle \psi | \psi \rangle = \sum_{i=1}^N \sum_{j=1}^N c_i^* c_j S_{ij} \quad (3)$$

$$\langle \psi | H | \psi \rangle = \sum_{i=1}^N \sum_{j=1}^N c_i^* c_j H_{ij} \quad (4)$$

Definimos

$$W(c_i) \equiv \frac{\langle \psi | H | \psi \rangle}{\langle \psi | \psi \rangle} \Rightarrow \quad (5)$$

$$W \sum_{i=1}^N \sum_{j=1}^N c_i^* c_j S_{ij} = \sum_{i=1}^N \sum_{j=1}^N c_i^* c_j H_{ij} \quad (6)$$

Una condición necesaria para un mínimo de  $W$  es que

$$\frac{\partial W}{\partial c_i^*} = 0 \quad i = 1, 2, \dots, N \quad (7)$$

Si imponemos  $\partial W / \partial c_i^* = 0$  obtenemos las ecuaciones complejo conjugadas de (7). Entonces

$$W \sum_{j=1}^N c_j S_{ij} = \sum_{j=1}^N c_j H_{ij} \Rightarrow$$

$$\sum_{j=1}^N (H_{ij} - W S_{ij}) c_j = 0 \quad i = 1, 2, \dots, N \quad (\text{ecuación vectorial}) \quad (8)$$

Indiquemos las raíces de este ecuación por  $W_0 \leq W_1 \leq W_2 \leq \dots \leq W_{m-1}$ . Si los estados propios de  $H$  son  $E_0 \leq E_1 \leq E_2 \leq \dots \leq E_{m-1} \leq E_m \leq E_{m+1} \leq \dots$  entonces se puede probar que

$$E_i \leq W_i \quad i = 0, 1, 2, \dots, m-1$$

## B - Regla de no cruce (Non-crossing rule)

C.A. HEAD J. Chem. Phys. 70, 2276 (1979)

La regla de no cruce establece que para que dos superficies de energía permitidas se contem, dos o más condiciones independientes deben ser satisfechas por el Hamiltoniano electrónico en el punto de cruce. El número de condiciones que se deben satisfacer es 2 o 3, dependiendo de si uno puede superar o no que los elementos no diagonales del Hamiltoniano son reales. Para moléculas atómicas se tiene como un único parámetro la distancia internuclear. Cuando este parámetro es en general imposible satisfacer simultáneamente las dos otras condiciones necesarias para que exista intersección. Se deduce (salvo coincidencias altamente improbables) que las curvas de energía potencial para los estados electrónicos nunca se cruzan (y de aquí el origen del nombre) si los estados tienen la misma simetría. Cruces son permitidos para estados de distinta simetría puesto que en este caso hay una única condición que no es automáticamente satisfecha puesto consecuencia de la simetría. Intersecciones son posibles en moléculas poliatómicas pues en este caso se tienen 3 o más parámetros.

Veamos la prueba de L.D. Landau y E. Lifshitz [ "Quantum Mechanics, Non Relativistic Theory" ]. para moléculas atómicas. Sea  $R$  la distancia internuclear. Sean  $E_1(R)$  y  $E_2(R)$  dos términos electrónicos diferentes (Valores propios de  $H_{\infty}(R)$ ). Consideremos un punto  $R_0$  en el que  $E_1(R)$  y  $E_2(R)$  toman valores muy próximos entre sí, pero no iguales. Sean  $\hat{E}_1(R_0) = \hat{E}_1$ ,  $\hat{E}_2(R_0) = \hat{E}_2$ . Las energías  $\hat{E}_1$  y  $\hat{E}_2$  son valores propios del Hamiltoniano  $\hat{H}_{\infty}(R)$  cuando  $R = R_0$ , que daremos para  $\hat{H}_{\infty} = H_{\infty}(R_0)$ . Si se incrementa  $R_0$  en  $dR$  el Hamiltoniano se transforma en  $\hat{H}_{\infty} + \hat{V}$  donde  $\hat{V} = (\partial H_{\infty}(R) / \partial R)_{R=R_0} dR$  es una pequeña corrección. Entomos  $E_1$  y  $E_2$  en el punto  $R_0 + dR$  se pueden considerar como los valores propios de  $\hat{H}_{\infty} + \hat{V}$ . Esta manera de abordar el problema permite determinar los valores de  $E_1(R)$  y  $E_2(R)$  en  $R_0 + dR$  mediante teoría de perturbaciones, considerando  $\hat{V}$  como una perturbación de  $\hat{H}_{\infty}$ .

Sin embargo al ser  $\hat{E}_1$  y  $\hat{E}_2$  muy próximos no es aplicable el método de perturbaciones ordinario. Sean  $\psi_1$  y  $\psi_2$  las funciones propias de  $\hat{H}_{\infty}$  correspondientes a  $\hat{E}_1$  y  $\hat{E}_2$ . Como aproximación inicial de orden uno tomemos, en vez de  $\psi_1$  y  $\psi_2$  combinaciones lineales

$$\psi = c_1 \psi_1 + c_2 \psi_2 \quad \langle \psi_i | \psi_j \rangle = \delta_{ij} \quad (1)$$

Sustituyendo en la ecuación perturbada

$$(\hat{H}_1 + \hat{V}) \psi = E \psi \quad (1)$$

obtenemos

$$c_1 (\hat{E}_1 + \hat{V} - E) \psi_1 + c_2 (\hat{E}_2 + \hat{V} - E) \psi_2 = 0$$

Multiplicando por  $\psi_1^*$  y  $\psi_2^*$  e integrando obtenemos

$$(\hat{E}_1 + \hat{V}_{11} - E) c_1 + \hat{V}_{12} c_2 = 0 \quad \hat{V}_{ij} \equiv \langle \psi_i | \hat{V} | \psi_j \rangle \quad (2)$$

$$\hat{V}_{21} c_1 + (\hat{E}_2 + \hat{V}_{22} - E) c_2 = 0$$

El carácter hermético de  $\hat{V}$  implica que  $\hat{V}_{11}$  y  $\hat{V}_{22}$  son reales y que  $\hat{V}_{21}^* = \hat{V}_{12}$ .

La condición de compatibilidad es

$$\begin{vmatrix} \hat{E}_1 + \hat{V}_{11} - E & \hat{V}_{12} \\ \hat{V}_{21} & \hat{E}_2 + \hat{V}_{22} - E \end{vmatrix} = 0 \quad (3)$$

de donde

$$E = \frac{1}{2} (\hat{E}_1 + \hat{E}_2 + \hat{V}_{11} + \hat{V}_{22}) \pm \left\{ \frac{1}{4} (\hat{E}_1 - \hat{E}_2 + \hat{V}_{11} - \hat{V}_{22})^2 + |\hat{V}_{12}|^2 \right\}^{1/2} \quad (4)$$

fórmula que determina en primera aproximación los valores dados de la energía.

Si los valores de la energía de ambos términos podían ser iguales en el punto  $R_0 + \delta R$  (los términos se contan), esto significa que los dos valores de  $E$  dados en (4) son iguales y esto exige que

$$\hat{E}_1 - \hat{E}_2 + \hat{V}_{11} - \hat{V}_{22} = 0, \quad \hat{V}_{12} = 0 \quad (5)$$

sin embargo, disponemos de un solo parámetro arbitrario, que determina la perturbación  $\hat{V}$ , esto es  $\delta R$ . Por esto las dos ecuaciones (5) (suponemos que  $\psi_1 > \psi_2$ ) se han elegido tales la cual implica que  $\hat{V}_{12}$  es real) no pueden en general quedar satisfechas simultáneamente.

Puede ocurrir, sin embargo, que  $\hat{V}_{12} = 0$ , queda entonces sola una ecuación en (5) y esta puede satisfacerse con una elección conveniente de  $\delta R$ . Esto ocurre en todos los casos en que los dos términos considerados poseen simetría diferente. En la demostración de este proposición es crucial el hecho de que el operador  $\hat{D}$  y el  $\hat{A}_0$  commute con todos los operadores de simetría de la molécula.

Llegamos de esta manera al resultado de que en una molécula atómica pueden contarse solamente los términos de diferente simetría, mientras que, en cambio, la interacción de términos de simetría igual es imposible (E. WIGNER y J. VON NEUMANN).

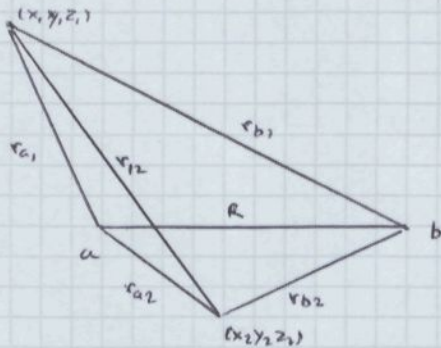
Phys. Z. 30, 467 (1929)

En una molécula poliatómica los términos electrónicos son funciones no de un parámetro, sino de varios (las distancias entre los diferentes núcleos). Sea  $s$  el número de distancias independientes entre núcleos; en una molécula  $N$ -atómica ( $N > 2$ ) este número es  $s = 3N - 6$ . Cada término  $E(R_1, \dots, R_s)$  representa, desde el punto de vista geométrico una superficie en un espacio de  $s+1$  dimensiones y se puede hablar de intersecciones de estas superficies según multiplicidades de diferente dimensiones — desde 0 (intersección en un punto) hasta  $s-1$ . Todos los rotarando desarmollados ante conservan su validez, con la única diferencia que la perturbación viene determinada por  $s$  parámetros (los comunes  $\delta R_1, \dots, \delta R_s$ ). Pero ya para dos parámetros las dos ecuaciones (IV-B-3, 5) pueden, en general, quedar satisfechas. Llegamos así al resultado de que en moléculas poliatómicas los términos moleculares pueden constante. Si los términos tienen la misma simetría, la intersección se determina por las dos condiciones anteriores, de lo que se sigue que el número de dimensiones de la variedad determinada por la intersección es  $s-2$ . Pero si los términos son de diferente simetría, queda sola una condición y la intersección es una variedad de  $s-1$  dimensiones.

## V.- LA MOLECULA DE HIDROGENO

El Hamiltoniano puramente electrónico de  $H_2$  es

$$H = -\frac{\hbar^2}{2m_e} \nabla_1^2 - \frac{\hbar^2}{2m_e} \nabla_2^2 - \frac{e^2}{r_{a1}} - \frac{e^2}{r_{a2}} - \frac{e^2}{r_{b1}} - \frac{e^2}{r_{b2}} + \frac{e^2}{r_{12}} \quad (1)$$



No es posible tratar exactamente esta molécula y por tanto necesitamos recurrir a aproximaciones.

### i) Aproximación de orbitales moleculares

La configuración del estado fundamental del  $H_2$  es  $(1s)^2$ , y podemos escribir la formación de ondas aproximada como un determinante de Slater.

$$\frac{1}{\sqrt{2}} \begin{vmatrix} \sigma_g 1s(1) \alpha(1) & \sigma_g 1s(1) \beta(1) \\ \sigma_g 1s(2) \alpha(2) & \sigma_g 1s(2) \beta(2) \end{vmatrix} = \frac{1}{\sqrt{2}} \sigma_g 1s(1) \sigma_g 1s(2) [\alpha(1) \beta(2) - \beta(1) \alpha(2)] \equiv \frac{1}{\sqrt{2}} [f(1) f(2) - \frac{1}{\sqrt{2}} [\alpha(1) \beta(2) - \beta(1) \alpha(2)]] \quad (2)$$

Deseamos ahora elegir  $f$  de forma que minimice el valor esperado de  $H$ . Como el paralelo de spin no juega ningún papel basta considerar

$$W(R) \equiv \frac{\iint d\mathbf{r}_1 d\mathbf{r}_2 |f^*(1) f^*(2)|^2 H |f(1) f(2)|^2}{\iint d\mathbf{r}_1 d\mathbf{r}_2 |f(1)|^2 |f(2)|^2} \quad (3)$$

donde las integraciones van sobre las coordenadas de los dos electrones. La mejor forma de proceder sería intentar calcular  $f(r)$  por un método autoconsistente. Por simplicidad usaremos

$$\psi \equiv f(1) f(2) = \frac{5^3}{(2\pi)(1 + S_{ab}) a^3} \left\{ e^{-\frac{5r_{a1}}{a}} + e^{-\frac{5r_{a2}}{a}} \right\} \left\{ e^{-\frac{5r_{b1}}{a}} + e^{-\frac{5r_{b2}}{a}} \right\} \quad (4)$$

donde  $S$  es una carga nuclear efectiva. Escribimos abreviadamente

$$\psi = \frac{1}{2(1 + S_{ab})} [\psi_a(1) + \psi_b(1)] [\psi_a(2) + \psi_b(2)] \quad (1)$$

que esta normalizada si:

$$S_{ab} \equiv \int d\mathbf{r}_1 d\mathbf{r}_2 \psi_a(1) \psi_b(1) \quad (2)$$

Podemos escribir

$$H = H_1^0 + H_2^0 + \frac{e^2}{r_{12}} \quad (3)$$

donde  $H_i^0$  es el Hamiltoniano de  $H_2^+$  para cada electron. Entonces

$$W(R) \equiv \int d\mathbf{r}_1 d\mathbf{r}_2 \psi H \psi =$$

$$= \int d\mathbf{r}_1 d\mathbf{r}_2 \psi [H_1^0 + H_2^0 + \frac{e^2}{r_{12}}] \psi.$$

$$\int d\mathbf{r}_1 d\mathbf{r}_2 \psi H_1^0 \psi = \int d\mathbf{r}_1 d\mathbf{r}_2 \psi H_2^0 \psi =$$

$$= \int d\mathbf{r}_1 d\mathbf{r}_2 \left\{ \psi_a(1) H_1^0 \psi_a(1) \psi_a(2) \psi_a(2) + \psi_a(1) H_1^0 \psi_a(1) \psi_a(2) \psi_b(2) + \psi_b(1) H_1^0 \psi_b(1) \psi_a(2) \psi_a(2) \right.$$

$$+ \psi_a(1) H_1^0 \psi_b(1) \psi_a(2) \psi_b(2) + \psi_a(1) H_1^0 \psi_a(1) \psi_b(2) \psi_a(2) + \psi_a(1) H_1^0 \psi_a(1) \psi_b(2) \psi_b(2) +$$

$$+ \psi_c(1) H_1^0 \psi_b(1) \psi_b(2) \psi_a(2) + \psi_c(1) H_1^0 \psi_b(1) \psi_b(2) \psi_b(2) + \psi_b(1) H_1^0 \psi_a(1) \psi_c(2) \psi_a(2) +$$

$$+ \psi_b(1) H_1^0 \psi_a(1) \psi_a(2) \psi_b(2) + \psi_b(1) H_1^0 \psi_b(1) \psi_a(2) \psi_c(2) + \psi_b(1) H_1^0 \psi_b(1) \psi_a(2) \psi_b(2) +$$

$$+ \psi_b(1) H_1^0 \psi_a(1) \psi_b(2) \psi_a(2) + \psi_b(1) H_1^0 \psi_b(1) \psi_b(2) \psi_b(2) + \psi_b(1) H_1^0 \psi_b(1) \psi_a(2) \psi_b(2) +$$

$$+ \psi_b(1) H_1^0 \psi_b(1) \psi_b(2) \psi_b(2) \} / 4 (1 + S_{ab})^2,$$

$$= \frac{1}{4 (1 + S_{ab})^2} \left\{ H_{aa} + S_{bb} H_{aa} + H_{bb} + H_{ab} S_{ab} + H_{aa} S_{ab} + H_{ca} + H_{ab} S_{cb} + \right.$$

$$+ H_{ab} + H_{ba} + H_{ba} S_{ab} + H_{bb} + H_{bb} S_{ab} + H_{ba} S_{ba} +$$

$$+ H_{ba} + H_{bb} S_{ab} + H_{bb} \} \\ = \frac{1}{(1 + S_{ab})} \{ H_{aa} + H_{ab} \} = W_1 \quad \text{en la formula (IV-11.3), i.e. (IV-12.2)}$$

teniendo  $R \rightarrow \infty$ . Entonces

$$W(R) = 2 W_1(S, R) + \int d\mathbf{r}_1 d\mathbf{r}_2 \psi^2 \frac{e^2}{r_{12}} \quad (4)$$

A. D. MC LEAN, R. WEISS y M. YOSHIMINE Rev. Mod. Phys. 32, 211 (1960) dan referencias a todo este tipo de cálculos.

Foulkes fue el primero de calcular (4) y obtuvo

$$R_e = 0.732 \text{ \AA} , \quad D_e = 3.69 \text{ eV} , \quad \Sigma = 1.197 \quad (1)$$

el hecho de que  $\Sigma$  sea menor que el  $R$  del  $H_2^+$  es debido al aportamiento que un electrón ejerce sobre el otro. El acuerdo es bueno para  $R_e$  pero no para  $D_e$  (Ver IV. 22)

¿Cómo mejorar este resultado? Una forma posible es introducir

$$\bar{\Sigma}_c = \frac{1}{R} (r_{ca} + r_{cb}) \quad \eta_c = \frac{1}{R} (r_{ca} - r_{cb}) \quad (2)$$

y tomar

$$f(c) = e^{-\alpha \bar{\Sigma}_c / a} \sum_{p,q} C_{pq} (\bar{\Sigma}_c / a)^p (\eta_c / a)^q \quad (3)$$

Kolos y Roothaan encontraron  $R_e = 0.74 \text{ \AA}$  y  $D_e = 3.65 \text{ eV}$  que no es una gran mejora sobre los resultados anteriores. Para mejorar es necesario usar interacción de configuraciones e introducir  $r_{12}$  en la función de onda. Una mejor función de prueba es

$$e^{-\delta (\bar{\Sigma}_1 + \bar{\Sigma}_2)} \sum_{m,m_1,j,k} C_{mm_1jk} [\bar{\Sigma}_1^m \bar{\Sigma}_2^m \eta_1^j \eta_2^k + \bar{\Sigma}_1^m \bar{\Sigma}_2^m \eta_1^k \eta_2^j] r_{12}^p \quad (4)$$

W. KOLOS y C.C.J. ROOTHAAK [Rev. Mod. Phys. 32, 219 (1960)], W. KOLOS y L. WOLNIEWICZ [J. Chem. Phys. 41, 3663 (1964) y 49, 404 (1968)] han usado funciones de onda de este tipo. Usando 100 términos en el desarrollo encontraron  $D_e/1\text{hc} = 38.297 \text{ cm}^{-1}$ , en perfecto acuerdo con el valor actual G. HERZBERG [J. Mol. Spectry. 33, 157 (1970)] pero no con el de aquél entonces que era  $D_e/1\text{hc} = (38293 \pm 1) \text{ cm}^{-1}$ .

#### (ii) Método de Enlace - Valence

El primer tratamiento de la molécula  $H_2$  fue realizado por Heitlen y London en 1927. Sus ideas fueron extendidas hasta formar una teoría general conocida con el nombre de teoría de enlace valencia (VB valence-bond) o teoría HLLP (Heitlen, London, Slater y Pauling). La teoría VB contempla las moléculas como formadas por nucleos + electrones intensores = core y electrones enlace de valencia. En el caso de  $H_2$  todos electrones son de valencia.

El primer paso en este tratamiento es aproximar la función de onda del estado fundamental por la función de orden de dos átomos sin interacción.

$$f_1 = 1s_a(1) \ 1s_b(2)$$

donde  $a$  y  $b$  se refiere a los núcleos y  $1, 2$  a los electrones. Por supuesto

$$f_2 = 1s_a(2) \ 1s_b(1)$$

(2)

es igualmente válido y esto sugiere usar como familia de funciones de prueba

$$\psi = c_1 f_1 + c_2 f_2$$

(3)

Esto conduce, por el método de variación de constantes, a la ecuación secular

$$\begin{vmatrix} H_{11} - S_{11} W & H_{12} - S_{12} W \\ H_{21} - S_{21} W & H_{22} - S_{22} W \end{vmatrix} = 0$$

(4)

donde

$$H_{ij} = \int d\mathbf{r} f_i^* H f_j, \quad S_{ij} = \int d\mathbf{r} f_i^* f_j$$

(4)

Se puede considerar el problema usando teoría de perturbaciones, como lo hicieron Heitler y London. El estado fundamental de una molécula de hidrógeno se disipa en dos átomos neutros en el estado fundamental. Por tanto tomamos como problema no perturbado los dos átomos separados con  $R = \infty$ . Una posible función de onda a orden cero (no perturbada) es  $1s_a(1) 1s_b(2)$ ; sin embargo, el electrón 2 podría ser el unido al núcleo  $a$ , dando como función de onda no perturbada  $1s_a(2) 1s_b(1)$ . Estas dos funciones de onda no perturbadas pertenecen a un nivel energético doblemente degenerado (degeneración de intercambio). Bajo la perturbación de formación de la molécula, el nivel doblemente degenerado se divide en dos niveles, y la función a orden cero convierte en

$$c_1 1s_a(1) 1s_b(2) + c_2 1s_a(2) 1s_b(1)$$

(1)

Esto conduce a un determinante secular  $2 \times 2$  idéntico a (4) con  $W \rightarrow E^{(0)} + E^{(1)}$ .

Resolvemos ahora (4). Como  $f_L = f_L^*$  y ambos están normalizados

$$H_{12} = H_{21}, \quad S_{12} = S_{21}, \quad S_{11} = S_{22} = 1, \quad H_{22} = H_{11}$$

(2)

y entonces

$$W_1 = (1 + S_{12})^{-1} (H_{11} + H_{12}), \quad W_2 = (1 - S_{12})^{-1} (H_{11} - H_{12})$$

(3)

$$\psi_1 = \left\{ 2(1 + S_{12}) \right\}^{-1/2} (f_1 + f_2), \quad \psi_2 = \left\{ 2(1 - S_{12}) \right\}^{-1/2} (f_1 - f_2)$$

(4)

Vacemos el cálculo de los distintos términos

$$H = H_a(1) + H_b(2) + H'$$

$$H_a(1) \equiv -\frac{\hbar^2}{2m_e} \vec{V}_1^2 - \frac{e^2}{r_{a1}}, \quad H_b(2) = -\frac{\hbar^2}{2m_e} \vec{V}_2^2 - \frac{e^2}{r_{b2}}$$

$$H' = -\frac{e^2}{r_{b1}} - \frac{e^2}{r_{a2}} + \frac{e^2}{r_{12}}$$

$$H_{11} = \langle 1s_a(1) 1s_b(2) | H_a(1) + H_b(2) + H' | 1s_a(1) 1s_b(2) \rangle$$

$$\langle 1s_a(1) 1s_b(2) | H_a(1) | 1s_a(1) 1s_b(2) \rangle = \langle 1s_a(1) | H_a(1) | 1s_a(1) \rangle = \langle 1s_b(2) | 1s_b(2) \rangle = -\frac{1}{2} m_e (\alpha c)^2$$

$$\langle 1s_a(1) 1s_b(2) | H' | 1s_a(1) 1s_b(2) \rangle \equiv m_e (\alpha c)^2 Q \quad Q \text{ es integral de Coulomb.}$$

$$H_{21} = \langle 1s_a(2) 1s_b(1) | H_a(1) + H_b(2) + H' | 1s_a(1) 1s_b(2) \rangle$$

$$\langle 1s_a(2) 1s_b(1) | H_a(1) | 1s_a(1) 1s_b(2) \rangle = \langle 1s_a(2) | 1s_b(2) \rangle \langle 1s_b(1) | H_a(1) | 1s_a(1) \rangle =$$

$$= -\frac{1}{2} m_e (\alpha c)^2 \langle 1s_a(2) | 1s_b(2) \rangle \langle 1s_b(1) | 1s_a(1) \rangle = -\frac{1}{2} m_e (\alpha c)^2 S_{ab}^2$$

$$Q \langle 1s_a(2) 1s_b(1) | H' | 1s_a(1) 1s_b(2) \rangle \equiv m_e (\alpha c)^2 A \quad A \text{ es integral de intercambio}$$

Entonces

$$W_1 = m_e (\alpha c)^2 \left\{ -1 + \frac{Q + A}{1 + S_{ab}^2} \right\} \quad (1)$$

$$W_2 = m_e (\alpha c)^2 \left\{ -1 + \frac{Q - A}{1 - S_{ab}^2} \right\} \quad (2)$$

El cálculo de las integrales viene dado en el Apéndice. El resultado de este tratamiento (Heitler-London) es que  $U(R) \approx W_1 + e^2/R$  presenta un mínimo a  $R_e = 0.80 \text{ \AA}$  (radio exp.  $0.74 \text{ \AA}$ ) y que la energía de enlace es  $D_e = 3.20 \text{ eV}$  (exp.  $4.75 \text{ eV}$ ). La mayor parte de la energía de ligadura proviene de la integral de intercambio  $A$ .

Una posible mejora del método es debida a Wang (1928) usando un exponente orbital 5. en la función 1s. Se obtiene  $S = 1.166$  y  $D_e = 3.78 \text{ eV}$ . En 1931 Rosen mejoró la función de Heitler-London-Wang usando la función de prueba

$$\psi = \psi_a(1) \psi_b(2) + \psi_a(2) \psi_b(1)$$
(1)

ondas

$$\psi_a(1) = e^{-\frac{r_a}{a}}$$

$$\psi_a(2) = e^{-(1 + c)r_a}$$
(2)

y una expresión similar para  $\psi_b$ . Esto permite la polarización del AO en la formación de la molécula y se obtiene  $D_e = 4.04$  eV. Otra mejora es el uso de las estructuras iónicas que será discutido más adelante.

### (iii) Comparación preliminar de las troncas MO y VB

Indiquemos por  $\varphi_a$  el orbital atómico centrado en el núcleo a. El factor espacial para la función de onda LCAO-MO (sin normalizar) para el  $H_2$  en el estado fundamental es

$$[\psi_a(1) + \psi_b(1)] [\psi_a(2) + \psi_b(2)]$$
(3)

En el tratamiento más simple,  $\varphi$  es el AO 1s. La función anterior es

$$\psi_a(1) \psi_a(2) + \psi_b(1) \psi_b(2) + \psi_a(1) \psi_b(2) + \psi_b(1) \psi_a(2)$$
(4)

¿Cuál es el significado de estos términos? Los dos últimos términos tienen cada electrón en un AO centrado en un núcleo distinto; son los términos covalentes correspondientes a compartir por igual los electrones entre los átomos. Los dos primeros tienen los dos electrones en un AO centrado en el mismo núcleo; estos son los términos iónicos correspondientes a  $H^+H^-$  y  $H^-H^+$ . Los términos covalentes y los iónicos tienen el mismo peso y por tanto de acuerdo con el MO (4), hay un 50-50 probabilidad de que el estado fundamental del  $H_2$  se divide en dos átomos neutros o en un protón y un ion  $H^-$ . En realidad el estado fundamental del  $H_2$  se divide en dos átomos neutros. Entonces el MO (4) da un límite equivocado para la energía cuando  $R \rightarrow \infty$ .

¿Cómo mejoran esto? Como el  $H_2$  no es polar, la intuición química nos dice que los términos iónicos deben contribuir a la función de onda menos que los covalentes. Lo más simple es omitir los términos iónicos y escribir

$$\psi_a(1) \psi_b(2) + \psi_a(2) \psi_b(1)$$
(5)

que no es más que la función de Hartree-Fock-London.

Aunque la repulsión interelectrónica hace que los electrones se entiern, hay alguna probabilidad de que ambos electrones estén cerca del mismo núcleo,

dando origen a una estructura iónica. Por tanto en lugar de simplemente eliminar en (V-6.4) los términos iónicos, podemos intentar

$$\Psi_{VB,imp} = \psi_a(1) \psi_b(2) + \psi_b(1) \psi_a(2) + \delta \{ \psi_a(1) \psi_a(2) + \psi_b(1) \psi_b(2) \} \quad (1)$$

donde  $\delta(R)$  es un parámetro anómalo y donde el "imp" significa "improved". En el lenguaje de la teoría valencia-entovo, esta función de prueba representa la resonancia iónica - covalente. Weinbaum (1933) hizo este cálculo

Heitler-London-Wang	$S = 1.166$	$D_e = 3.78 \text{ eV}$	$\delta = 0$
LCAO-MO	$S = 1.197$	$D_e = 3.49 \text{ eV}$	$\delta = 1$
Weinbaum	$S = 1.19$	$D_e = 4.02 \text{ eV}$	$\delta = 0.26$

Comparando (1) con el LCAO-MO mejorado con interacción de configuraciones. La función de ondas no normalizada es

$$\Psi_{MO,imp} = [ \psi_a(1) + \psi_b(1) ] [ \psi_a(2) + \psi_b(2) ] + \gamma [ \psi_a(1) - \psi_b(1) ] [ \psi_a(2) - \psi_b(2) ] \quad (2)$$

o equivalentemente, multiplicando la por  $1/(1-\gamma)$

$$\Psi_{MO,imp} = \psi_a(1) \psi_b(2) + \psi_b(1) \psi_a(2) + \frac{1+\gamma}{1-\gamma} \{ \psi_a(1) \psi_a(2) + \psi_b(1) \psi_b(2) \} \quad (3)$$

Comparando (1) y (3) vemos que son idénticas. Weinbaum consideraba su cálculo como un cálculo VB mejorado con términos iónicos y vemos que puede considerarse también como un cálculo MO mejorado con mezcla de configuraciones.

La función MO (V-6.4) minimiza la correlación interelectrónica, en tanto que considera que estructuras con los dos electrones en el mismo átomo son tan probables como las estructuras con un electrón en cada átomo. La función de ondas VB (V-6.5) sobreestima la correlación entre electrones, pues no permite los dos electrones en el mismo átomo. En la teoría MO la correlación entre electrones se introduce más la interacción de configuraciones y en lo VB más resonancia ión-covalencia. El simple método VB es más adecuado a grandes  $R$  que el método MO, puesto que este último produce productos de asociación falsos.

Veamos ahora la densidad de probabilidad electrónica. Si hay  $n$  electrones la densidad de probabilidad de encontrar un electrón en el punto  $\vec{r}$  es

$$g(\vec{r}) = n \sum_{\text{todas } m_i} \left\{ d\vec{r}_2 \dots d\vec{r}_m \mid \Psi(\vec{r}, \vec{r}_2, \dots, \vec{r}_m; m_1, m_2, \dots, m_m) \mid^2 \right\} \quad (4)$$

Entonces

$$\psi_{MO} = \frac{1}{2(1+S_{ab})} [\psi_a(1) + \psi_b(1)] [\psi_a(2) + \psi_b(2)] \quad (1)$$

$$\psi_{VB} = \frac{1}{[2(1+S_{ab}^2)]^{1/2}} [\psi_a(1)\psi_b(2) + \psi_a(2)\psi_b(1)] \quad (2)$$

de donde

$$\rho_{MO} = \frac{1}{1+S_{ab}} \left\{ |\psi_a|^2 + |\psi_b|^2 + 2\psi_a\psi_b \right\} \quad (3)$$

$$\rho_{VB} = \frac{1}{1+S_{ab}^2} \left\{ |\psi_a|^2 + |\psi_b|^2 + 2S_{ab}\psi_a\psi_b \right\}$$

Compararemos estos funciones recordando que  $S_{ab} < 1$ . Ambas funciones acumulan más carga entre los núcleos que  $|\psi_a|^2 + |\psi_b|^2$ . En el punto medio entre ambos  $\psi_a = \psi_b$  y

$$\rho_{MO} - \rho_{VB} \approx \frac{2(1-S_{ab})^2}{(1+S_{ab})(1+S_{ab}^2)} |\psi_a|^2 > 0 \quad (4)$$

por tanto la MO tiende a acumular más carga entre los núcleos que la VB. La función de onda VB da una menor energía (energía de enlace más elevada) que la MO, de forma que la MO tiende a concentrar demasiada carga entre los núcleos. Esto es desfavorable pues aumenta la repulsión interelectrónica.

#### c) Funciones de onda MO y VB para moléculas diatómicas homonucleares

La aproximación MO coloca los electrones de una molécula en orbitales moleculares, que se extienden sobre toda la molécula. Como aproximación a los MO usualmente se usan combinaciones lineales de orbitales atómicos. El método VB coloca los electrones de una molécula en orbitales atómicos y construye la función de onda molecular permitiendo el "intercambio" de pares de electrones valencia entre orbitales atómicos de los átomos que se enlazan. Hemos comparado ambos métodos en la molécula  $H_2$ ; veamos lo que sucede en otras moléculas diatómicas homonucleares.

Empecemos con el estado fundamental del  $He_2$ . Los átomos se habían separados tienen la configuración  $(1s)^2$ , cada uno; para esta configuración de subcapa unida, no tenemos ningún electrón disponible para formar enlace y la función de onda VB es simplemente el producto antisimétrico de las funciones AO.

$$\frac{1}{\sqrt{4!}} \begin{vmatrix} 1s_a(1) & \overline{1s_a}(1) & 1s_b(1) & \overline{1s_b}(1) \\ 1s_a(2) & \overline{1s_a}(2) & 1s_b(2) & \overline{1s_b}(2) \\ 1s_a(3) & \overline{1s_a}(3) & 1s_b(3) & \overline{1s_b}(3) \\ 1s_a(4) & \overline{1s_a}(4) & 1s_b(4) & \overline{1s_b}(4) \end{vmatrix} \quad (1)$$

La función 1s es la función de onda 1s del átomo de helio, que idealmente es una función atómica exacta que puede aproximarse por funciones de tipo hidrogenoide. Los subíndices a y b se refieren a los dos átomos y la barra indica la función de spin B. Usaremos para (1) la notación abreviada

$$\Psi_{VB} = | 1s_a \ \overline{1s_a} \ 1s_b \ \overline{1s_b} | \quad (2)$$

La función de onda (2) tiene cada electrón apareado con otro electrón en un orbital del mismo átomo y no se predice que haya enlace.

En el método MO la configuración del estado fundamental es  $(\sigma_g 1s)^2 (\sigma_u^* 1s)^2$  sin electrones de enlace netos y por tanto no hay enlace, de acuerdo con lo predicho por la aproximación VB. En la aproximación MO la función de onda es

$$\Psi_{MO} = | \sigma_g 1s \ \overline{\sigma_g 1s} \ \sigma_u^* 1s \ \overline{\sigma_u^* 1s} | \quad (3)$$

La aproximación más simple a los MO es tomarlos como combinaciones lineales de AO del átomo de helio

$$\sigma_g 1s = 1s_a + 1s_b \quad \sigma_u^* 1s = 1s_a - 1s_b \quad (4)$$

y en esta aproximación (3) se obtiene

$$\Psi_{MO} = | (1s_a + 1s_b) \ \overline{(1s_a + 1s_b)} \ (1s_a - 1s_b) \ \overline{(1s_a - 1s_b)} | \quad (5)$$

Sumadamos la columna 1 a la 3 y la 2 a la 4 y entonces

$$\Psi_{MO} = 4 | (1s_a + 1s_b) \ \overline{(1s_a + 1s_b)} \ 1s_a \ \overline{1s_a} | \quad (6)$$

Restemos ahora 3 de 1 y 4 de 2 y obtenemos

$$\Psi_{MO} = 4 | 1s_b \ \overline{1s_b} \ 1s_a \ \overline{1s_a} | \quad (7)$$

$$\Rightarrow \Psi_{MO} = 4 | 1s_a \ \overline{1s_a} \ 1s_b \ \overline{1s_b} |$$

y por tanto una vez normalizadas  $\Psi_{MO} = \Psi_{VB}$ . Esto es fácilmente generalizable a la afirmación que el método VB sencilla y el LCAO-MO servido dan las mismas funciones de onda aproximadas en moléculas diatómicas formadas a partir de

átomos separados con subcapas completamente llenas.

Consideremos el  $\text{Li}_2$ . La configuración del estado fundamental del  $\text{Li}$  es  $(1s)^2 (2s)$ . La parte de la función de onda VB implicando los electrones  $1s$  sera como la del  $\text{He}_2$ , mientras que la parte de los electrones  $2s$  sera del tipo Hartree-Fock. Entendemos, a causa de la indistinguibilidad de los electrones debemos permitir que cualquier electron este en cualquier orbital y por tanto la función de onda VB para el estado fundamental del  $\text{Li}_2$  es

$$\Psi_{VB} = |1s_a \bar{1s}_a 1s_b \bar{1s}_b 2s_a \bar{2s}_b\rangle - |1s_a \bar{1s}_a 1s_b \bar{1s}_b 2s_a 2s_b\rangle \quad (1)$$

Se puede probar fácilmente que esta combinación de determinantes de Slater 6x6 tiene spin cero, como debe ser. Para simplificar se puede escribir la anterior como

$$\Psi_{VB} = |1s_a \bar{1s}_a 1s_b \bar{1s}_b \overbrace{2s_a 2s_b}\rangle \quad (2)$$

donde  $\overbrace{\dots}$  indica el apareamiento (enlazante) de los dos  $AO$   $2s_a$  y  $2s_b$ .

La función de onda MO es

$$\Psi_{MO} = |1g\downarrow 1s\downarrow \bar{1s}\downarrow 2u\downarrow \bar{2s}\downarrow 2g\downarrow 2s\downarrow \bar{2s}\downarrow\rangle \quad (3)$$

Si aproximamos los dos MO más bajos mediante  $1s_a + 1s_b$  obtenemos

$$\Psi_{MO} = |1s_a \bar{1s}_a 1s_b \bar{1s}_b \bar{Og}\downarrow 2s\downarrow \bar{Og}\downarrow 2s\downarrow\rangle \quad (4)$$

que es más fácil de manejar que (1) pues es un solo determinante 6x6 en lugar de dos. Si se pretende estudiar  $\text{N}_2$  teniendo en cuenta que la configuración en el estado fundamental del  $\text{N}$  es  $(1s)^2 (2s)^2 (2p)^3$ , entonces para construir  $\Psi_{VB}$  se deben combinar  $2^3 = 8$  determinantes de Slater de orden  $15 \times 15$ , mientras que la  $\Psi_{MO}$  es un solo determinante de este orden.

Supongamos que deseamos tratar  $\text{K}_2$  que tiene 38 electrones. En el método MO empezaríamos considerando un determinante  $38 \times 38$  de moléculas orbitales. Entonces aproximaremos los MO por funciones que contienen parámetros variacionales y procederíamos a minimizar la integral de la energía. Esto es claramente muy complicado. Una forma de simplificar el problema es dividir los electrones en dos grupos. Recordar que el estado fundamental del  $\text{K}$  es  $(1s)^2 (2s)^2 (2p)^6 (3s)^2 (3p)^6 (4s)^1$ . El primer grupo esta formado por los 36 electrones del "coro" y el segundo por los dos electrones  $4s$  que dan origen al enlace. Entonces intentamos tratar los dos grupos separadamente, tomando la energía molecular como la suma de los del "coro" y de los de valencia. Esta aproximación se llama

aproximación "valence-electron".

El método más simple es considerar los electrones del "cono" como cargas puntuales que coinciden con el núcleo. Para el  $K_2$  daría origen a un Hamiltoniano para los dos electrones de valencia que es idéntico al Hamiltoniano electrónico para el  $H_2$ . Si proseguimos y minimizamos la integral variacional para los electrones de valencia en  $K_2$ , sin restricciones sobre las funciones de onda de prueba de los electrones de valencia, tendremos problemas; este método hará que los M.O. de los electrones de valencia se colapsen al M.O.  $\sigma_{g^1}$ , ya que nos hemos olvidado de los electrones del cono. Para evitar este colapso se puede imponer la ligadura que las funciones variacionales que se usan para los electrones de valencia sean ortogonales a las de los electrones del cono, lo cual significa más trabajo. Un método distinto es omitir la aproximación de suponer que los electrones del cono coinciden con el núcleo puntual, y tratarlos como una divisiónd de carga que produce un potencial efectivo repulsivo sobre los electrones de valencia. Esto conduce a un Hamiltoniano efectivo para los electrones de valencia, que es a continuación usado en la integral variacional. Esta es la llamada "valence-electron approximation" que se usa muy frecuentemente en el tratamiento de moléculas poliatómicas.

#### v) El método de Hartree-Fock para moléculas

Un desarrollo importante en química cuántica ha sido el cálculo de funciones de onda autoconsistentes para muchas moléculas diatómicas y poliatómicas. El método es una generalización del Hartree-Fock para átomos y, por simplicidad, nos limitaremos al caso de configuraciones con capas cerradas. La función de onda de Hartree-Fock molecular es una producto antisimétrico (determinante de Slater) de orbitales de spin, donde cada uno de ellos es el producto de un orbital espacial  $\phi_i$  y una función de spin (bien sea  $\alpha$  o  $\beta$ ).

La expresión de la energía molecular en la aproximación de Hartree-Fock es

$$E_{HF} = \langle CD | H_{el} + V_{NN} | CD \rangle \quad (1)$$

dond $\langle CD |$  es el determinante de Slater ( $\langle CD | CD \rangle = 1$ )

$$H_{el} = \sum_i f_C + \sum_{i < j} g_{ij} \quad (2)$$

$$f_C = -\frac{\hbar^2}{2m} \nabla_C^2 - \sum_\alpha \frac{Z_\alpha e^2}{r_{C\alpha}} \quad , \quad g_{ij} = \frac{e^2}{r_{ij}}$$

$$W_{NN} = \sum_{\alpha \in \beta} \frac{Z_\alpha Z_\beta e^2}{r_{\alpha\beta}}$$

(1)

Como  $V_{NN}$  no contiene las coordenadas electrónicas  $\langle D | V_{NN} | D \rangle = V_{NN} \langle D | D \rangle = V_{NN}$  y por los procedimientos normales obtenemos

$$E_{HF} = 2 \sum_{i=1}^{m/2} h_i + \sum_{i=1}^{m/2} \sum_{j=1}^{m/2} (2J_{ij} - K_{ij}) + V_{NN}$$

$$h_i = \langle \varphi_i(1) | -\frac{\hbar^2}{2m} \nabla_1^2 - \sum_{\alpha} \frac{Z_{\alpha} e^2}{r_{i\alpha}} | \varphi_i(1) \rangle$$

(2)

$$J_{ij} = \langle \varphi_i(1) | \varphi_j(2) | \frac{e^2}{r_{12}} | \varphi_i(1) | \varphi_j(2) \rangle$$

$$K_{ij} = \langle \varphi_i(1) | \varphi_j(2) | \frac{e^2}{r_{12}} | \varphi_j(1) | \varphi_i(2) \rangle$$

donde las sumas son sobre los  $m/2$  orbitales espaciales ocupados  $\varphi_i$  de los  $m$  electrones de la molécula. El método de Hartree-Fock busca los  $\varphi_i$  que minimizan  $E_{HF}$ . Se toman los  $\langle \varphi_i | \varphi_i \rangle = 1 \quad \forall i$  y por conveniencia  $\langle \varphi_i | \varphi_j \rangle = 0 \quad \forall i \neq j$ . Usando el método variacional se encuentra

$$F(1) \varphi_i(1) = \epsilon_i \varphi_i(1)$$

(3)

donde  $\epsilon_i$  es la energía orbital y  $F(1)$  es el operador de Hartree-Fock

$$F(1) = -\frac{\hbar^2}{2m} \vec{\nabla}_1^2 - \sum_{\alpha} \frac{Z_{\alpha} e^2}{r_{1\alpha}} + \sum_{j=1}^{m/2} \{ 2J_j(1) - K_j(1) \}$$

$$J_j(1) \varphi_i(1) = \varphi_i(1) \int d\nu_2 \frac{e^2}{r_{12}} |\varphi_j(2)|^2 \quad (\text{Operador de Coulomb})$$

$$K_j(1) \varphi_i(1) = \varphi_j(1) \int d\nu_2 \frac{e^2}{r_{12}} \varphi_j^*(2) \varphi_i(2) \quad (\text{Operador de intercambio})$$

La ortogonalidad de los M.O.  $\varphi_i$  simplifica mucho los cálculos. Para resolver (3) se debe usar un método iterativo. Para calcular los  $\epsilon_i$  se debe usar

$$\epsilon_i = \int d\nu_2 \varphi_i^*(1) F(1) \varphi_i(1) =$$

$$= \langle \varphi_i(1) | -\frac{\hbar^2}{2m} \vec{\nabla}_1^2 - \sum_{\alpha} \frac{Z_{\alpha} e^2}{r_{1\alpha}} | \varphi_i(1) \rangle + \\ + \sum_{j=1}^{m/2} \{ 2 \langle \varphi_i(1) | J_j(1) | \varphi_i(1) \rangle - \langle \varphi_i(1) | K_j(1) | \varphi_i(1) \rangle \} \Rightarrow$$

$$\epsilon_i = h_i + \sum_{j=1}^{m/2} (2J_{ij} - K_{ij})$$

(5)

de donde

$$2 \sum_{i=1}^{m/2} g_i = 2 \sum_{i=1}^{m/2} h_i + 2 \sum_{i=1}^{m/2} \sum_{j=1}^{m/2} (2J_{ij} - K_{ij}) \quad (1)$$

Despejando de aquí  $2 \sum h_i$  y sustituyendo en (V-12.2) se obtiene

$$E_{HF} = 2 \sum_{i=1}^{m/2} \epsilon_i - \sum_{i=1}^{m/2} \sum_{j=1}^{m/2} (2J_{ij} - K_{ij}) + V_{NN} \quad (2)$$

donde el primer término es la suma de las energías orbitales.

Un paso clave que ha hecho posible los cálculos es la propuesta de Roothaan (1951) de desarrollar los orbitales espaciales como combinación lineal de un conjunto completo de funciones base  $\chi_R$ :

$$\psi_i = \sum_R C_{Ri} \chi_R \quad (3)$$

Sustituyendo esto en (V-12.3) se obtiene

$$\sum_k C_{Rk} F(k) \chi_R(k) = \epsilon_i \sum_k C_{Ri} \chi_R(k) \quad (4)$$

y de aquí proyectando sobre  $\chi_j^*(l)$  se obtiene

$$\sum_k (F_{jk} - \epsilon_i S_{jk}) C_{Ri} = 0 \quad j = 1, 2, 3, \dots \quad (5)$$

$$F_{jk} = \langle \chi_j | F | \chi_k \rangle \quad S_{jk} = \langle \chi_j | \chi_k \rangle$$

Las ecuaciones (5) son un conjunto de ecuaciones lineales homogéneas en las incógnitas  $C_{Ri}$  y para que tengan solución se debe cumplir que

$$\det (F_{jk} - \epsilon_i S_{jk}) = 0 \quad (6)$$

Los raíces de esta ecuación secular determinan las  $\epsilon_i$ . Las ecuaciones de Hartree-Fock-Roothaan (5) deben resolverse por un procedimiento iterativo ya que las  $F_{jk}$  dependen de las  $\psi_i$  que a su vez dependen de los  $C_{Rj}$ . Se empieza con un adivinamiento dando los  $\psi_i$  en términos de la base elegida, se dan suponiendo unos determinados  $C_{Rj}$ . Entonces se calcula el operador  $F$  mediante (V-12.4) y a continuación se determinan los  $F_{jk}$  y  $S_{jk}$  lo cual permite plantear la ecuación secular (5) y pueden o no resolverse obteniéndose unos  $C_{Rj}$  nuevos y se vuelve a repetir el procedimiento hasta que los  $C_{Rj}$  de output coinciden con los de input.

¿Cuáles son los  $\chi_R$  que debem usarse? Generalmente cada MO se escribe como una combinación lineal de funciones de onda de un electrón (orbitales).

centrados en cada átomo. Para moléculas diatómicas las funciones que se usan normalmente como orbitales atómicos son las funciones de Slater (STO = Slater type orbitals).

$$\left[ \frac{2\pi}{(2m)!} \right]^{m+1/2} r^{m-1} e^{-Ex/a_0} Y_e^m (\theta, \phi) \quad (1)$$

(donde  $E$  es el hamón orbital y en principio con un pequeño número de estos, cuidadosamente elegidos, se obtienen buenos resultados).

Calculos de este tipo, para varias moléculas diatómicas ligeras, han sido llevados a cabo por

B. J. RANSIL Rev. Mod. Phys. 32, 245 (1960)

Para más detalles

R. S. MULLIKEN y H. C. ERHLER "Diatomuc Molecules" Academic Press N.Y. 1972

" " " Polyatomic Molecules " " " " 1981

Estos cálculos autoconsistentes se pueden dividir en dos amplias categorías:

- i) Conjunto mínimo de bases. Se usa como base los orbitales atómicos de las capas internas y de la capa de valencia.
- ii) Conjunto amplio de bases. Además de las anteriores usa A.O. correspondientes a estados excitados.

Consideremos por ejemplo el SCF MO correspondiente al  $\text{Li}_2$  [recordar que la configuración de M.O. es  $(1\sigma_g)^2 (1\sigma_u)^2 (2\sigma_g)^2$ ]. Usando la base mínima y a la distancia de equilibrio se obtiene

$$\begin{aligned} 1\sigma_g &= 0.706 (1s_a + 1s_b) + 0.009 (2s_{1a} + 2s_{1b}) + 0.0003 (2p_{0a} + 2p_{0b}) \\ 1\sigma_u &= 0.709 (1s_a - 1s_b) + 0.021 (2s_{1a} - 2s_{1b}) + 0.003 (2p_{0a} - 2p_{0b}) \\ 2\sigma_g &= -0.059 (1s_a + 1s_b) + 0.523 (2s_{1a} + 2s_{1b}) + 0.816 (2p_{0a} + 2p_{0b}) \end{aligned} \quad (2)$$

Las funciones A.O. de estas ecuaciones son del tipo (1), excepto  $2s_1$ . Un AO de tipo Slater correspondiente al  $2s$  no tiene nodos radiales y por tanto no es ortogonal a la  $1s$  STO. El AO  $2s$  de Hartree-Fock tiene un modo ( $m-l-1=1$ ) y es ortogonal al AO  $1s$ . Podemos formar un orbital  $2s$  ortogonalizado con el número apropiado de nodos tomando una combinación lineal de los STO  $1s$  y  $2s$  (método de ortogonalización de Schmidt)

$$2s_1 = (1-s^2)^{-1/2} (2s - s \cdot 1s) \quad (3)$$

donde  $s = \langle 1s|2s \rangle$ . La notación  $2p\sigma$  para un AO indica que el orbital p semialta tiene

el eje molecular i.e.  $2p\sigma$  es  $2p_z$  (los  $2p_x$  y  $2p_y$  se denominan  $2p\pi$ ). Los exponentes óptimos en (V-13.2) son

$$S_{1s} = 2.689, \quad F_{2s} = 0.634, \quad S_{2p\sigma} = 0.761 \quad (1)$$

Nuestras expresiones primas para los MO encajan (LCAO functions)

$$1\sigma_g = \sigma_g 1s = \frac{1}{12} (1s_a + 1s_b)$$

$$1\sigma_u = \sigma_u^* 1s = \frac{1}{12} (1s_a - 1s_b) \quad (2)$$

$$2\sigma_g = \sigma_g 2s = \frac{1}{12} (2s_a + 2s_b)$$

La comparación de estas con (V-13.2) muestran que los LCAO son aproximaciones razonables principalmente para los  $1\sigma_g$  y  $1\sigma_u$ . En el  $2\sigma_g$  encontramos una contribución substantial de  $2p\sigma$  además de la  $2s$ ; esta es la razón por la que es preferible la notación de la benzene columna a la tabla de la pag IV-26. Esta considerable hibridación  $2s-2p\sigma$  debía esperarse porque los  $2s$  y  $2p$  tienen la misma energía.

En la discusión del  $H_2^+$  y  $H_2$  vimos como la hibridación (la mezcla de distintos AO del mismo átomo) mejora las funciones de onda moleculares. Hay una cierta tendencia a creer que la hibridación ocurre sólo para ciertas geometrías moleculares. Los cálculos SFC hacen patente que todos los MO están hibridados hasta un cierto punto. Entonces cualquier MO de tipo  $\sigma$  para una molécula diatómica es una combinación lineal de los AO de los átomos separados  $1s, 2s, 2p_u, 3s, 3p_u, 3d_o, \dots$

Por supuesto que las funciones de onda de Hartree-Fock son solo aproximaciones a los rendimientos. Se puede probar que en los casos normales las funciones de onda de Hartree-Fock dan una aproximación muy buena a la densidad de probabilidad de un electrón  $p(\vec{r})$ . Una propiedad molecular que contiene solo operadores mono-electrónicos puede expresarse como una integral en términos de  $p$  y por tanto estos propiedades se pueden calcular de una muy buena aproximación usando las funciones de H.F. Esto es cierto, por ejemplo, para los momentos dipolares que se pueden calcular con errores típicos de  $0.2 D$  ( $1 \text{ abye} = 10^{-18} \text{ statcoul cm}$ ). Los cálculos de H.F. moleculares no dan buenos valores para las energías de disociación. Por ejemplo, cálculos usando una base extendida para el  $N_2$  dan  $D_e = 5.3 \text{ eV}$  y el valor experimental es  $9.9 \text{ eV}$ . Un defecto de estos funciones de H.F. es que la energía no hace un límite falso para  $R \rightarrow 0$  (recordar la discusión de los MO para el  $H_2$ )

### v) Funciones de onda con interacción de configuraciones (CI wave function)

Para corregir los defectos del método de H.F. (límites incorrectos a  $R \rightarrow \infty$ , valores incorrectos de  $D_0$ ) es necesario introducir la interacción de configuraciones. El método más usual de hacer un cálculo C.I. en un átomo o en una molécula es usar un procedimiento variacional.

Veamos el caso de un átomo. Se empieza eligiendo un conjunto de funciones de onda de un electrón  $\chi_i$ . En principio esta base debería ser completa, pero en la práctica se usa una base finita y se espera que una buena elección de este base finita dará una buena aproximación a la base completa. Los orbitales atómicos  $\psi_i$  se escriben como combinación de la base elegida y se resuelven las ecuaciones de Hartree-Fock para obtener los coeficientes de estas combinaciones lineales. El número de orbitales atómicos llenados es igual al número de electrones de la base de partida. Los orbitales de menor energía son los orbitales que están ocupados en el estado fundamental. Los restantes orbitales desocupados se llaman orbitales virtuales.

Usando el conjunto de orbitales ocupados y virtuales se pueden formar funciones de onda multieléctronicas que tienen distintas ocupaciones de los orbitales. Por ejemplo para el He ~~se~~ pueden formar funciones que correspondan a configuraciones electrónicas  $1s^2$ ,  $1s2s$ ,  $1s2p$ ,  $2s^2$ ,  $2s2p$ ,  $2p^1$ , ... Mas aún, a una determinada configuración electrónica le puede corresponder más de una función de onda (por la  $1s2s$  puede tener cuatro según el spin). Cada una de las funciones multieléctronicas  $\Phi_i$  es un determinante de Slater o una combinación lineal de unos polos de ellos. Cada una de las  $\Phi_i$  se llama función de configuración o simplemente configuración.

Como es bien sabido de teoría de perturbaciones la función de onda verdadera  $\Psi$  contiene contribuciones distintas de las que da la contribución principal a  $\Psi$  y se escribe

$$\Psi = \sum C_i \Phi_i \quad (1)$$

Se considera  $\Psi$  como una función de ondas variacional y la revisión de los coeficientes conduce a

$$\det (H_{ij} - E S_{ij}) = 0$$

Notar que si  $\{\chi_i\}$  es completo y se tienen en cuenta todas las configuraciones  $\Phi_i$  posibles, entonces  $\Psi$  es la verdadera función de ondas. En realidad esto es imposible de llevar a cabo y se debe elegir cuidadosamente el conjunto  $\{\chi_i\}$  no completo

que se use y las configuraciones  $\Phi_i$  más importantes.

En cálculos de moléculas diatómicas las funciones base son usualmente AO de tipo Slater, unas centradas en un átomo y las restantes en el otro. El número de MO producidos es igual al número de funciones base usadas. El tipo de MO que se obtiene depende de las funciones base usadas. Por ejemplo, si en el conjunto base se incluyen solo AO de tipo S, obtendremos solo MO de tipo S y nunca de tipo P, D, ... . Las funciones de configuración en un cálculo CI se clasifican como monoexcitados, dobleexcitados, tripleexcitados, etc. según que 1, 2, 3... electrones sean excitados de un estado ocupado a uno desocupado (virtual).

En el desarrollo  $\Psi = \sum C_i \Phi_i$  solo se incluyen aquellas  $\Phi_i$  que tienen la misma simetría que la  $\Psi$  deseada. El número de  $\Phi_i$  con una determinada simetría aumenta rápidamente con el número de electrones ( $m$ ), el número de funciones de la base ( $b$ ) y es del orden de  $b^m$ . Si se incluyen todas las configuraciones posibles para una base dada se dice que se hace un cálculo completo CI, pero esto es casi imposible de realizar salvo para valores muy pequeños de  $b$  y  $m$ .

En vista de esto es necesario decidir qué  $\Phi_i$  sumar las que dan mayor contribución. Esperamos que la función de configuración no excitada (función de órbitas SCF) de la mayor contribución. ¿Qué tipo de configuraciones excitadas serán las más importantes? Para dar una respuesta consideremos los efectos de la corrección instantánea de los electrones como una perturbación a la función de orden de H.F.,  $\Psi^{(0)}$ . Resultó que la corrección de primer orden de la función de órbitas no perturbada (H.F.) contiene solo aquellas  $\Phi_i$  para las que  $\langle \Phi_i | H | \Psi^{(0)} \rangle \neq 0$ , donde  $H$  es el Hamiltoniano molecular electrónico. El Hamiltoniano  $H$  es la suma de operadores de uno y dos electrones y por tanto  $\langle \Phi_i | H | \Psi^{(0)} \rangle = 0$  si  $\Phi_i$  difiere de  $\Psi^{(0)}$  en los números de ocupación de 3 o más orbitales. Mas aún si  $\Psi^{(0)}$  es una SCF de cajas cerradas existe un teorema que afirma que  $\langle \Phi_i | H | \Psi^{(0)} \rangle = 0$  si  $\Phi_i$  tiene una sola configuración excitada (teorema de Brillouin) y por tanto en este caso solo aquellas  $\Phi_i$  correspondiente a dobleexcitados se espera que sean importantes. Además se acostumbra a suponer que los electrones correspondientes a cajas interiores no se excitán. Cálculos de estos tipos producen resultados muy buenos.